



CUMHURİYET ÜNİVERSİTESİ  
MÜHENDİSLİK FAKÜLTESİ DERGİSİ

CUMHURIYET UNIVERSITY

Bulletin of the Faculty of Engineering

Seri- A

**Yerbilimleri**  
**Earth Sciences**



CILT 17, SAYI 1, 2000  
Volume 17, Number 1, 2000

ISSN 1016 7625

CUMHURİYET ÜNİVERSİTESİ  
MÜHENDİSLİK FAKÜLTESİ DERGİSİ  
SERİ A -  
YERBİLİMLERİ

Cumhuriyet University  
Bulletin of the Faculty of Engineering  
Serie A -  
Earth Sciences

İÇİNDEKİLER (CONTENTS)

<b>Sivas havzası jipslerinin Schmidt sertliği ile serbest basınç dayanımı ve elastisite modülü arasındaki ilişkiler</b> The relationships between Schmidt hardness with unconfined compressive strength and elasticity modulus of Sivas basin gypsums	İşık YILMAZ, Hüseyin SENDİR 1
<b>Sürekli doygun koşulun konsolidasyon ve makaslama dayanımı üzerindeki etkisine bir örnek : Gemlik Körfezi killi deniz zeminleri</b> An example for saturated condition effect on the consolidation and shear strength of Clayey marine soils from Gemlik Gulf	İşık YILMAZ, Mehmet ÜSTÜNKAYA 7
<b>Bursa-Eskişehir ve Fethiye-Köyceğiz bölgeleri krom yatakları ve yan kayaçlarının platin-grubu element (PGE) dağılımları</b> Platinum-group element (PGE) distribution in chromite ores and its host rocks from Bursa Eskişehir and Fethiye-Köyceğiz districts	Ali UÇURUM, Paul J. LECHLER, Taner EKİCİ 15
<b>Source rock evalution of Tertiary sediments in the Sivas basin, Central Anatolia</b> Sivas basenindeki Tersiyer sedimanlarının köken kaya değerlendirilmesi, Orta Anadolu	Orhan ÖZCELİK 31
<b>Musullu (Tokat) baraj yerindeki kayaçların kütle özellikleri</b> Rock mass properties of the rocks at the Musullu (Tokat) dam	Ergun KARACAN, Ahmet Turan ARSLAN 45
<b>Sivas havzası merkezi kesiminde Oligo-Miyosen yaşlı paleo-ortamlar-kil mineralojisi ilişkisi</b> Relationship of clay mineralogy to Oligo-Miocene paleo-environments in the central part of the Sivas basin, Turkey	Hüseyin YALÇIN, Öme BOZKAYA, André POISSON 53
<b>Körlü Köyü (Tarsus-İçel) demir cevherlerinin jeolojik, mineralojik ve jeokimyasal özellikleri</b> Geological, mineralogical and geochemical characteristics of the Kırılın village (Tarsus-İçel) iron ores	Şuaip KUPELİ, Israfil KAYABALI 63

CİLT: 17 SAYI: 1 ARALIK 2000  
VOL: 17 NO:1 DECEMBER 2000

## SİVAS HAVZASI JİPSLERİNİN SCHMIDT SERTLİĞİ İLE SERBEST BASINÇ DAYANIMI VE ELASTİSİTE MODÜLÜ ARASINDAKİ İLİŞKİLER

THE RELATIONSHIPS BETWEEN SCHMIDT HARDNESS WITH UNCONFINED COMPRESSIVE STRENGTH AND ELASTICITY MODULUS OF SİVAS BASIN GYPSUMS

**İşik YILMAZ  
Hüseyin SENDİR**

**Cumhuriyet Üniversitesi, Jeoloji Mühendisliği Bölümü, 58140 Sivas  
Cumhuriyet Üniversitesi, Jeoloji Mühendisliği Bölümü, 58140 Sivas**

**ÖZ:** Bu çalışma kapsamında, Sivas havzası jipslerinin, kayaçların dayanım ve deformabilité özelliklerine ilişkin bilgilerin elde edildiği indeks testlerden birisi olan Schmidt dayanımı ile serbest basınç dayanımı ve elastisite modülü arasındaki ilişkiler araştırılmıştır. Çalışmadan elde edilen sonuçlara göre; Sivas havzasındaki jipslerin Schmidt sertliği ile serbest basınç dayanımı ve elastisite modülü arasında istatistiksel olarak anlamlı ve yüksek korelasyonlu ilişkiler elde edilmiştir. Bu ilişkiler  $\sigma_u = e^{(0.818+0.059R)}$  ve  $E = e^{(1.146+0.054R)}$  şeklindeki empirik ifadelerle ortaya konulmuştur.

**Anahtar Kelimeler:** Elastisite modülü, jips, Schmidt sertliği, serbest basınç dayanımı, Sivas havzası.

**ABSTRACT:** Relationships between Schmidt strength, allows to approach to the unconfined compressive strength and deformability characteristics of the rocks, with unconfined compressive strength and Young modulus were investigated in this study. Results of the regression analyses showed very good correlations between  $R$  with  $\sigma_u$  and  $E$ , and relationship derived as expressed by empirical equations of  $\sigma_u = e^{(0.818+0.059R)}$  and  $E = e^{(1.146+0.054R)}$ .

**Key-words:** Elasticity modulus, gypsum, Schmidt hardness, Sivas basin, unconfined compressive strength

### GİRİŞ

Bu çalışmada, Sivas havzası jipslerinin ait Schmidt sertliği ile serbest basınç dayanımı ve elastisite modülü arasındaki ilişkiler araştırılmıştır. Schmidt çekici, esasen beton sertliğinin belirlenmesi amacıyla üretilmiş olmasına karşın, çok pratik olması nedeni ile kayaçların dayanımlarının ve deformabilité özelliklerinin tahmin edilmesinde de kullanılabilmektedir. Bu yöntem, kayaçların dayanım ve deformabilité özelliklerine ilişkin bilgilerin elde edildiği diğer bir çok indeks testlerden birisidir. Ancak indeks testlere özgü sınırlamalar bu yöntem için de geçerli olmaktadır. Bu sınırlamaların nedenleri Grasso ve diğ. (1992) tarafından da belirtildiği gibi; a. İndeks testlerden elde edilen verilerin normal dağılım gösterdiklerinin kabul edilmesi, b. Kayaçların doku gibi içsel özelliklerinin ihmali edilmesi, c. İstatistiksel değerlendirmeler için gerekli veri sayısına ulaşılamaması, d. Ömek

boyutlarının ihmali edilmesi, ve e. Farklı litolojik birimlerin verilerinin bir arada değerlendirilmesidir. Kayacın elastik ve dayanım özelliklerine bağlı olan bu indeks, Haramy ve DeMarco (1985)' in de açıkladığı gibi aşağıdaki faktörlerden oldukça fazla etkilenmektedir.

a. Yüzeyin pürüzlülüüğü, b. Yüzeyin nem içeriği, c. Klivajlar, tabakalanma düzlemleri, gözenekler ve diğer anomaliler, d. Deney yapılan yüzeyin boyutu, e. Deney yapılan yüzeyin hava etkisiyle değişme derecesi ve süresi, f. Kayaç kütlesi çevre basıncı, g. Kayacın sertliği ve h. Schmidt çekicisinin uygulanma şekli (yatay, düşey ve açılı).

İndeks test sonuçları esas alınarak ve empirik ilişkiler yardımcı ile tahmin edilen mekanik parametreler her zaman sağlıklı olmayıabilir ve doğrudan tasarım amacı ile kullanılması durumunda, duraylılığın göstergesi olan güvenlik katsayısında gereksiz artışlara neden olabilir

(Grasso ve diğ., 1992). Ancak sözü edilen bu sınırlamalara rağmen, indeks testlerin sonuçları mühendislik deneyimine dayalı yorumlarla birleştirildiği zaman, tasarım ve fizibilite konulu çalışmalar için ucuz ve pratik bir şekilde ön veriler sağlayabilir (Poole ve Farmer, 1980; Shorey ve diğ., 1984; Schapazis, 1990; Xu ve diğ., 1990; Grasso ve diğ., 1992) (Gökçeoğlu, 1996).

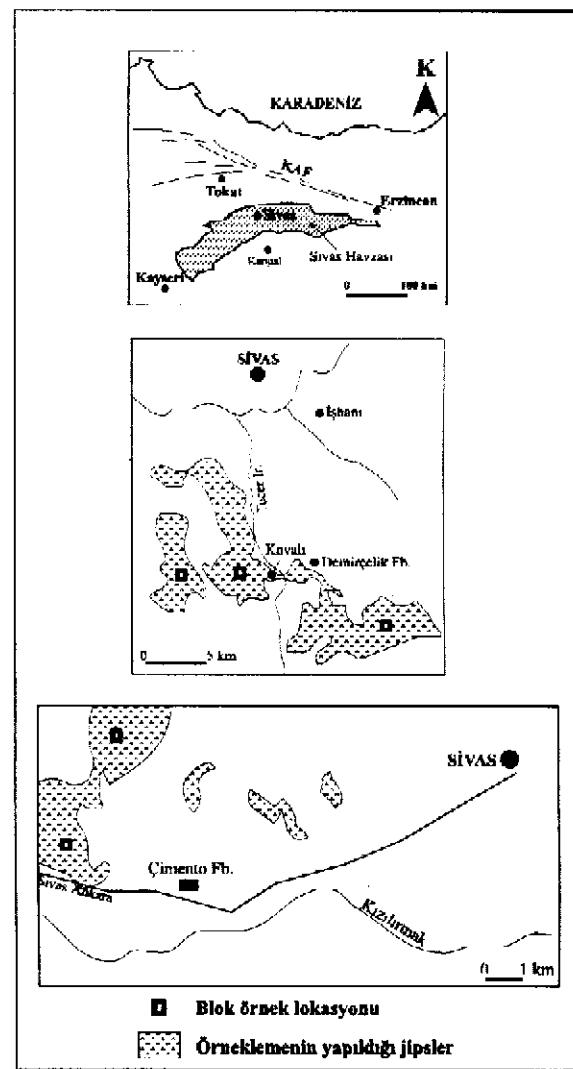
Schmidt çekicinin kullanılabilirliğini araştırmaya yönelik olarak bugüne kadar, farklı kayaçlar üzerinde çalışmalar yapılmış ve birçok farklı sonuçlar bulunmuştur. Literatür araştırmalarında, birçok kayaç türü için benzer çalışmaların bulunduğu, ancak jipslerde güncel bir çalışmaya rastlanmamıştır. Deformasyon özelliklerini bakımından diğer kayaçlardan oldukça farklı olan ve Türkiye'de özellikle Sivas havzasında olmak üzere oldukça yaygın yayılım gösteren bu kayaçlar için de böyle bir çalışmanın gerektiği düşünülmüştür. Çünkü, ucuz ve pratikliğinin yanı sıra arazide de kolayca kullanılabilir olması nedeni ile, ön bilgi edinilmesi bakımından statik deformabilite ve tek eksenli basınç deneylerine göre oldukça büyük avantajları vardır. Eğer Schmidt çekicinin bu tür kayaçlarda kullanılabilirliği kanıtlanabilirse, arazi çalışmalarında oldukça büyük kolaylıklar sağlanacaktır. Literatürdeki Schmidt sertliği ile tek eksenli basınç dayanımı ve elastik modüller arasındaki bazı ilişkiler Çizelge 1'de verilmiştir.

#### ÇALIŞILAN KAYA BİRİMİ VE NUMUNELERİN HAZIRLANMASI

Üzerinde çalışılmış olan örnekler, Sivas havzasında Kurtman (1973) tarafından Hafik formasyonu olarak adlandırılmış olan masif jipslerden alınmıştır (Şekil 1).

Havza içerisinde yer alan Hafik formasyonu, batıda Gemerek' ten doğuda İmranlı' ya kadar havzanın kuzey kenarı boyunca uzanan kalın, masif jipsleri içermektedir. Kurtman (1973)' a göre bu formasyon, tabandan tavana doğru; kırmızı renkli kumtaşı ve konglomeralar, kırmızı renkli kil aratabakalı, tabakalı jipsler ve masif jipslerden meydana gelmektedir. Jipsin daha altındaki tektonik dokanak nedeni ile diğer birimlerle geçiş izlenemediğinden dolayı Hafik formasyonu masif jipslerle sınırlandırılmıştır. Tektonik etkinin fazla olmadığı yerlerde, masif jipsler ince ve kalınlıkları 10 m ye ulaşan, içerisinde ince taneli kum ve kırmızı kil içeren düzenli tabakalanma göstermektedir. Buna karşın bir çok yerde kalınlığı 100-200 m ye varan masif yapılı jipsler gözlenmektedir. (Öztürk ve diğ., 1996).

Amaca yönelik olarak çalışmaları gerçekleştirmek üzere, Sivas'ın batı ve güneyinden olmak üzere iki farklı bölgeden (Şekil 1) örnekleme yapılmıştır. İlk olarak özellikle belli taş ocaklarında yeni çıkarılmış, temiz ve mümkün olduğunda çatlaksız olanlarından yaklaşık  $0.5 \text{ m}^3$  blok jipsler alınmıştır. Daha sonra blok kesme makinasında yaklaşık  $25 \times 25 \times 25 \text{ cm}$  boyutlarında küp bloklar hazırlanmıştır.



Şekil 1. Çalışma alanının yerbulduru, jeoloji ve dokümantasyon haritası (Gürsoy ve diğ. 1992 ile Poisson ve diğ. 1992' den değiştirilerek).  
Figure 1. Location, geological and documentation map of the study area (Modified from Gürsoy et al. 1992 and Poisson et al. 1992).

Tek eksenli basınç ve statik deformabilite özelliklerini belirleyebilmek için, bloklar üzerinde Schmidt çekici deneyleri yapıldıktan sonra, çalışılacak kayacın önemli ölçüde anizotropi gösterebileceği de dikkate al-

**Çizelge 1.** Schmidt sertliği ile tek eksenli basınç dayanımı ( $\sigma_u$ ) ve elastisite modülü arasındaki korelasyonlar (Gökçeoğlu, 1996' dan değiştirilerek).

**Table 1.** Correlations between Schmidt hardness with unconfined compressive strength and Young modulus (Modified from Gökçeoğlu, 1996).

Araştırmacı	Eşitlik	r	Kayaç Türü
Deere ve Miller (1966)	$\sigma_u = 10^{(0.00014R+3.16)}$ $E = 6.95\gamma^2 R - 1.14 \cdot 10^6$	0.94 0.88	28 litolojik birim, 3 ana kayaç tipi
Aufmuth (1973)	$\sigma_u = 6.9 \cdot 10^{[1.348 \log(R) + 3.16]}$ $E = 6.9 \cdot 10^{[1.031 \log(\gamma R) + 1.88]}$		25 litolojik birim
Beverly ve diğ. (1979)	$\sigma_u = 12.74 \exp(0.185\gamma R)$ $E = 192(R\gamma^2)12710$		20 litolojik birim
Kidybinsky (1980)	$\sigma_u = 0.447 \exp[0.045(R+3.5)+\gamma]$		Çeşitli kayaçlar ve kömür
Singh ve diğ. (1983)	$\sigma_u = 2R$	0.72	30 sedimanter birim
Shorey ve diğ. (1984)	$\sigma_u = 0.4R - 3.6$	0.94	20 litolojik birim
Haramy ve DeMarco (1985)	$\sigma_u = 0.994R - 0.383$	0.7	10 litolojik birim
Ghose ve Chakraborti (1986)	$\sigma_u = 0.88R - 12.11$	0.87	Kömürler
O'Rourke (1989)	$\sigma_u = 702R - 1104(\text{psi})$	0.77	Kumtaşı, silittaşı, kiroçtaşı ve anhidrit
Sachpazis (1990)	$R = 0.239\sigma_u + 15.7244$ $R = 0.515E + 17.488$	0.96 0.88	33 farklı karbonat kayacı
Xu ve diğ. (1990)	$\sigma_u = \exp(aR+b)$ $E = \exp(cR+d)$ a,b,c, d kaya türüne bağlı sabitler	0.88 -	Mika-şist, prasinit, serpentinit, gabro, çamurtaşı
Gökçeoğlu (1996)	$\sigma_u = 0.0001R^{3.2658}$	0.84	Marn
Kahraman (1996)	$\sigma_u = 4.5 \cdot 10^{-4}(Rn^*\gamma)^{2.46}$	0.93	10 litolojik birim

$\sigma_u$ = tek eksenli basınç dayanımı, E= elastisite modülü, R= Schmidt sertliği,  $\gamma$ = birim hacim ağırlık, r= korelasyon katsayısı.

narak çekici vuruş yönüne paralel yönde NX-karotlar alınmıştır. Alınan karot numuneler yüzey düzeltme ve parlatma makinasında ISRM (1981) standartlarının öngördüğü şekilde düzeltmiştir.

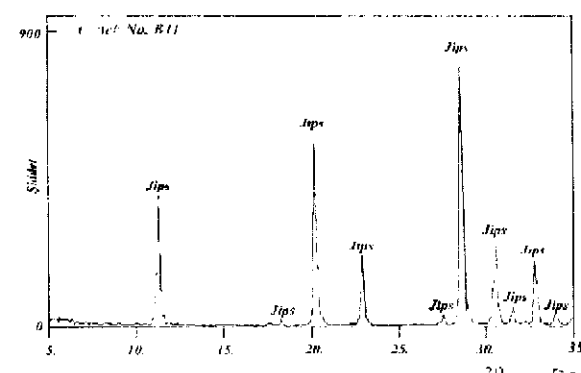
### JİPSLERİN MINERALOJİK ÖZELLİKLERİ

Jips örneklerinden alınan parçalar öğütüldükten sonra, Tüm Kayaç (TK) çözümlemeleri Cumhuriyet Üniversitesi Jeoloji Mühendisliği Bölümü MİPJAL laboratuvarında X-ışınları difraksiyonu (XRD) ile yapılmıştır. Karakteristik difraktogramlar Şekil 2' de görülmektedir.

Çözümlemelere göre, örnekleri oluşturan minerallerin tamamı jips olarak değerlendirilmiş olup, jips içeriği %100'dür. Çözümlemelerde ihmali edilebilir düzeyde dahi başka bir iz minerale rastlanmamıştır.

Jips örneklerinden elde edilmiş olan birim hacim ağırlık değerleri 2.28 ile 2.41 g/cm<sup>3</sup> arasında değişmekte olup, ortalama 2.36 g/cm<sup>3</sup> olarak belirlenmiştir.

Değerler saf jipsin birim hacim ağırlığı olan 2.32 g/cm<sup>3</sup> değeri (Deer ve diğ., 1962) ile uyumludur. Bu da örneklerin hemen hemen saf jips olmasından kaynaklanmaktadır, söz konusu mineralojik değerlendirmeleri desteklemektedir.



**Şekil 2.** Çalışma alanındaki jipstere ait karakteristik XRD-TK difraktogramı.

Figure 2. Characteristic XRD-whole rock diffractogram of gypsum from study area.

## SCHMIDT SERTLİĞİ DENEYLERİ

Hazırlanmış  $25 \times 25 \times 25$  cm boyutlu blok örnekler üzerinde, N – tipi çekici kullanılarak, ISRM (1981) tarafından önerilen yönteme göre deneyler gerçekleştirilmiştir. Hencher ve Martin (1982)'nin Schmidt sertliği belirleme deneyinin karotlar üzerinde uygulanmaması önerisi (Geological Society Working Party Report, 1995) dikkate alındıgından dolayı, bu deneyler kırıksız ve çatlaksız blok örnekler üzerinde yapılmıştır.

Bloklara dik uygulanan deneylerde, Poole ve Farmer (1980) tarafından önerildiği gibi rastgele 20 farklı noktada seri ölçümler yapılmış ve en yüksek 10 değer seçilmiş ortalaması alınmıştır. Elde edilen bu ortalamaya değer o kayaç numunesi için Schmidt sertliği değeri olarak belirlenmiştir.

## TEK EKSENLİ BASINÇ VE STATİK DEFORMABİLİTE DENEYLERİ

Jipslerin serbest basınç dayanımı, gerilme-birim deformasyon özelliklerini, elastisite modülünü belirlemek üzere yapılan deneyler NX- karotlar üzerinde gerçekleştirilmiştir. Deney için hazırlanmış numunelerin üzerine, 2 adet düşey ve 2 adet yatay olmak üzere elektrikli birim deformasyon dirençleri (strain gauge) (full bridge) yapıtılmıştır. Dirençler, merkez ekseni numunenin ortasında ve birbirlerinden eşit uzaklıkta olacak şekilde numune üzerine yerleştirilmiştir.

Daha sonra; karot, başlıklar ve hidrolik presin basma yüzeyleri birbirlerine ve hidrolik prese göre bir eksen boyunca yerleştirilmiş, numune üzerine sürekli olarak sabit bir gerilme hızında ( $0.5 \text{ MPa/sn}$ ) yük uygulanmıştır. Yükseklik çapsal ve eksenel birim deformasyon değerleri sürekli olarak, en az 10 değer olacak şekilde, numune kırlana kadar kaydedilmiştir.

## DENEY SONUÇLARI, DEĞERLENDİRİLMESİ

Çizelge 2' de deney sonuçları ve parametrelerin temel istatistiksel değerlendirme verilmiştir.

**Çizelge 2. Schmidt çekici, serbest basınç dayanımı ve elastisite modülünün istatistiksel değerlendirme sonuçları.**

**Table 2. Statistical results of the obtained Schmidt hammer, unconfined compressive strength and Young modulus values.**

	En az	En fazla	Ortalama	St. Sapma
R	30.3	43.9	37.4	3.898
$\sigma_u$ (Mpa)	15.04	30.00	21.89	4.694
E (Gpa)	16.02	32.41	24.57	5.145

R= Schmidt sertliği,  $\sigma_u$ = tek eksenli sıkışma dayanımı, E= elastisite modülü.

Sertlik belirleme deney sonuçları ile tek eksenli basınç dayanımı ve deformabilite deney sonuçları, Statgraph 5.0 paket programı kullanılarak ilişkilendirilmiş ve oldukça yüksek korelasyonlu ilişkiler elde edilmiştir. Analiz sonucunda (Çizelge 3)  $\sigma_u = R$  ve  $E = R$  için en anlamlı ilişki olan *üssel model* seçilmiştir. Elde edilen ilişkiler t-testi sonuçlarına göre, %95 güvenilirlikle istatistiksel olarak anlamlıdır.

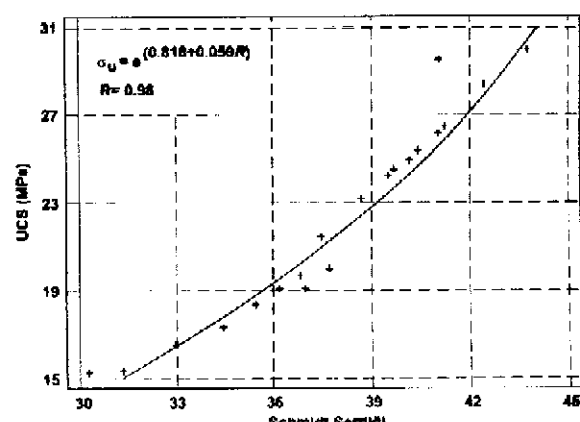
**Çizelge 3. Regresyon analizi sonuçları.**

**Table 3. Regression analyses results.**

	Eşitlik	n	Sx	R
$\sigma_u = R$	$\sigma_u = e^{(0.818 + 0.056R)}$	20	0.0472	0.98
$E = R$	$E = e^{(1.146 + 0.051R)}$	20	0.0712	0.95

R= Schmidt sertliği,  $\sigma_u$ = tek eksenli sıkışma dayanımı, E= elastisite modülü, n= örnek sayısı, Sx= standart sapma, R= korelasyon katsayıısı.

Şekil 3 ve 4' de sırası ile  $\sigma_u$  değerlerine karşılık  $R$  ve  $E$  değerlerine karşılık  $R$  değerlerinin değişimi görülmektedir. Analiz sonucuna göre bu parametreler arasında yüksek korelasyon katsayıısı (0.98 ve 0.95) ile ifade edilebilen çok kuvvetli bir ilişki bulunmuştur.



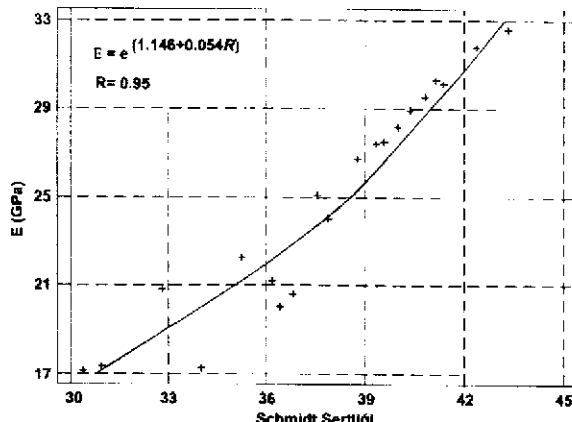
**Şekil 3.  $\sigma_u$  değerlerine karşılık  $R$  değerlerinin değişimi.**

**Figure 3. R versus  $\sigma_u$  values.**

Diğer yandan, elde edilen Schmidt sertliği değerleri kullanılarak literatürdeki yedi değişik eşitlik (Deere ve Miller, 1966; Kidybinski, 1980; Shorey ve diğ. 1984; Haramy ve DeMarco, 1985; Ghose ve Chakraborti, 1986; Gökçeoğlu, 1996; Kahraman, 1996) için tek eksenli basınç dayanımları hesaplanmış ve deney sonuçları ile karşılaştırılmıştır. Şekil 5' den de izlenebildiği gibi deneysel ve hesaplanan sonuçların uyum içinde değiştiği, ancak her bir noktada belirgin farklılıkların olduğu görülmüştür.

## TARTIŞMALAR

Bu çalışmadan elde edilen sonuçlara göre; Sivas havzasındaki jipslerin Schmidt sertliği ile serbest basınç dayanımı ve elastisite modülü arasında istatistiksel olarak anlamlı olan kuvvetli ilişkilerin olduğu belirlenmiş ve bu ilişkiler empirik ifadelerle ortaya konulmuştur.



**Şekil 4.  $E$  değerlerine karşı  $R$  değerlerinin değişimi.**

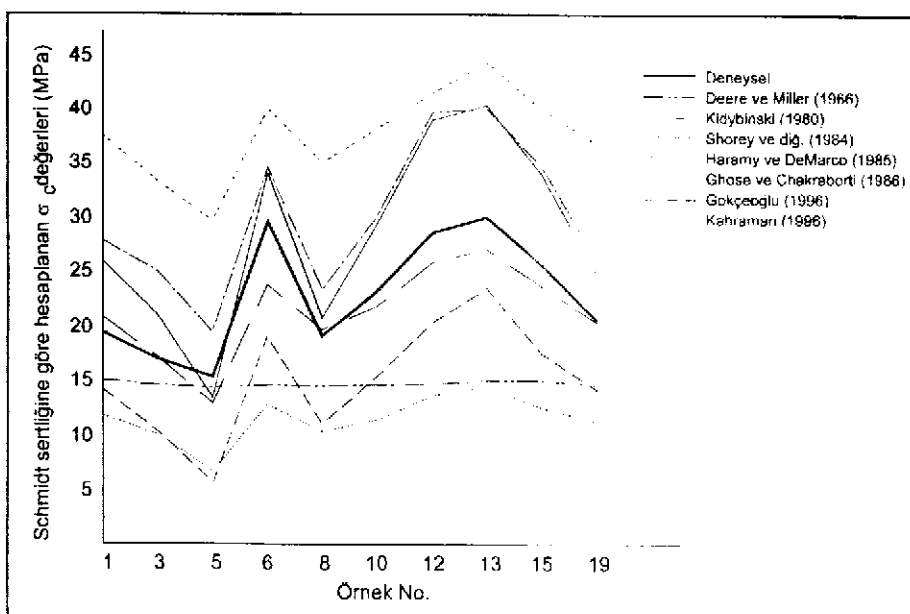
**Figure 4.  $R$  versus  $E$  values.**

$\sigma_u$ -R arasındaki ilişki  $\sigma_u = e^{(0.818+0.059R)}$  ve E-R arasındaki ilişki ise  $E = e^{(1.146+0.054R)}$  şeklindeki empirik ifadelerle ortaya konulmuştur. Bu ilişkilere ait yüksek korelasyon katsayılarının nedeni, ömeklerin %100 jips mineralinden oluşması ve buna bağlı olarak da homojen yapısından kaynaklanmaktadır.

Giriş bölümünde de bahsedilen önceki çalışmalarında da olduğu gibi, bu çalışma da Schmidt sertliği ile serbest basınç dayanımı ve elastik modüller arasında iyi korelasyonlar bulunmuştur. Bu konuda yapılmış hemen hemen tüm çalışmalarla iyi ilişkilerin bulunmuş olmasına karşın, oldukça geniş aralıklarda dağılım göstermektedirler ve laboratuvara elde edilen deneysel sonuçlara göre büyük sapmalar göstermektedirler.

Her bir çalışmanın sonuçları arasındaki bu sapmaların nedenleri, deney şartları ve deney yöntemlerinden daha çok kayaç türlerinin farklılıklarını ile zayıf veya sağlam kaya olmalarından kaynaklanmaktadır. Bu nedenle deney şartları ve yöntemleri aynı olsa da bütün kayaç türleri için tek bir bağıntının elde edilmesi mümkün gözükmemektedir. Ama şimdide kadar elde edilmiş kuvvetli ilişkiler, bir miktar hata payıyla da olsa Schmidt çekicinin kayaların serbest basınç dayanımı ve elastisite modüllerinin belirlenmesinde kullanılabilecek ucuz ve pratik bir yöntem olduğunu ortaya koymaktadır.

Tüm bunlara karşın, Gökçeoğlu (1996)'nun da belirttiği gibi Schmidt sertlik değeri kullanarak serbest basınç dayanımı ve elastisite modülünü dolaylı yöntemle elde etmek yerine, çekici kullanılarak kolaylıkla belirlenebilen sertlik indeksinin kayacın bir parametresi olarak doğrudan değerlendirilmesi daha gerçekçi bir yaklaşımı ifade edebilecektir.



**Şekil 5. Önceki çalışmalarla önerilen empirik bağıntılarla hesaplanan değerlerin deneysel sonuçlarla karşılaştırması.**

**Figure 5. Comparison of the calculated experimental values with calculated values from the proposed empirical equations in the literature.**

## KATKI BELİRTME

Yazarlar, bu çalışmanın gerçekleşme-sinde ömekleme esnasında yardımcıları için Maden Mühendisi Şevket KORUÇ (Doğan Alçı Ltd. Şti.)' a ve Jeoloji Mühendisi Bahar SAĞLAM (D.S.İ. 10. Böl. Md.)' a, karot alımında sağladıkları imkanlardan dolayı Prof.Dr. Atila CEYLANOĞLU (C.Ü. Maden Mühendisliği)' na, karot alımı aşamasında emeğińi esirgemeyen Arş.Gör.Dr. Ercan ARPAZ (C.Ü. Maden Mühendisliği)' a, deformabilite deneylerindeki yardım-larından dolayı Arş.Gör. Hakan BAŞARI'R (O.D.T.Ü., Maden Mühendisliği) ve Mehmet ÜSTÜNKAYA (Best Mühendislik)' ya ve sağla-dıkları ekonomik destekten dolayı da C.Ü. Araş-tırma Fonu' na teşekkür ederler.

## KAYNAKLAR

- Aufmuth, R. E., 1973. A systematic determination of engineering criteria for rocks. Bull. of Assoc. of Engng. Geologists, 11, pp. 235-245.
- Deer, W.A., Howie, R.A. and Zussman, J., 1962. Rock Forming Minerals. Vol. 5, Non-Silicates. Longmans, London.
- Deere, D. U. and Miller, R. P., 1966. Engineering classification and index properties for intact rocks. Technical Report, Air Force Weapons Laboratory, New Mexico., No. AFNL-TR, 65-116.
- Geological Society Engineering Group Working Party Report, 1995. The description and classification of weathered rocks for engineering purposes. Q. J. Engng. Geol., 28, pp. 207-242.
- Ghose, A. K. and Chakraborti, S., 1986. Empirical strength indices of Indian coals- an investigation. Proceedings of 27th U.S. Symp. On Rock Mechanics, Rotterdam, Balkema, pp. 59-61.
- Gökçeoğlu, C., 1996. Schmidt sertlik çekici kullanılarak tahrin edilen tek eksenli basınç dayanımı verilerinin güvenilirliği üzerine bir değerlendirme. Jeoloji Mühendisliği, 48, s. 78-81.
- Grasso, P., Xu, S. and Mahtab, A., 1992. Problems and promises of index testing of rocks. Rock Mechanics, Tillerson and Waversik (Eds.), Balkema, Rotterdam, pp. 879-888.
- Haramy, K. Y. and DeMarco, M. J., 1985. Use of Schmidt hammer for rock and coal testing. 26th U.S. Symp. on Rock Mechanics, 26-28 June, Rapid City, pp. 549-555.
- I.S.R.M., 1981. Rock Characterization Testing and Monitoring, I.S.R.M. Suggested Methods. E.T. Brown (Ed.), Pergamon Press, Oxford, 211 p.
- Kahraman, S., 1996. Basınç direnci tahmininde Schmidt ve nokta yük indeksi kullanımının güvenilirliği. K.T.Ü. Jeoloji Mühendisliği Bölümü 30. Yıl Sempozyumu, (Ed. S. Korkmaz ve M. Akçay), Bildiriler Kitabı, Trabzon, s. 362-369.
- Kidybinski, A., 1980. Bursting liability indices of coal. Int. J. Rock Mech. Min. Sci. & Geomech. Abstr., 17, pp. 167-171.
- Kurtman, F., 1973. Sivas-Hafik-Zara ve İmrani bölgesinin jeolojik ve tektonik yapısı. M.T.A. Dergisi, 80, s. 1-32.
- Öztürk, A., İnan, S., Gürsoy, H., Kavak, K. Ş. and Özden, S., 1996. Tectonic setting and evolution of the Sivas basin, Central Anatolia, Turkey. International Geology Review, 38, pp. 838-853.
- Poole, R. W. and Farmer, I. W., 1980. Consistency and repeatability of Schmidt hammer rebound data during field testing (Technical Note). Int. J. Rock Mech. Min. Sci. & Geomech. Abstr., 17, pp. 167-171.
- Schapazis, C. I., 1990. Correlating Schmidt hardness with compressive strength and Young's modulus of carbonate rocks. Bull. of Int. Assoc. Engng. Geol., 42, pp. 75-83.
- Shorey, P. R., Barat, D., Das, M. N., Mukherjee, K. P. and Singh, B., 1984. Schmidt hammer rebound data for estimation of large scale in-situ coal strength. (Technical Note). Int. J. Rock Mech. Min. Sci. & Geomech. Abstr., 21, pp. 39-42.
- Xu, S., Grasso, P. and Mahtab, A., 1990. Use of Schmidt hammer for estimating mechanical properties of weak rock. 6th Int. IAEG Congress, Balkema, Rotterdam, pp.511-519.

## SÜREKLİ DOYGUN KOŞULUN KONSOLIDASYON VE MAKASLAMA DAYANIMI ÜZERİNDEKİ ETKİSİNE BİR ÖRNEK: GEMLİK KÖRFEZİ KILLİ DENİZ ZEMİNLERİ

## AN EXAMPLE FOR SATURATED CONDITION EFFECT ON THE CONSOLIDATION AND SHEAR STRENGTH: CLAYEY MARINE SOILS FROM GEMI IK GULF

**İşik YILMAZ** **Cumhuriyet Üniversitesi, Jeoloji Mühendisliği Bölümü, 58140 Sivas**  
**Mehmet ÜSTÜNKAYA** **BMM Ltd. Sti, Turgut Özal Bulvarı, 54/9 İskitler, Ankara**

**ÖZ:** Bu çalışmada; Gemlik (Kurşunlu)' de planlanan balıkçı barınağının jeolojik-jeoteknik incelemesi amacı ile yapılmış olan sondajlar ve bunlardan alınan örnekler kullanılarak denizel ortamındaki zeminlerin kayma dayanımı ve konsolidasyon özellikleri belirlenmiş, sürekli doygun koşulun dayanım ve konsolidasyon parametreleri üzerindeki etkileri tartışılmıştır. 13 adet sondaj kuyusundaki killi düzeylerden elde edilmiş olan örselenmiş/örselenmemiş örnekler üzerinde, indeks, konsolidasyon ve üçeşenli basınç dayanımı deneyleri gerçekleştirilmiştir. Elde edilen drenajsız makaslama dayanımı ve konsolidasyon özelliklerine ilişkin sonuçlar, zeminlerin konsolide olmamış ve düşük dayanımlı olduklarını göstermiştir. Zeminlerin konsolidasyon derecesindeki bu düşük değer, denizel ortamındaki sürekli doygun koşulun etkisi altında, ıslanma ve kurumanın bir sonucu olarak gelişen şışme bütünlük çevrimlerinin gerçekleşmemiş olmasından kaynaklanmaktadır. Böylece, taneler arasındaki sürekli boşluksu basıncı sonucunda konsolidasyon gerçekleşmemiştir. Zeminlerin düşük makaslama dayanımı değerleri, zemini oluşturan malzemenin yumuşamasına neden olan sürekli doygun koşulun etkisinden kaynaklanmaktadır, yine zeminlerin bir ölçüde konsolidasyon düzeylerinin düşüklüğüne bağlıdır.

**Anahtar Kelimeler:** Deniz zemini, doygun koşul, Gemlik Körfezi, kil, konsolidasyon, makaslama davamı.

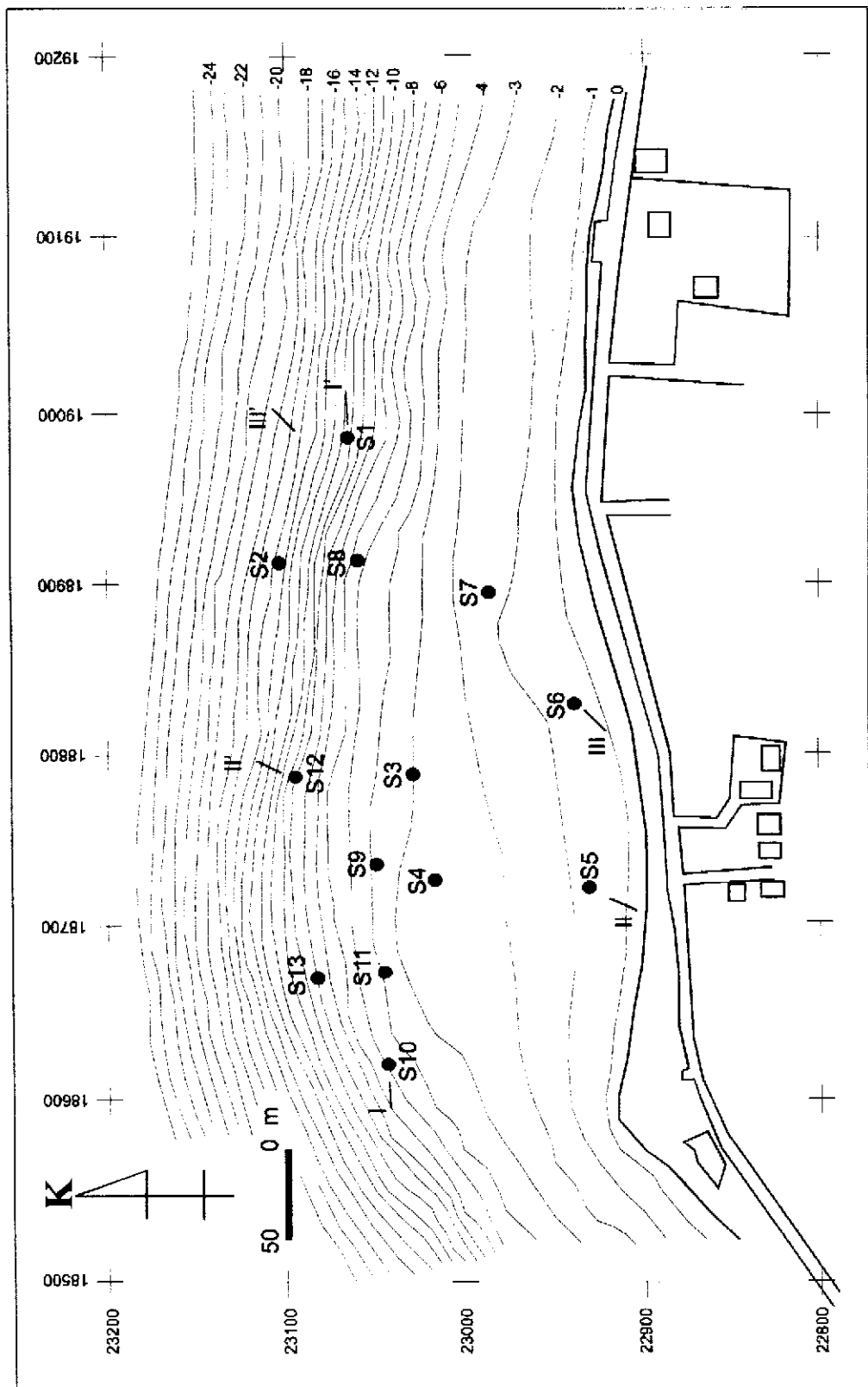
**ABSTRACT:** The consolidation and shear strength behaviour of soil developed in the marine environment has been investigated, and effect of the saturated conditions on the strength and consolidation parameters had been concluded in this study. Index, oedometer and triaxial compression tests were performed on the undisturbed/disturbed clayey soil samples from 13 boreholes. The results of undrained triaxial compression and consolidation tests on the undisturbed soil specimens showed that the soils are unconsolidated and have a low shear strength. Unconsolidated nature of the soils have been predominantly influenced by marine conditions where cycles of swelling and shrinkage which are result of wetting and drying are not possible because of the prolonged saturated conditions. So the pore water pressure between particles has been resisted to the consolidation. The low shear strength is also related to the saturated conditions of the soils where the coating materials are softened, and shear strength is reduced. It was also affected by the unconsolidated nature of the soils.

**Key-words:** Clay, consolidation, Gemlik gulf, marine soils, saturated condition, shear strength.

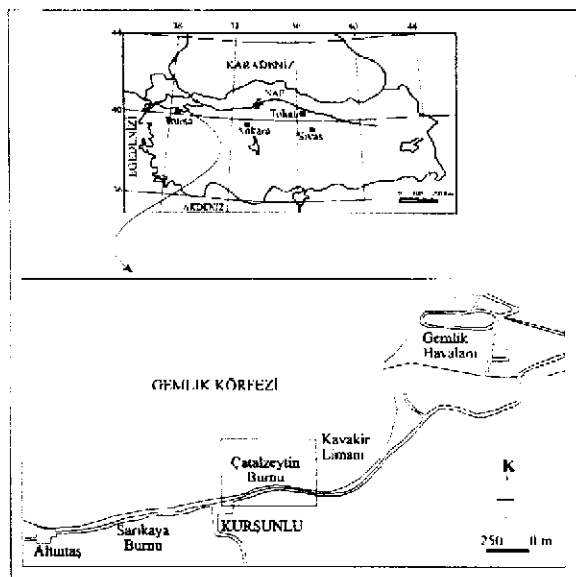
GİRİŞ

Bu çalışmada, Bursa'ının kuzeydoğusunda yer alan (Şekil 1 ve 2) Gemlik Körfezi'nde yapılması planlanan balıkçı barınağına ait jeolojik-jeoteknik inceleme amacı ile açılmış sondajlar ve buralardan alınan örnekler kullanılarak amacı ile açılmış sondajlar ve buralardan

alınan örnekler kullanılarak killi zeminlerin konsolidasyon ve makaslama dayanımı gibi bazı mühendislik özelliklerinin belirlenmesi, sürekli doygun koşulun konsolidasyon ve dayanım üzerindeki etkilerinin tartışılması amaçlanmıştır.

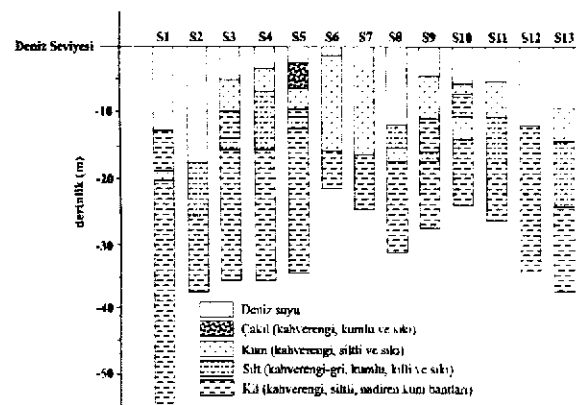


**Şekil 2. Çalışma alanı sondaj lokasyon haritası.**  
**Figure 2. Borehole location map of the study area.**



**Şekil 1. Çalışma alanının yer bilduru haritası.**  
Figure 1. Location map of the study area.

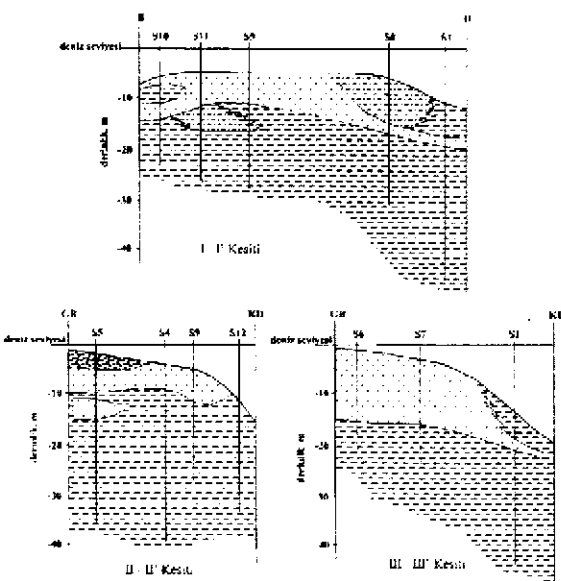
Çalışma; arazi araştırmaları ve laboratuvar çalışmaları olmak üzere iki aşamada gerçekleştirilmiştir. İlk aşamada, denizaltında açılan 13 adet sondaj kuyusundan (Şekil 2) örselenmiş ve örselenmemiş örnekler alınmıştır. Daha sonra, arazi gözlemlerine ve sondaj loglarına (Şekil 3) bağlı olarak farklı lokasyonlarda zemin profilleri çizilmiştir (Şekil 4).



**Şekil 3. Sondaj logları.**  
Figure 3. Drill-logs.

Elde edilen örnekler üzerinde yapılan laboratuvar deneyleri ile zeminlerin indeks, konsolidasyon ve makastama dayanımı özelilikleri Kaya-Zemin Mühendislik Ltd. Şti. Laboratuvarlarında (Ankara) belirlenmiştir. Saha ve laboratuvar çalışmalarından sonra, elde edilen jeolojik, indeks ve jeo-teknik özellikler mühendislik açısından tartışılmış ve değerlendirilmiştir. Bu çalışma, sürekli doygun koşulun zeminlerin

konsolidasyon ve dayanımı üzerindeki etkisinin açıklanması ve bir liman yeri olan çalışma alanında daha sonradan gerçekleştirilmesi muhtemel yapı uygulamalarında dikkate alınabilecek ön bilgilerin elde edilmiş olması bakımından önem taşımaktadır.

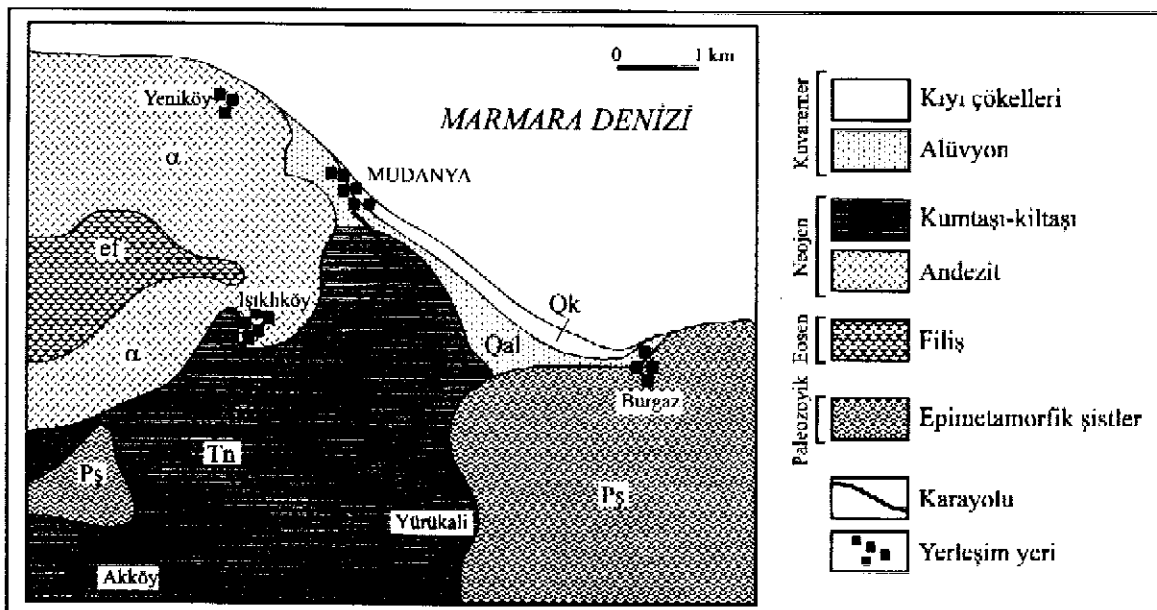


**Şekil 4. Sondaj loglarına göre çizilmiş zemin profilleri.**  
Figure 4. Soil profiles constructed based on the drill-logs.

## JEOLOJİ

İnceleme alanının jeolojisi, M.T.A. Genel Müdürlüğü bünyesinde çıkarılan 1:100 000 ölçekli jeolojik haritalar üzerinde ve Akyürek (1987) tarafından revize edilen 1:500 000 ölçekli İstanbul paftası ve açıklamalarından özetlenmiş bulunmaktadır. Şekil 5'te verilen 1:100 000 ölçekli genel jeoloji haritası, M.T.A.'nın önceki çalışmalarından derlenmiş olmakla birlikte, saha ve sondaj çalışmaları esnasında elde edilen bulgularla detaylandırılmıştır.

Çalışma alanının civarında, yaşıdan gence doğru; Paleozoyik yaşı epimetamorfik şistler, Eosen filiş, Neojen yaşı andezit ve kumtaşı-kiltaşı, Kuvaterner alüvyon ve kıyı çökelleri olmak üzere 6 farklı birim bulunmaktadır. Bölgede; temel kaya birimini Paleozoyik yaşı epimetamorfik şist serisi (P<sub>sh</sub>) oluşturmaktadır. İnceleme alanının güney ve güneybatısındaki engebel alanda izlenen metamorfik kayaçlar, metadiyabaz ve kalkışt bileşimindedir. Oligosen karasal çökelleri, bölgenin güneydoğusunda geniş bir yayılım göstermektedir. Bölgenin en yeni oluşukları, Kuvaterner'e ait alüvyonlar (Qal) ve kıyı çökelleridir (Qk).



**Şekil 5. Çalışma alanı ve civarının jeoloji haritası.**

**Figure 5. Geological map of the study area and its surroundings.**

Alüvyonlar genellikle çakılı kumlu kil ve siltli kil bileşiminde ince taneli çökellerden oluşmaktadır, kıyı çökelleri ise çakılı kum bileşimli iri taneli malzemeler halinde gözlenmektedir.

#### ÖRNEKLEME

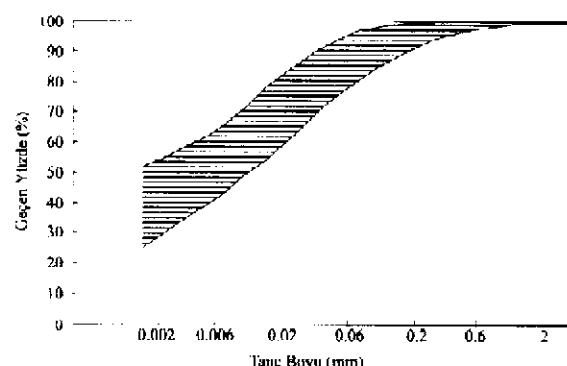
Denizaltında açılan 13 sondaj kuyusundaki gözlemler sonucunda, tane boylarına göre 4 farklı düzeyin bulunduğu görülmüştür. Bunlar; çakılı, kumlu, siltli ve özellikle de killi düzeylerdir. Killi düzeylerin oldukça yaygın olarak gözlenmiş olmasına karşın çakılı düzey sadece bir sondajda 2 m kalınlığındadır. Söz konusu 13 sondaj kuyusundan, amaca yönelik olarak 70 adet örselenmiş ve 13 adet örselenmemiş örmek alınmıştır.

Konsolidasyon ve üç eksenli basınç deneylerinde kullanılacak örselenmemiş örmeklerin hazırlanmasında, deneylere ilişkin standartlara uyulmuştur (ASTM D-2435 ve ASTM D-2850). Konsolidasyon ve üç eksenli dayanım deneyleri için örmekler hazırlanıktan sonra artanlar ise kıvam sınırları, tane özgül ağırlığı, tane boyu dağılımı gibi indeks özelliklerin belirlenmesinde kullanılmıştır.

#### İNDEKS ÖZELLİKLER

Tane boyu dağılım eğrilerine göre (Şekil 6), zeminlerin tümü ince tanelidir. Buna göre; zeminler ortalama %1 çakıl, %14 kum, %45 silt ve %40 kil boyu malzemeden oluşmaktadır. Zeminlerin tane özgül ağırlığı

değerleri ise; 2.60 dan 2.69' a kadar değişmekte otup ortalama olarak 2.67 dir (Çizelge 1). Zeminlerin plastisite indeksi ortalama %22 dir. Birleştirilmiş Zemin Sınıflaması (USBR, 1974)' na göre CL grubu (düşük plastisiteli inorganik kil) zeminler olup, plastisite abağında A-çizgisi üzerinde dağılım göstermektedir (Şekil 7). Zeminlere ait doğal su içeriği (w) değeri ortalama %40.1 olmak üzere, %32.7 ile %44.8 arasında değişmektedir. Doygunluk dereceleri ise %100 dır. Zeminlerin ortalama boşluk oranları %92.3 olup, Anon (1979)' a göre "yüksek boşluk oranına sahip zeminler" sınıfında yer almaktadırlar (Çizelge 1).



**Şekil 6. Çalışma alanından alınan zeminlerin tane boyu dağılımları.**

**Figure 6. Grain-size distribution of the soils from study area.**

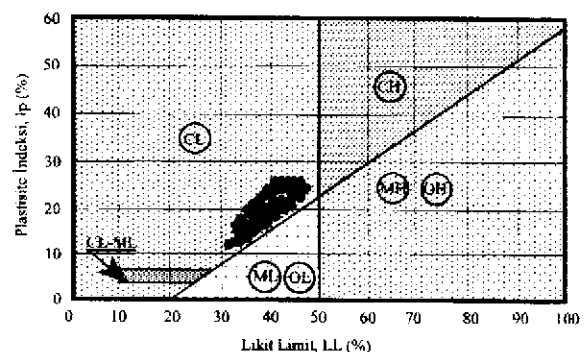
Doğal su içeriği, likit limit ve plastik limite bağlı olarak elde edilen sivilik indeksi ( $I_L$ )

**Çizelge 1. Kılıcı düzeylere alt zeminlerin index özellikleri.**  
**Table 1. Index properties of the soil samples from clayey levels.**

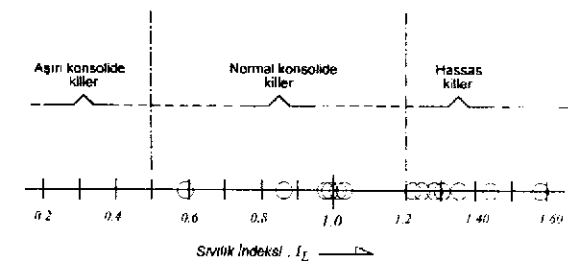
	$\gamma_n$ (kN/m <sup>3</sup> )	$\gamma_d$ (kN/m <sup>3</sup> )	w <sub>n</sub> (%)	S <sub>r</sub> (%)	G <sub>s</sub>	e (%)	LL (%)	PL (%)	I <sub>p</sub> (%)	I <sub>L</sub>
Min.	16.7	11.6	32.7	99	2.60	67.5	35	21	14	+ 0.59
Max.	19.9	15.4	44.8	100	2.69	99.6	44	25	19	+ 1.57
X	18.6	14.3	40.1	100	2.67	92.3	38.7	22	16.6	+ 1.10
Sx	0.81	0.99	0.03	0.00	0.02	0.12	0.03	0.02	0.02	0.27

$\gamma_n$ = doğal su içeriği,  $\gamma_d$ = kuru birim hacim ağırlığı,  $w_n$ = doğal su içeriği,  $S_r$ = doygunluk derecesi,  $G_s$ = tane özgül ağırlığı,  $e$ = boşluk oranı, LL= likit limit, PL= plastik limit,  $I_p$ = plastisite indeksi,  $I_L$ = sıvılık indeksi, X= aritmetik ortalama ve Sx= standart sapma.

+0.59 ile +1.57 arasında değerler almaktır ve buna göre zeminler "konsolide olmamış-hassas zeminler" grubunda yer almaktadır (Şekil 8). Bu sonuç, konsolidasyon deneyleri ile elde edilen sonuçlarla da uyumludur.



**Şekil 7. Zemin örneklerinin plastisite kartındaki dağılımları.**  
**Figure 7. Distribution of the soil samples on the plasticity chart.**



**Şekil 8. Zeminlerin sıvılık indekslerine göre konsolidasyon düzeyleri.**  
**Figure 8. Consolidation levels of the soils based on their liquidity index.**

## KONSOLIDASYON ÖZELLİKLERİ

Konsolidasyon deneyleri, ASTM D-2435 standardına göre (ASTM, 1990), 75 mm çaplı, 20 mm yüksekliğe sahip konsolidasyon halkası kullanılarak 13 örnek üzerinde gerçekleştirilmiştir. Deneylerden elde edilen karakteristik sıkışma ve çözülme eğrileri Şekil 9'da

görülmektedir. Konsolidasyon deneyi ile elde edilen sonuçlar Çizelge 2'de verilmiştir.

Önyükleme basıncı değerleri, Casagrande (1936) tarafından önerilen yolla, e-logP grafikleri kullanılarak bulunmuştur. Zeminlerin ön-yük basınçları ( $\sigma'_p$ ) 100 ile 140 kPa arasında değişmekte olup ortalama 125 kPa'dır. Şekil 10'da görülebileceği gibi önyükleme basıncı değerleri güncel örtü basıncından ( $\sigma'_{vo}$ ) daha küçük olup "konsolide olmamış-hassas zemin" özelliğini yansıtmaktadır. Önyükleme basıncı ve örtü basıncına bağlı olarak elde edilen Aşırı Konsolidasyon Oranı (OCR) ise 0.53 gibi oldukça küçük bir değer almaktadır. Bu sonuçlar, sıvılık indeksine bağlı olarak bulunan (Şekil 8) sonuçlarla da uyumludur.

Tomlinson (1986) tarafından önerilen sınıflamaya göre;  $0.3 \text{ m}^2/\text{MN}$  ile  $1.5 \text{ m}^2/\text{MN}$  arasında hacimsel sıkışabilirlik katsayısına ( $m_v$ ) sahip zeminler, "yüksek derecede sıkışabilir zeminler" grubunda yer almaktadır. Çalışma alanından alınan zemin örneklerine ait hacimsel sıkışabilirlik katsayıları değerlerine göre de, bu zeminler "yüksek derecede sıkışabilir zeminler" olarak sınıflandırılmışlardır. Bu yüksek sıkışabilirlik özelliği, zeminlerin yüksek boşluk oranı değerlerinden kaynaklanmaktadır. Giraud ve Rousset (1996) ile Feda (1998) de yüksek boşluk oranına sahip, yüksek derecede sıkışabilir zeminlerden bahsetmektedirler. Reznik (1995)'e göre; zeminlerin deformasyon modülleri porozite ile su içeriğine bağlıdır ve doygunluk derecesi ile boşluk oranının bir fonksiyonudur.

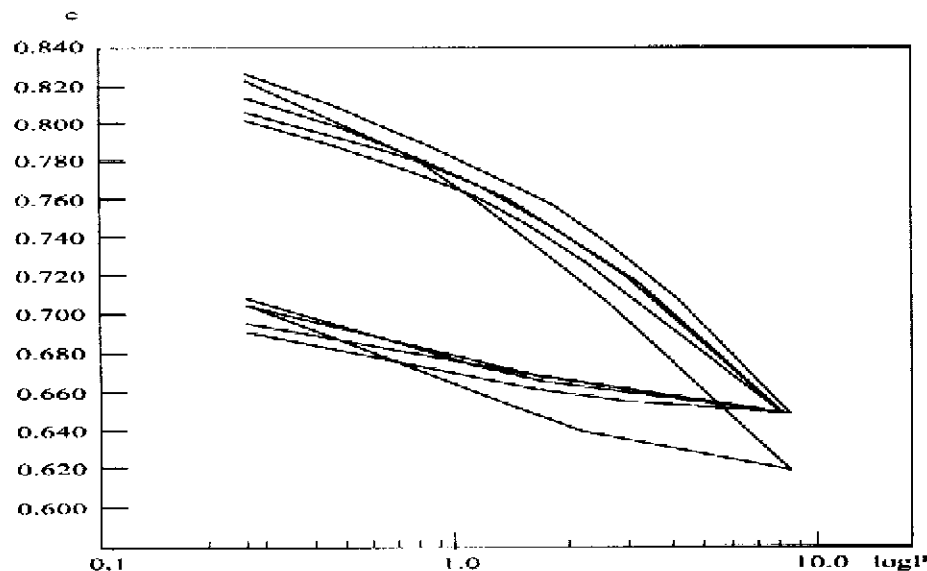
Yüksek hidrostatik yük ve örtü basıncına rağmen, konsolide olmamış zemin özelliği elde edilmiştir. Zeminlerin konsolidasyon derecesindeki bu düşük değerin, denizel ortamındaki sürekli doygun koşulun etkisi altında, ıslanma ve kurumanın bir sonucu olarak gelişen şişme büzülme çevrimlerinin gerçekleşmemiş olmasından kaynaklandığı düşünülmektedir. Böylece, taneler arasındaki sürekli su basıncı sonucunda konsolidasyon gerçekleşmemiştir.

Çizelge 2. Konsolidasyon ve üç eksenli makaslama dayanımı deneyi sonuçları.

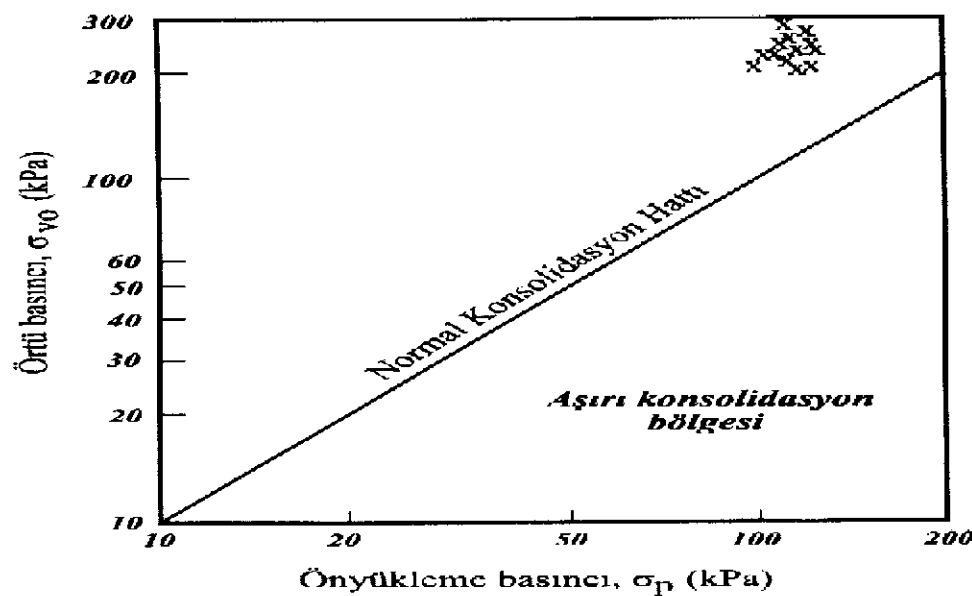
Table 2. Consolidation test and triaxial shear strength test results.

	$\gamma_n$ (kN/m <sup>3</sup> )	$\sigma'_{vo}$ (kPa)	$\sigma'_p$ (kPa)	OCR	$C_c$	$C_s$	$m_v$ (m <sup>2</sup> /MN)	$c_v \times 10^{-4}$ (m <sup>2</sup> /sec)	$C_u$ (kPa)	$\phi$ (°)
Min.	16.7	200.5	100	0.37	0.144	0.022	0.19	0.86	16	0
Max.	19.9	326.5	140	0.67	0.555	0.199	0.69	7.55	28	10
X	18.62	237.3	125	0.53	0.354	0.096	0.45	5.07	23.8	6.9
Sx	0.81	37.81	12.04	0.08	0.18	0.06	0.00	0.00	3.65	4.52

$\gamma_n$ = doğal birim hacim ağırlığı,  $\sigma'_{vo}$ = örtü basıncı,  $\sigma'_p$ = önyükleme basıncı, OCR= aşırı konsolidasyon oranı,  $C_c$ = sıkışma indeksi,  $C_s$ = şişme indeksi,  $m_v$ = hacimsal sıkışabilirlik katsayısı,  $c_v$ = konsolidasyon katsayısı,  $C_u$ = drenajsız makaslama dayanımı,  $\phi$ = içsel sürtünme açısı.



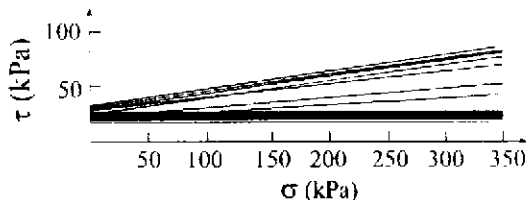
Şekil 9. Karakteristik konsolidasyon eğrileri.  
Figure 9. Characteristic consolidation curves.



Şekil 10. Zeminlerin önyükleme basıncı-efektif örtü basıncı diyagramındaki dağılımları.  
Figure 10. Distribution of the soils on pre-loading pressure-effective cover pressure diagram.

## MAKASLAMA DAYANIMI ÖZELLİKLERİ

Zeminlerin makaslama dayanımı parametrelerini belirlemek üzere, 13 adet örnek üzerinde drenajsız üç eksenli basınç dayanımı deneyleri gerçekleştirılmıştır (ASTM D-2850, 1987). Zeminlere ait yenilme zarfları Şekil 11'de görülmektedir. Zeminlere ait içsel sürtünme açısı değerleri  $0^\circ$  ile  $10^\circ$  arasında değişmektedir. Zeminlere içsel sürtünme açısı kazandıran özellik ise ortalama %1 oranındaki çakıl ve %15 kum içeriğidir. Ancak, zeminlerin suya doygun olması nedeni ile bu açı en fazla  $10^\circ$  ye ulaşabilmektedir. Kohezyon ise oldukça düşük olup 16 ile 28 kPa arasında değişmektedir. Anon (1979)'un önerdiği sınıflamaya göre, zeminler; "çok yumuşak-yumuşak zeminler" olarak değerlendirilmişlerdir. Zeminlerin bu düşük makaslama dayanımı değerleri; zemini oluşturan malzemenin yumuşamasına neden olan sürekli doygun koşulun etkisinden kaynaklanmaktadır olup yine zeminlerin konsolidasyon düzeylerinin düşüklüğüne de bağlıdır. Dai ve diğ. (1999) de, fazla gözenek suyu basıncına bağlı olarak makaslama dayanımında sürekli düşüşler gözlemlenmiştir.



Şekil 11. Üçeksenli dayanım deneylerinden elde edilen Mohr yenilme zarfları.

Figure 11. Mohr failure envelopes of the soil samples obtained from the triaxial tests.

## SONUÇLAR VE TARTIŞMALAR

Bu çalışmada, zeminlerin ince taneli, Birleştirilmiş Zemin Sınıflaması'na göre CL grubu (düşük plastisiteli inorganik kıl) zeminler ve boşluk oranlarına göre de "yüksek boşluk oranına sahip zeminler" olarak sınıflandırılmışlardır.

Çalışma alanı zeminlerinin önyükleme basıncı değerleri 100 ile 140 kPa arasında değişmekte olup ortalama 125 kPa olarak bulunmuş olup, önyükleme basıncı ve örtü basıncına bağlı olarak elde edilen Aşırı Konsolidasyon Oranı (OCR) ise 0.53 gibi oldukça küçük bir değer almıştır. Bu da zeminlerin konsolidde olmamış zeminler olduğunu göstermiştir. Hacimsel sıkışabilirlik katsayısına ( $m_v$ ) göre ise "yüksek derecede sıkışabilir zeminler" grubunda yer almaktadırlar.

Zeminlere ait içsel sürtünme açısı değerleri  $0^\circ$  ile  $10^\circ$  arasında değişmektedir. Kohezyon ise oldukça düşük olup 16 ile 28 kPa arasında değişmekte olup, "çok yumuşak-yumuşak zeminler" olarak değerlendirilmişlerdir.

Bu çalışmadan elde edilen sonuçlar esas alınarak; sürekli doygun koşulun zeminlerin konsolidasyon derecesi ve dayanımları üzerindeki etkileri tartışılmıştır.

Yüksek örtü basıncı ve hidrostatik yüze rağmen zeminler konsolidasyon özellikle göre "konsolidde olmamış-hassas zeminler" ve makaslama dayanımlarına göre de "düşük dayanımlı zeminler" olarak sınıflandırılmışlardır. Bunların nedenleri şu şekilde özetlenebilir. Düşük efektif gerilimelerle, taneler arasındaki su basıncı konsolidasyona karşı koymuştur. Denizel ortamındaki sürekli doygun koşulun etkisi altında, ıslanma ve kurumanın bir sonucu olarak gelişen şişme büzülme çevrimlerinin gerçekleşmemiş olmasına bağlı olarak da konsolidasyon süreci gerçekleşmemiş ve zeminler konsolidde olmamış zeminler olarak kalmışlardır. Zeminlerin yüksek sıkışabilirlik özelliği ise, yüksek porozite ve boşluk oranından kaynaklanmaktadır. Çalışma alanındaki zeminlerin düşük makaslama dayanımı değerleri ise; zemini oluşturan malzemenin yumuşamasına neden olan sürekli doygun koşulun etkisinden kaynaklanmaktadır olup yine zeminlerin konsolidasyon düzeylerinin düşüklüğüne de bağlı olarak etkilenmiştir.

## DEĞİNİLEN KAYNAKLAR

- Abduljauwad, S. N., 1994. Swelling behaviour of calcareous clays from the Eastern Province of Saudi Arabia. Quarterly Journal of Engineering Geology, 27, 333-351.
- Akyürek, B., 1987. 1:500 000 ölçekli jeoloji haritası (İstanbul). M.T.A. Genel Müdürlüğü Yayınları, Ankara, 105 s.
- Anon, 1979. Classification of rocks and soils for engineering geological mapping, Part I: rock and soil materials. Bulletin of IAEG, 19, 364-371.
- ASTM, 1987. Unconsolidated-Undrained Compressive Strength of Cohesive Soils in Triaxial Compression. Annual Book of ASTM Standards (ASTM D-2850), V. 04.08.
- ASTM, 1990. Annual Book of ASTM Standards (D-2435), Soil and Rock. Sec. 4, Vol. 04.08.

- BS 1377, 1975. Methods of test for soils for civil engineering purposes. British Standards Institution, London.
- Cassagrande, A., 1936. Determination of the pre-consolidation load and its practical significance. Proceedings, 1<sup>st</sup> Int. Conf. on Soil Mech. and Found. Engng., Cambridge, Mass, Vol. 3, 60-64.
- Dai, F., Lee, C.F., Wang, S. and Feng, Y., 1999. Stress-strain behaviour of a loosely compacted volcanic-derived soil and its significance to rainfall-induced fill slope failures. *Engineering Geology* (53) 3-4, 359-370.
- Feda, J., 1998. Fragmentary clay-a difficult waste material. *Engng. Geology*, (51) 2, 77-88.
- Giraud, A. and Rousset, G., 1996. Time-dependent behaviour of deep clays. *Engineering Geology*, 41(1-4), 181-195.
- Reznik, Y. M., 1995. Comparison of results of oedometer and plate load tests performed on collapsible soils. *Engineering Geology*, 39 (1-2), 17-30.
- Tomlinson, M. J., 1986. Foundation design and Construction. Pitman, London, 5<sup>th</sup> Ed.
- U.S.B.R., 1974. Earth Manual. U.S. Dept. of Interior Bureau of Reclamation, A Water Resources Tech. Publ., 810 p.

## **BURSA-ESKİŞEHİR VE FETHİYE-KÖYCEĞİZ BÖLGELERİ KROM YATAKLARI VE YAN KAYAÇLARININ PLATİN-GRUBU ELEMENT (PGE) DAĞILIMLARI**

## PLATINUM-GROUP ELEMENT (PGE) DISTRIBUTION IN CHROMITE ORES AND ITS HOST ROCKS FROM BURSA-ESKİŞEHİR AND FETHİYE-KÖYCEĞİZ DISTRICTS

**Ali UÇURUM** **Cumhuriyet Üniversitesi Jeoloji Mühendisliği Bölümü, 58140 Sivas.**  
**Paul J. LECHLER** **NBM&G, University of Nevada-Reno, Reno-NV, 89557-0088, USA.**  
**Taner EKİCİ** **Cumhuriyet Üniversitesi Jeoloji Mühendisliği Bölümü, 58140 Sivas.**

**ÖZ:** Çalışma alanı kuzeyde İzmir-Ankara Zonunda ve güneyde ise Likya Naplarında yer alan ofiyolitler içerisindeki krom cevherleşmelerini kapsamaktadır. Bu çalışma batı Türkiye'nin seçilmiş 10 farklı bölgesinde yer alan toplam 46 adet yeraltı krom işletmesinde, krom cevherleşmelerinin ve yan kayaçlarının platin-grubu element (PGE) ve Au içerikleri üzerine yoğunlaşmıştır. Geç Jura-Geç Kretase yerleşim yaşına sahip peridotit, dunit, serpantinleşmiş harzburjit ve lerzolitler yan kayaçlı Kromitlerden toplam 113 adet örnek alınmış ve değişik metodlarla incelenmiştir.

Çalışma alanında Alpin-tipi karekter sergileyen krom cevherleşmeleri ferri kromit ve az olaraka aliminyum kromit olarak adlandırılmıştır. Cevher ve yan kayaç örneklerinin jeokimyasal analiz sonuçlarına bakıldığından platin-grubu element (PGE) ve Au içeriklerinin düşük ve genellikle 5 ppb ile 100 ppb arasında değiştiği gözlenmektedir. Ancak Bazı bölgelerden alınan kromit örnekleri Pt, Pd, Rh, Ir ve Au' ca bir zenginleşme göstermektedir. Bu zenginleşme genellikle Eskişehir-Mihalıççık-Kavak, Muğla-Dalaman-Harmancık, Sarıkaya ve Fethiye-Sazlı bölgelerindeki krom cevherlerinde belirlendir. PGE konsantrasyonu genellikle Ni, Co, Fe, V, Cr, ve Al ile bir ilişki gösterirken, az olaraka Cu ve Zn ile ilişkilidir. Cevherleşme bölgelerindeki hidrotermal alterasyondan etkilenmiş ve etkilenmemiş zonlar ana element içerikler bakımında bir farklılık göstermemektedir. Ancak hidrotermal alterasyondan etkilen zonların PGE paternleri platin-grubu element ve Au içeriklerinde bir zenginleşme olduğunu göstermektedir. Bu nedenle kromit cevherleşmesinde ve yakın çevresinde gözlenen hidrotermal alteasyonlar PGE'ce zengin potansiyel hedef bölgeler olarak gösterilebilir.

Eskişehir-Mihalıççık-Kavak, Muğla-Dalaman-Harmancık, Sarıkaya ve Fethiye-Sazlı bölgeleri sergiledikleri özellikler nedeni ile PGE'ce zengin potansiyel hedef alanlar olarak değerlendirilebilir. Kavak, Harmancık, Sarıkaya ve Sazlı krom cevherleşmelerinde Kondrite göre normalleştirilmiş Pt, Pd, Rh, Ir, Au, Co, Cu, Ni, V, Zn, Cr, ve Fe'in konsantrasyon dağılımları, Dalaman-Harmancık cevherleşmesinin Pt, Pd, Rh, Ir ve Au içeriği bakımından yoğun bir zenginleşmeye sahip olduğunu göstermektedir. Diğer bölge kromitleri de PGE ve Au bakımından Kondrite göre bir zenginleşme sergilememektedir. İkisel mantoya göre normalize edilmiş paternlere göre Harmancık cevherleşmesi diğerlerine oranla Pt, Pd, Ir ve Au değerlerinde (ortalama Pt = 4115, Pd = 14950, Rh = 63.50 Ir = 50.50, Au = 117 ppb) bir yükselme göstermektedir (ortalama değerler: Kavak madeni; Pt = 49.33, Pd = 21, Rh = 6.67 Ir = 52.33, Au = 120.33; Sarıkaya madeni; Pt = 22, Pd = 15.50, Rh = 7 Ir = 40, Au = 105; Sazlı madeni; Pt = 23, Pd = 12, Rh = 8 Ir = 52, Au = 100 ppb).

Jeokimyasal analiz sonuçları, SEM çalışmaları ve cevher mikroskobisine göre PGE-Au, Co, Ni serpantinleşme süresince gelişen güzel yeniden dağılmış ve daha sonra hidrotermal olarak gerek krom cevherlerinde ve gerekse yan kayaçlarda kılcal çatlaklar, küçük ölçekli faylar ve kırıklar boyunca sülfürlü minerallerin (heazlevoodit (Ni-S), pentlandit (FeNi-S), ve bravoit (FeNiCo-S)) bünyesinde, Mountain ve Wood (1987), Buisson ve Leblanc (1986), Fischer ve diğ., (1988), Leblanc (1991) ve Lechner (1995)'in belirttiği gibi 150-300 °C sıcaklık aralığında zenginleşmiştir.

Bu çalışmada varılan sonuca göre Muğla-Dalaman-Gürleyik bölgelerindeki Harmancık krom madeni, bu bölgede ek platin-grubu element arama çalışmalarının yapılmasını destekleyen veriler sergilemektedir.

**Anahtar Kelimeler:** Kromit, hidrotermal platin-grubu element zenginleşmesi, ofiyolit, Türkiye.

**ABSTRACT:** The areas under study contain numerous chromite deposits in the ophiolites of the İzmir-Ankara zone to the north and ophiolites of the Lycian nappes to the south. This study of platinum-group elements (PGE) and Au concentrations in chromite ores and host rocks mainly were focused on selected chromite mines in western Turkey. A total of 46 underground chromite mines were sampled in 10 different districts in western Turkey. In these chromite is hosted in peridotite, dunite, serpentinized harzburgite and lherzolite rocks of Late Jurassic to Late Cretaceous in emplacement age. A total of 113 ore and rock samples were collected and examined in several ways.

Chromite ores from the study area show Alpine type character, and classified as ferri chromitite and less aluminum chromitite. Geochemical analyses indicate that platinum-group element (PGE) and gold concentrations in chromite ores are generally low, ranging from less than 5 ppb to 100 ppb. However, samples from several chromite mines exhibit enrichment in Pt, Pd, Rh, Ir and Au. This enrichment is mainly related to chromites in Eskişehir-Mihalıççık-Kavak, Muğla-Dalaman-Harmancık, Sarıkaya and Fethiye-Sazlı areas. The concentration of PGE are related to Ni, Co, Fe, V, Cr, and Al and less with Cu and Zn. PGE patterns provide evidence that the platinum-group element and Au have been concentrated in hydrothermally affected zones rather than non-altered zones, although both have similar major element composition. Thus, areas of hydrothermal alteration around and in chromite mineralization can be shown as potential PGE enriched targets.

The Eskişehir-Mihalıççık-Kavak, Muğla-Dalaman-Harmancık, Sarıkaya and Fethiye-Sazlı areas constitute potential PGE targets. Chondrite normalized spatial distribution of concentrations of Pt, Pd, Rh, Ir, Au, Co, Cu, Ni, V, Zn, Cr, and Fe in the Kavak, Harmancık, Sankaya and Sazlı mines are indicate that the samples from the Dalaman-Harmancık mine show enormous enrichment in Pt, Pd, Rh, and Au. The other chromite samples are also show enrichment in PGE and Au associated elements with respect to chondrite. A primitive mantle normalized pattern also indicates that the Harmancık mine samples have elevated concentrations of Pt, Pd, Ir (average Pt = 4115, Pd = 14950, Rh = 63.50 Ir = 50.50, Au = 117 in ppb) with respect to primitive mantle when compared to other chromite mines (average values: Kavak mine; Pt = 49.33, Pd = 21, Rh = 6.67 Ir = 52.33, Au = 120.33; Sarıkaya mine; Pt = 22, Pd = 15.50, Rh = 7 Ir = 40, Au = 105; Sazlı mine; Pt = 23, Pd = 12, Rh = 8 Ir = 52, Au = 100 in ppb).

The geochemical analytical results, SEM study, and ore microscopy indicate that the PGE-Au, Co, Ni were randomly re-distributed during the serpentinization process and later hydrothermally enriched in sulfides (heazlewoodite (Ni-S), pentlandite (FeNi-S), and bravoite (FeNiCo-S)) along fractures, fissures and small-scale faults either in chromite ores or in the serpentinized host rocks between the temperatures of 150-300 °C as indicated by Mountain and Wood (1987), Buisson and Leblanc (1986), Fischer et al., (1988), Leblanc (1991) and Lechner (1995).

With this study it has been concluded that the Harmancık mine in the Muğla-Dalaman-Gürleyik district is most promising to warrant additional exploration in terms of platinum-group element.

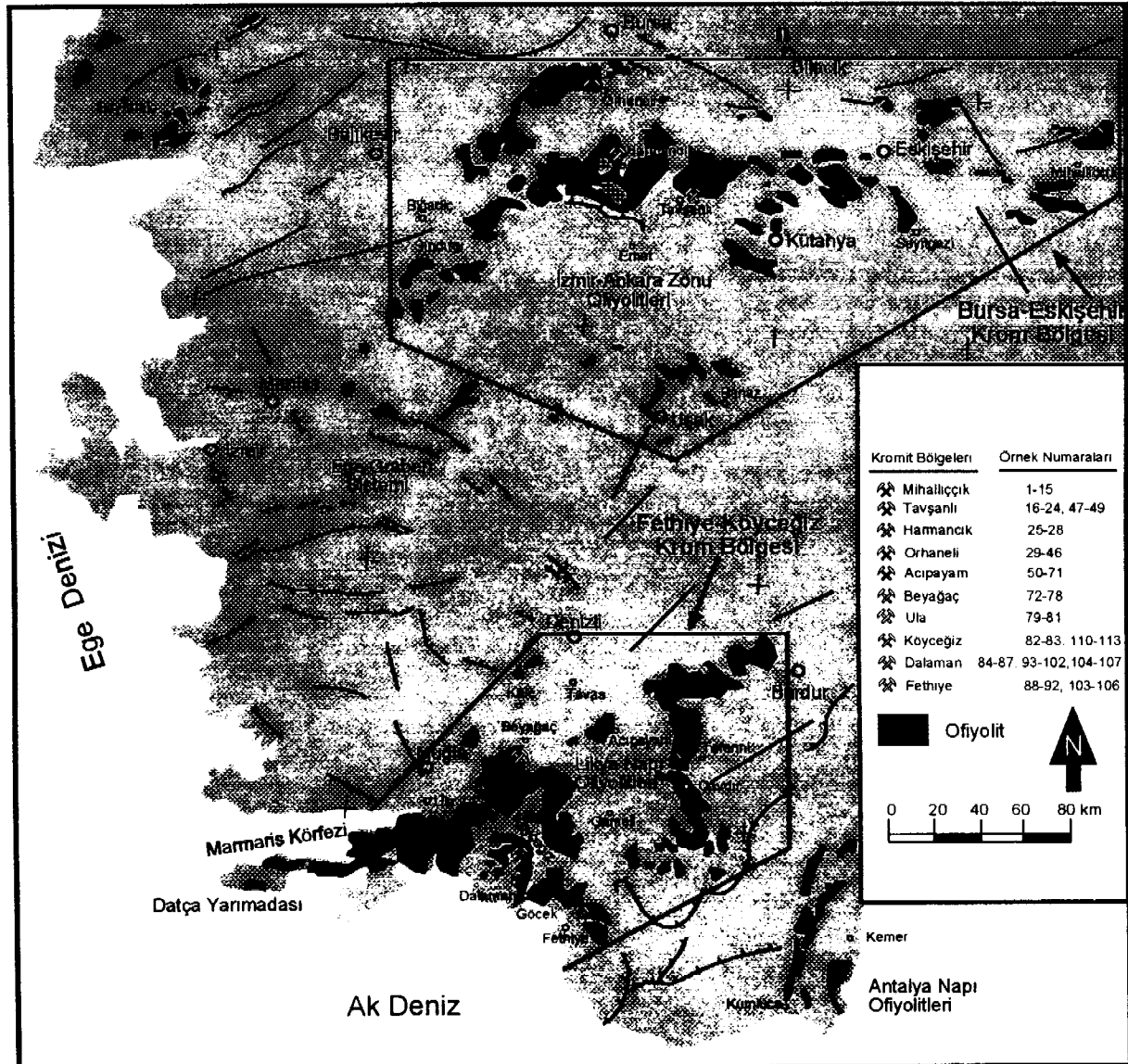
**Key words:** Chromite, hydrothermal platinum-group element enrichment, ophiolite, Turkey.

## GİRİŞ

Çalışma alanı batı Türkiye'de kuzeyde İzmir-Ankara Zonu ophiolitleri içerisinde bulunan Bursa-Eskişehir krom bölgesi ile güneyde Likya Napı ophiolitleri içerisindeki Fethiye-Köyceğiz krom bölgesini kapsamaktadır (Şekil 1). Bursa Eskişehir krom bölgesinde Eskişehir-Mihalıççık, Kütahya-Tavşanlı, Bursa-Orhaneli, Bursa-Harmancık krom sahalarını incelenirken Fethiye-Köyceğiz krom bölgesinde ise Muğla-Ula, Dalaman, Köyceğiz, Göcek, Fethiye, Denizli-Beyağaç krom sahalarını incelenmiştir (Şekil 1).

Dünya yüzeyinde bazı Alpin tipi krom yataklarının yüksek platin-grubu element konstantrasyona sahip oldukları çok iyi bilinmek-

tedir (Bacuta ve diğ., 1990; Buchanan, 1988; Economou-Eliopoulos, 1996; Naldrett ve Gruenewaldt, 1989; Talkington ve Watkinson, 1986). Economou (1986) Yunanistan'da, Fischer ve diğ., (1988), Leblanc (1991) Fas'ın Bou Azzer masifinde, Page ve Talkington (1984) Newfoundland'de, Page ve diğ., (1986) California ve Oregon'da, Kleser (1994) Alaskanın Tosnia ultramafik kompleksinde platin grubu-element ve krom beraberliğini çok iyi bir şekilde çalışmışlardır. Bu çalışmaların ortak ve genel sonucunda platin-grubu elementlerin (Os, Ir, Ru, Rh, Pt, Pd) ve Au konsantrasyonunun podiform kromitlerde ana kayaç ve yan kayaçlara oranla daha fazla



**Şekil 1: Ophiolitlerin ve krom ocaklarının Batı Türkiye'de dağılımı (Engin ve diğ., 1986 ve Bingöl, 1989'den değiştirilerek).**

**Figure 1: Distribution of ophiolites and chromite districts in western Turkey (modified from (Engin et al., 1986; modified after Bingöl, 1989).**

bulunduğu ortaya konulmuştur. Platin-grubu elementlerin jeolojik ve jeokimyasal verileri bunların podiform kromitlerdeki bağıl konsantrasyonu açıklamada yetersiz veya bilinmemektedir. Örneğin; Yang ve Seccombe (1994) Pt ve Pd'un hidrotermal koşullarda diğer PGE'ye oranla daha fazla hareketli olduğunu belirtken, Mathez ve Peach (1989) ise Ir ve Os mağmatik farklılaşma süresince uyumlu element gibi davranışarak olivinin içerisinde yer aldığı vurgulamıştır. Economou (1993) düşük Pd/Ir oranlı Cr'ca zengin ve Al'ca zengin kromitlerin farklı kökenli ophiolit dilimlerinin yüksek stratigrafik düzeylerde karışması

sonucu oluşan mağmadan türediğini belirtmiştir. Yukarıda özetlenen çalışmalar göstermektedir ki Alpin tipi veya podiform kromitler ophiolitik komplekslerdeki olası PGE cevherleşmesine işaret etmekte ve PGE aramaları için iyi birer hedef alan olabileceğini göstermektedir. Bu tür yataklarının jeolojisini ve jeokimyasının iyi bilinmesi, Alpin tipi kromit yataklarının platin-grubu element zenginleşmesinin ortaya konulması açısından oldukça önemlidir. Bu çalışma ile batı Türkiye'de, kuzeyde İzmir-Ankara Zonu ophiolitleri içerisindeki Bursa-Eskişehir ve güneyde ise İlyka Napi ophiolitlerindeki Fethiye - Köyceğiz

krom bölgelerindeki serpentinleşmiş harzburjıt ve lerzolit, dunit ve peridotitler içerisinde saçılmış 200' e (Engin ve diğ., 1986) yakın krom cevherleşmesinin gözlendiği bölgede gerçekleştirilmiştir.

Ekteki literatürler incelenmesi sonucunda Ülkemizde platin-grubu element-kromit birlikteliği oldukça sınırlı sayıda çalışıldığı anlaşılmıştır. Günümüze dekin bu yönde yapılan en eski çalışma olan Page ve diğ., (1979) ve Page ve diğ., (1984) de Kızıldağ (Hatay) Batı ve Doğu Kef, (Güleman-Elazığ), Pozantı, Karsantı (Adana) kromit ve ultramafik kayaçların platin-grubu element içerikleri belirlenmişlerdir. Os, Ir, ve Ru' un Os-Ir veya sülflü bileşikler şeklinde yüksek sıcaklıklarda kromitlerin kristalleşmesi sırasında hapsolduguunu ve bu nedenle zenginleştiği belirtmektedirler. Buna karşın, Ir'ca zengin podiform kromitlede Pt ve Pd kısmi ergime ile ortamdan uzaklaşmış kromitler içerisinde zenginleşmediği vurgulamaktadır.

Yaman ve Ohnenstetter (1991) Mersin Ofiyoliti'nde, PGE-kromit birliktelini açıklarken kromitlerin platin-grubu element konsantrasyonlarının düşük düzeyde (162-383 ppb) olduğunu ve bu druman podiform kromitler için karakteristik bir özellik olduğu ve bununla beraber Pt ve Pd'un Os ve Ir' dan daha fazla tüketildiğini vurgulamıştır.

Bergmann (1988) ve Cabri ve diğ., (1996) Kazıkkaya-Ortakale (Kars) çayından alınan dere kumu örneklerinde Os, Ir ve az oranda da Ru içeren taneler elde ettiklerini belirtmişlerdir. Platin-grubu element içeren tanelerin büyük olasılıkla Aras dağıındaki serpentinleşmiş ophiolit kompleksinden türediğini belirtmişlerdir.

Proje konu olan çalışma bölgesinde ise MTA ve diğ., (1991) Dalaman ve Marmaris bölgesinde yapılan dere kumu örneklerinde platin-grubu element içeren tanelerin zenginleştirildiğini vurgulamıştır. Yine bölgede Özpeker ve diğ., (1999) Muğla-Fethiye-Köyceğiz bölgelerinde ultramafik kayaçların ve kromitlerin platin-grubu elementlerce zenginleşme gösterdiğini belirtmişlerdir.

Çalışma bölgesinde PGE-kromit birliktelini ortaya konulmasındaki araştırmalarda hidrotermal platin-grubu element zenginleşmesi ilk kez Uçurum ve diğ., (2000)' ce vurgulanmıştır.

## BÖLGESEL JEOLOJİK KONUM

İzmir-Ankara zonu ophiolitleri yüksek basınç-düşük sıcaklık metamorfik kayaç

(glokofan, jadeit, lavsonit içeren) bulundurmaları (Juteau, 1980) ile çalışma alanının güneyindeki Likya Napi ophiolitlerinden farklılık göstermektedir. İzmir-Ankara Zonu ophiolitleri, % 70 oranında ultrabazikler, ile değişen oranlarda harzburjıt ve dunitlerden oluşmaktadır. Ophiolitlerin büyük çoğunluğu ileri derecede serpentinleşmiş olup yer yer metamorfik şistozite göstermektedir (Okay, 1984). Bölgede ultrabazik masif'e eşlik eden mélanj; rekristalize ve tabakalı metagabro, piroksenit, saçınımlı halde dolerit dayakları, devamlılığı olmayan volkanik kayaçlar ve sedimanter birimlerden oluşmaktadır. Mavi-şış fasiyesindeki metamorfik kayaçlar İzmir-Ankara Zonu ophiolitlerinin doğusunda bulunan kısmın hemen kuzyeyinde kesikli yayılım göstermektedir. Ophiolitik kayaçlar diyorit ten granodiyorit ve tonalite dekin değişen bileşimde plutonik kayaçlarca kesilmektedir.

Toros ophiolitik kuşağında ise Alp tektoniğinden etkilenmiş Likya Napi ophiolitleri bulunmaktadır (Şekil 1). Antalya bölgesindeki ophiolitik kayaçlar harzburjistik tektonit, dayak kompleksi ve çok iyi gelişmiş kümülatları bünyesinde bulunmaktadır. Toros ophiolit kuşağındaki masiflerin tamamı Toros karbonat kuşağını überleyen allokon birimler olup kompleks bir nap sisteme aittir. Toros bölgesinde ophiolit yerleşimi Geç Kretase de başlamış olup bölgede tektonizma sonrası ilk transgresif çökelmenin yaşı Paleosen olarak belirlenmiştir (Okay, 1984).

Likya Napi içerisindeki ophiolitler genellikle peridotitidir. 3000 km<sup>2</sup> lik bir alanı kaplayan bu kayaçların kalınlığı 1-2 km arasında değişmektedir. Bu derece büyük ultramafik kütlenin bileşimi ise genellikle karmaşık değildir. Marmaris köfezinde ve Datça yarımadasında ultramafik kayaç kütlesi tamamı ile dunit, harzburjıt ve piroksenitden ibarettir. Yaygın olarak kıvrımlanmış ve foliasyon yapısı gösteren harzburjitlerle lineasyonlu tektonitler yaygındır. Bölgedeki peridotitler kalınlığı 1 ila 10 m arasında değişen sayısız izole dolerit dayaklarında kesilmektedir. Peridotitlerin temelini amfibolit, kuvarsit, mermer ve mikäşitler oluşturmaktadır.

İzmir-Ankara zonu ophiolitleri ile Likya Napi ophiolitleri içerisinde 200'den fazla kromit cevherleşmesi yer almaktadır. Kuzyede İzmir-Ankara zonu ophiolitleri içerisindeki kromitler yoğunlukla dunit ve az oranda da harzburjıt yan kayaçlı iken, güneyde Likya Napi ophiolitleri içerisindeki kromitler ise peridotitler içerisinde saçınımlı halde dağılmışlardır.

Burada ana yan kayaç peridotitler içerisinde kısmen tabakamsı görünümlü düzensiz dunitlerdir. Orhaneli-Bursa bölgesindeki kromitler ise tabakalı yapı sergilemektedir.

## KROMIT VE YANKAYAÇ JEOKİMYASI

### Materyal ve Yöntem

Çalışma bölgesinden toplanan 113 adet cevher ve yan kayaç örnekleri farklı yöntemler kullanılarak incelenmiştir. Cevher mineralojisi paralatma bloklarında üstten aydınlatmalı mikroskop ve Kevex Energy-Dispersive Spectrometer ataçmanlı JEOL 840A taramalı elektron mikroskopu (SEM) kullanılarak gerçekleştirilmiştir. Kayaç tanımlamaları ince kesitlerden itibaren petrografik mikroskop ile yapılırken, alterasyon mineralojisi ise Rigaku marka D-MAX III C X-ray difraktometresi kullanılarak tanımlanmıştır.

Cevher ve yan kayaç örneklerinin Pt, Pd, Rh, Ir ve Au içerikleri grafit fırın (GF) ataçmanlı Atomik Absorbsiyon Spektrometresi (AAS) kullanılarak Nevada Maden ve Jeoloji Dairesi (NBMG-USA) laboratuvarlarında gerçekleştirilmiştir. Her cevher ve yan kayaç toz örneğinden 29.2 alınarak önce 750 °C'de bir gece kurutulmuştur. Daha sonra Haffty ve diğ. (1977) metodu kullanılarak potada eritilen ve Pb fazında toplanan örnekler 2 mgr gümüş ile platin-grubu elementlerce zenginleştirilmiştir (cupelation in silver inquart). Zenginleştirilen bu küçük topçuklar 3 ml'lik hidroklorik asit ve 50 mgr sodyum klorit bulunan teflon beher içerisinde işleme tabi tutulduktan sonra teflon beher 175 °C de çelik kapanlar (Parr bombs) içerisinde bir gece bekletilmiştir. Bu işlem özellikle Ir'un tamamı ile çözeltiye geçmesine yönelikti. Örnek içerisinde var olan altının çözeltiye alınması için çelik kapan açıldıktan sonra 1 ml nitrik asit ilavesi ile 20 dakika sıcaklevha üzerinde işleme tabi tutulmuştur. Daha sonra solüsyon 3N hidroklorik asit ilavesi ile 10 ml'lik çözelti oluşturulmuştur. Bu çözelti IIGA-400 model Grafit Fırın (GF) ataçmalı Perkin-Elmer 2380 Atomik Absorbsiyon Spektrometresi (AAS) kullanılarak platin-grubu elementler ile Au'nın analizi yapılmıştır. Analiz değerlerinin güvenilriği CANMET ve NBMG standartları (Lechler ve Desilites, 1991) kullanılarak kontrol edilmiştir.

Diğer element ve oksitler ise yine Nevada Maden ve Jeoloji Dairesinde (NBMG) bulunan Philips PW 1404 otomatik seri spektrometre ile analiz edilmiştir. 3 gr toz örnek 1.125 gr mikroselüloz ve 5 damla % 3 lük

(wt/vol) polivilin alkol ile karıştırıldıktan sonra 207 Mpa'da 2 dakika sıkıştırılarak bakelit kenarlı pelet hazırlanmıştır. Daha sonra 100 °C de 90 dakika kurutulduktan sonra analiz sırasını beklemek üzere desikatörlere konulmuştur. Bu peletler örneklerin Ni, V, Zn, Cr, Al ve Fe içeriklerinin belirlenmesi için Compton düzeltmesinin yapılması ardından XRF'de okunmuştur. Analiz değerlerinin güvenilriği çok sayıda U.S. Geological Survey standartları kullanılarak kontrolü yapılmış ve doğrulanmıştır.

### Ana Element Jeokimyası

Jeokimyasal analiz sonuçları Tablo 1'de verilmiştir. Çalışma bölgesindeki kromitlerin çoğunuğu  $Fe_2O_3-Al_2O_3-Cr_2O_3$  isimlendirme diyagramında (Şekil 2) ferrikromit olarak adlandırılırken bazı kromitler ise aliminyum kromit olarak isimlendirilmişlerdir.  $Fe^{+3}-Cr^{+3}-Al^{+3}$  bileşenli Startiform-Podiform ayırtman üçgen diyagramında (Şekil 3) batı Türkiye kromitleri yüksek Fe içeriği nedeni ile  $Fe^{+3}-Cr^{+3}$  çizgisine parel bir şekilde dağılım gösterirken, bir kaç nokta ise yüksek Cr içeriği nedeni ile podiform (Alpin tipi) kromit bölgesine yerleştirilmiştir. Kondrit normalize edilmiş dağılım diyagramında (Şekil 4) Co, Ni, V ve Zn serpentinleşmiş yan kayaç'a oranla kromitler içerisinde zenginleşmiştir (kromit için ortalama değerler-ppm olarak; Co= 128.57, Ni= 2648.05, V= 348.58, Zn = 205.99). Kromitlerin ve serpentinleşmiş yan kayaçların Cu oranları birbirine oldukça yakındır (ortalama değerler; kromit için 24.8 ppm iken yan kayaç için 23.61 ppm dir). Sadece Fe kromitlere oranla serpentinleşmiş yan kayaçlar içerisinde zenginleşmiştir (ortalama değerler; kromitler için 41548.56 ppm iken serpentinleşmiş yan kayaçlar için 75083.31 ppm dir). Kromitlerin V ve Cr içerikleri kondrite göre zenginleşme göstermektedir.

### Kromitlerin Platin-Grubu Element (PGE) Dağılımları

Platin-grubu element zenginleşmesi genellikle büyük ölçekli tabakalı mafik-ultramafik intrüzyonlar (Stilwatter ve Bushveld) veya komatifitik karekterli yeşil kayaç (greenstone) içerisindeki kromit ve nikel sülfür cevherleşmesi ile birlikte görülürler (Naldrett, 1993). Ofiyolitik kompleksler içerisinde platin-grubu element zenginleşmesi çok zayıftır. Ancak, podiform kromitler içerisindeki zenginleşmeler az da olsa birçok bölgede

Tablo 1: Batı Türkiye kromitteri ve serpentinlezmiş-klorittenmiş yan kayaclarının ana-metal ve platin-grubu element (PGE)-Au içeriğleri.  
 Table 1: Base metals and PGE-Au concentrations of chromites and associated serpentized-chloritized host rocks from western Turkey.

Örnek No	Element	Analitik Metod	Co XRF ppm	Cu XRF ppm	Ni XRF ppm	V XRF ppm	Zn XRF ppm	Cr XRF ppm	Al XRF ppm	Fe XRF ppm	Pt AAS-GF ppb	Pd AAS-GF ppb	Rh AAS-GF ppb	Ir AAS-GF ppb	Au AAS-GF ppb
	Birim														
<b>Kromit Cevheri-Lokasyon</b>															
MİH-2	Eskişehir-Mihalılıçık-Kavak-Merkz	138	35	2480	372	182	210000	17675	47839	51	21	6	50	134	
MİH-5	Eskişehir-Mihalılıçık-Kavak-Bögürten	134	21	1940	433	207	302000	20745	38817	<10	6	<5	<50	<100	
MİH-6	Eskişehir-Mihalılıçık-Kavak-Bögürten	141	25	2790	421	197	288000	21168	39166	<10	9	<5	<50	<100	
MİH-7	Eskişehir-Mihalılıçık-Kavak-Bögürten	148	26	1750	446	222	321000	22385	38467	<10	<5	<5	<50	<100	
MİH-10	Eskişehir-Mihalılıçık-Kavak-Büyüük	131	30	2330	349	221	237000	17675	43922	<10	5	<5	<50	<100	
MİH-12	Eskişehir-Mihalılıçık-Kavak-Büyüük	119	26	2160	208	118	132000	14394	52525	14	9	6	55	117	
MİH-13	Eskişehir-Mihalılıçık-Kavak-Bahiyar	107	23	2480	304	135	200000	16987	35849	<10	33	8	52	110	
MİH-14	Eskişehir-Mihalılıçık-Kavak-Camasırhane	138	45	1840	464	224	301000	31170	55532	<10	5	<5	<50	<100	
MİH-15	Eskişehir-Mihalılıçık-Kavak-Çamısaşırhane	99	19	3090	278	110	188000	17199	39376	<10	<5	<5	<50	<100	
TAV-17	Kütahya-Tavşanlı-Karakaya-Karakaya	156	26	2230	281	237	336000	21274	37348	<10	<5	<5	<50	<100	
TAV-18	Kütahya-Tavşanlı-Karakaya-Karakaya	159	28	1560	326	252	396000	30059	39027	<10	<5	21	<50	<100	
TAV-19	Kütahya-Tavşanlı-Karakaya-Karakaya	146	18	1360	317	292	384000	29000	38047	<10	<5	<5	<50	<100	
TAV-20	Kütahya-Tavşanlı-Karakaya-Esen	52	13	835	86	75	116000	15823	24549	<10	11	<5	<50	<100	
TAV-21	Kütahya-Tavşanlı-Karakaya-Esen	113	26	3550	178	134	201000	16723	37907	<10	<5	<5	<50	<100	
TAV-22	Kütahya-Tavşanlı-Karakaya-Esen	126	24	2080	197	242	214000	19157	37977	<10	<5	<5	<50	<100	
TAV-23	Kütahya-Tavşanlı-Karakaya-Esen	158	27	1730	330	256	365000	26725	40895	<10	<5	<5	<50	<100	
MİR-25	Bursa-Harmancık-Miram-Barajönü	148	36	3480	260	206	318000	20639	37348	<10	<5	<5	<50	<100	
MİR-26	Bursa-Harmancık-Miram-Barajönü	140	25	3590	265	194	301000	19898	36299	<10	<5	<5	<50	<100	
MİR-27	Bursa-Harmancık-Miram-Barajönü	126	30	3980	217	192	256000	17940	37278	<10	11	<5	<50	<100	
MİR-28	Bursa-Harmancık-Miram-Barajönü	120	31	2870	194	167	257000	17622	36649	<10	7	<5	<50	<100	
ORH-29	Bursa-Orhaneli-Cöreler-Baykara	97	11	3440	91	58	94700	13971	42104	<10	<5	<5	<50	<100	
ORH-32	Bursa-Orhaneli-Çöreler-Baykara	96	13	3380	100	65	107000	13918	42524	<10	<5	<5	<50	<100	
ORH-33	Bursa-Orhaneli-Çöreler-Baykara	90	18	3620	119	119	141000	15770	44832	<10	<5	<5	<50	<100	
ORH-34	Bursa-Orhaneli-Göynükbelen-Türkmen	137	28	3550	152	400	136000	16246	54273	<10	<5	<5	<50	<100	
ORH-35	Bursa-Orhaneli-Göynükbelen-Türkmen	71	22	2680	189	794	152000	16564	67982	<10	13	<5	<50	<100	
ORH-36	Bursa-Orhaneli-Göynükbelen-Türkmen	151	28	2580	272	606	231000	18945	53994	<10	<5	<5	<50	<100	
ORH-37	Bursa-Orhaneli-Göynükbelen-Türkmen	130	19	3980	132	454	110000	14976	69450	<10	<5	<5	<50	<100	
ORH-38	Bursa-Orhaneli-Göynükbelen-Türkmen	134	26	2470	190	894	171000	16834	71339	<10	7	<5	<50	<100	
ORH-39	Bursa-Orhaneli-Göynükbelen-Türkmen	90	7	2930	86	40	72100	13018	48538	<10	<5	<5	<50	<100	
HAR-40	Bursa-Orhaneli-Harmancık-Kozluca	97	4	3020	62	47	75900	13177	50846	<10	<5	<5	<50	<100	
HAR-41	Bursa-Orhaneli-Harmancık-Kozluca	74	11	4190	53	44	68600	12812	42454	<10	<5	<5	<50	<100	
HAR-42	Bursa-Orhaneli-Harmancık-Kozluca	131	17	3130	202	147	190000	16881	40425	<10	<5	<5	<50	<100	
HAR-43	Bursa-Orhaneli-Harmancık-Kozluca	110	21	4400	125	110	140000	14976	39306	<10	<5	<5	<50	<100	
HAR-44	Bursa-Orhaneli-Harmancık-Aluçra	205	30	1140	425	407	380000	29265	41964	<10	<5	<5	<50	<100	
HAR-45	Bursa-Orhaneli-Harmancık-Aluçra	130	30	1850	192	269	248000	16829	39446	<10	<5	<5	<50	<100	
HAR-46	Bursa-Orhaneli-Harmancık-Aluçra	163	33	1050	315	384	36900	23338	37977	<10	<5	<5	<50	<100	
TAV-47	Kütahya-Tavşanlı-Madamlar	93	25	2630	258	139	156000	19210	45321	<10	<5	<5	<50	<100	
TAV-48	Kütahya-Tavşanlı-Madamlar	136	21	3400	230	165	243000	16670	36299	<10	<5	<5	<50	<100	
TAV-49	Kütahya-Tavşanlı-Madamlar	168	27	2120	567	298	279000	33657	47140	15	16	<5	<50	<100	

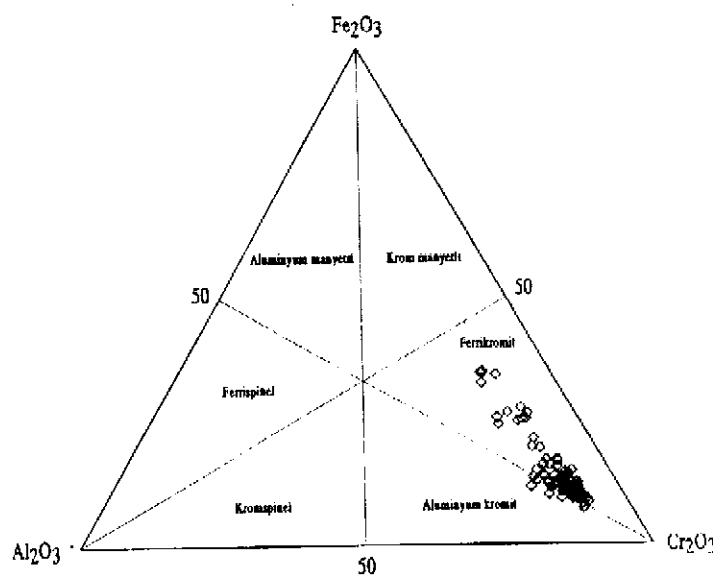
Tablo 1 devam ediyor  
Table 1 continued

Örnek No	Element	Analitik Metod	Birim	Co XRF ppm	Cu XRF ppm	Ni XRF ppm	V XRF ppm	Zn XRF ppm	Cr XRF ppm	Al XRF ppm	Fe XRF ppm	Pt XRF ppm	Pd XRF ppm	Rh XRF ppm	Ir AAS-GF ppb	Au AAS-GF ppb
<b>Kromit Cevheri-Lokasyon</b>																
ACP-50	Denizli-Acipayam-Karaismailler-Sugözü	132	23	3080	457	171	260000	23444	40495	<10	15	<5	<5	<5	<100	<100
ACP-51	Denizli-Acipayam-Karaismailler-Sugözü	108	25	1710	407	170	256000	33498	34271	<10	<5	<5	<5	<5	<100	<100
ACP-52	Denizli-Acipayam-Karaismailler-Topaklı	151	25	3340	418	174	278000	22967	37068	<10	<5	<5	<5	<5	<100	<100
ACP-53	Denizli-Acipayam-Karaismailler-Topaklı	148	26	2210	438	213	332000	29318	38747	<10	<5	<5	<5	<5	<100	<100
ACP-54	Denizli-Acipayam-Karaismailler-Özcan	134	21	2740	546	199	320000	26301	37208	<10	<5	<5	<5	<5	<100	<100
ACP-55	Denizli-Acipayam-Karaismailler-Özcan	138	26	2140	399	193	312000	24767	36509	<10	<5	<5	<5	<5	<100	<100
ACP-56	Denizli-Acipayam-Karaismailler	144	29	1750	422	218	264000	29529	41474	<10	<5	<5	<5	<5	<100	<100
ACP-57	Denizli-Acipayam-Karaismailler-Kadem	115	20	3380	361	154	262000	22385	35390	<10	<5	<5	<5	<5	<100	<100
ACP-58	Denizli-Acipayam-Karaismailler-Kadem	125	28	2330	330	190	291000	24132	36988	<10	<5	<5	<5	<5	<100	<100
ACP-60	Denizli-Acipayam-Karaismailler-Güneskuy	123	24	3990	351	150	221000	27942	42593	<10	<5	<5	<5	<5	<100	<100
ACP-61	Denizli-Acipayam-Karaismailler-Güneskuy	102	14	3770	246	106	173000	19898	39027	<10	<5	<5	<5	<5	<100	<100
ACP-63	Denizli-Acipayam-Karaismailler	135	31	1880	361	182	245000	25907	39656	<10	<5	<5	<5	<5	<100	<100
ACP-64	Denizli-Acipayam-Karaismailler-Yarma	128	25	2940	350	201	254000	26195	40705	<10	6	<5	<5	<5	<100	<100
ACP-65	Denizli-Acipayam-Karaismailler-Yarma	103	25	3510	258	113	184000	18840	40705	<10	<5	<5	<5	<5	<100	<100
ACP-66	Denizli-Acipayam-Karaismailler-Yarma	117	24	2880	296	157	247000	21803	39166	<10	8	<5	<5	<5	<100	<100
ACP-67	Denizli-Acipayam-Karaismailler-Gemidere	115	13	2950	318	151	231000	22438	40285	<10	<5	<5	<5	<5	<100	<100
ACP-68	Denizli-Acipayam-Karaismailler-Gemidere	120	28	2810	322	144	234000	22173	41055	<10	<5	<5	<5	<5	<100	<100
ACP-69	Denizli-Acipayam-Karaismailler-Sıhreman	115	37	2980	305	148	246000	22332	35879	<10	<5	<5	<5	<5	<100	<100
ACP-70	Denizli-Acipayam-Karaismailler-Sıhreman	116	22	3880	297	134	239000	22544	36019	<10	<5	<5	<5	<5	<100	<100
ACP-71	Denizli-Acipayam-Karaismailler-Sıhreman	127	21	2550	384	175	248000	19686	42454	<10	<5	<5	<5	<5	<100	<100
ACP-72	Denizli-Beyağaç-Uzunoluk-Merkез	110	25	3540	325	151	244000	19051	35530	<10	<5	<5	<5	<5	<100	<100
BEY-73	Denizli-Beyağaç-Uzunoluk-Merkез	111	19	3190	365	161	276000	23232	34341	<10	<5	<5	<5	<5	<100	<100
BEY-74	Denizli-Beyağaç-Uzunoluk-Merkез	135	22	1650	473	215	246000	22332	35879	<10	<5	<5	<5	<5	<100	<100
BEY-75	Denizli-Beyağaç-Uzunoluk-Sarbaşı	136	23	3260	417	259	257000	31593	42803	<10	<5	<5	<5	<5	<100	<100
BEY-76	Denizli-Beyağaç-Kozlak-Karapınar	141	20	3260	462	247	236000	29212	44552	<10	9	<5	<5	<5	<100	<100
BEY-77	Denizli-Beyağaç-Kozlak-Karapınar	135	33	2580	443	189	277000	18099	43643	<10	10	<5	<5	<5	<100	<100
BEY-78	Muğla-Koyceğiz-Karain	154	35	2890	361	234	264000	17040	51056	<10	<5	<5	<5	<5	<100	<100
ULA-79	Muğla-Ula-Yörüköglü-Akçalan	156	26	2620	569	229	363000	24925	41964	<10	<5	<5	<5	<5	<100	<100
ULA-80	Muğla-Ula-Karabögürten-Biticealan	129	36	1190	414	234	254000	21327	44412	<10	<5	<5	<5	<5	<100	<100
ULA-81	Muğla-Ula-Karabögürten-Kandak	152	24	2000	530	234	289000	22015	40285	<10	<5	<5	<5	<5	<100	<100
GÖC-82	Muğla-Koyceğiz-Karain	133	22	3680	250	136	247000	18787	36299	<10	<5	<5	<5	<5	<100	<100
GÖC-83	Muğla-Koyceğiz-Karain	125	37	3320	257	151	257000	19475	33571	<10	<5	<5	<5	<5	<100	<100
GÖC-84	Muğla-Dalaman-Üçköprü-Kirtepe	118	26	3020	436	160	244000	22121	40845	<10	<5	<5	<5	<5	<100	<100
GÖC-85	Muğla-Dalaman-Üçköprü-Kirtepe	119	23	3030	428	174	252000	22121	39166	<10	<5	<5	<5	<5	<100	<100
GÖC-86	Muğla-Dalaman-Sarıkaya	152	30	1890	679	269	261000	37414	46930	<10	9	8	25	25	100	100
GÖC-87	Muğla-Dalaman-Sankaya	161	22	2000	941	323	303000	49110	49448	20	22	6	55	55	110	110
GÖC-88	Muğla-Fethiye-Çengel-Keseraltı	138	22	2130	356	185	313000	24661	39726	<10	<5	<5	<5	<5	<100	<100
GÖC-89	Muğla-Fethiye-Çengel-Keseraltı	126	26	2480	348	167	294000	35220	36579	<10	<5	<5	<5	<5	<100	<100
GÖC-90	Muğla-Fethiye-Esenköy-Kutluocak	142	33	2670	357	191	23020	323549	36579	<10	8	<5	<5	<5	<100	<100
GÖC-91	Muğla-Fethiye-Esenköy-Kutluocak	124	23	2610	314	159	306000	32920	36579	<10	8	<5	<5	<5	<100	<100

Tablo 1 devam ediyor  
Table 1 continued

Örnek No	Element	Analytic Method	Co XRF ppm	Cu XRF ppm	Ni XRF ppm	V XRF ppm	Zn XRF ppm	Cr XRF ppm	Al XRF ppm	Fe XRF ppm	Pt AAS-GF ppb	Pd AAS-GF ppb	Rh AAS-GF ppb	Ir AAS-GF ppb	Au AAS-GF ppb
<b>Kromit Cevheri-Lokasyon</b>															
DAL-93	Muğla-Dalaman-Güneylik-Harmancık		139	24	1770	357	195	366000	27995	32102	4230	15100	77	51	134
DAL-94	Muğla-Dalaman-Güneylik-Harmancık		151	33	1600	403	214	381000	29529	33291	4000	14800	50	50	100
DAL-95	Muğla-Dalaman-Karadünek		123	20	2800	301	130	130000	23496	56791	<10	18	45	<50	<100
DAL-96	Muğla-Dalaman-Karadünek		106	24	2300	309	140	130000	24449	54064	<10	11	<5	<50	<100
FET-97	Muğla-Fethiye-Karaçedik-Sazlı		146	21	2580	636	261	248000	36991	47899	15	13	9	50	100
FET-98	Muğla-Fethiye-Karaçedik-Sazlı		141	13	2480	651	229	300000	30482	40985	31	11	7	54	100
DAL-99	Muğla-Dalaman-Uludemir		111	24	3250	324	132	238000	22544	36439	<10	<5	<5	<50	<100
DAL-100	Muğla-Dalaman-Uludemir		129	26	2740	285	149	267000	22279	37418	<10	<5	<5	<50	<100
DAL-101	Muğla-Dalaman-Üçköprü-Andızlık		139	26	3590	433	190	296000	27042	37838	<10	6	<5	<50	<100
DAL-102	Muğla-Dalaman-Üçköprü-Andızlık		120	18	3380	312	156	277000	22703	35320	<10	5	<5	<50	<100
DAL-103	Muğla-Fethiye-Yanıklar-Yemişli		136	31	1740	461	196	335000	30059	40775	<10	<5	<5	<50	<100
DAL-104	Muğla-Fethiye-Yanıklar-Yemişli		116	32	3250	364	158	288000	22015	33781	<10	<5	<5	<50	<100
DAL-105	Muğla-Fethiye-Karaçedik-Roz		130	25	3070	352	151	292000	27042	37778	<10	<5	<5	<50	<100
DAL-106	Muğla-Fethiye-Karaçedik-Roz		135	29	2430	394	189	275000	29847	44132	<10	<5	<5	<50	134
DAL-107	Muğla-Dalaman-İlkdere		108	27	2990	215	107	171000	17993	40845	<10	<5	<5	<50	<100
DAL-108	Muğla-Dalaman-İlkdere		120	38	3190	337	154	234000	21168	38257	<10	<5	<5	<50	<100
DAL-109	Muğla-Dalaman		157	32	1550	515	240	315000	30111	41894	<10	<5	<5	<50	<100
KÖY-110	Muğla-Köyceğiz-Güneylik-Gülburlu		160	22	1680	771	278	346000	37520	41754	<10	<5	<5	<50	<100
KÖY-111	Muğla-Köyceğiz-Güneylik-Gülburlu		135	24	2120	715	244	330000	27465	39236	<10	<5	<5	<50	<100
KÖY-112	Muğla-Köyceğiz-Güneylik-Gülburlu		114	25	2350	317	143	266000	25777	38117	<10	11	<5	<50	<100
KÖY-113	Muğla-Köyceğiz-Güneylik-Gülburlu		147	27	1380	729	229	297000	35721	45881	<10	<5	<5	<50	<100
Toplam			12857	2480	264805	34858	20599	20599	250953	2301385	4154856	—	—	—	—
<b>Ortalama</b>															
<b>Serpantinleşmiş-Klöitleşmiş Yan Kayaç</b>															
MİH-1	Eskişehir-Mihalıççık-Kavak-Merkez		115	26	1880	384	203	231000	18363	44202	<10	<5	<5	<50	<100
MİH-3	Eskişehir-Mihalıççık-Kavak-Merkez		107	3	1610	3	24	3800	11537	86726	<10	16	<5	<50	<100
MİH-4	Eskişehir-Mihalıççık-Kavak-Merkez		106	3	1840	5	30	4000	11537	83928	<10	<5	<5	<50	<100
MİH-8	Eskişehir-Mihalıççık-Kavak-Büyürtten		79	33	2140	28	30	24800	12013	74136	<10	20	<5	<50	<100
MİH-9	Eskişehir-Mihalıççık-Kavak-Büyürtten		99	41	3820	53	37	38000	12277	72038	<10	<5	<5	<50	<100
MİH-11	Eskişehir-Mihalıççık-Kavak-Büyükt		105	2	2760	1	25	4500	11695	81130	<10	<5	<5	<50	<100
TAV-16	Kütahya-Tavşanlı-Karakaya-Karakaya		34	26	60	269	55	600	63504	79732	<10	10	<5	<50	<100
TAV-24	Kütahya-Tavşanlı-Karakaya-Esen		38	87	314	381	83	400	58212	95118	<10	<5	<5	<50	<100
ORH-30	Bursa-Orhaneli-Cöreler-Baykara		90	8	3260	74	48	65400	12860	50147	<10	<5	<5	<50	<100
ORH-31	Bursa-Orhaneli-Cöreler-Baykara		85	8	3960	50	28	46200	12383	52945	<10	<5	<5	<50	<100
ACP-59	Denizli-Açipayam-Karaismaller		109	10	2250	25	38	3200	13071	83229	<10	<5	<5	<50	<100
ACP-62	Denizli-Açipayam-Karaismaller-Güneşkuy		109	5	2410	17	38	3200	12225	82329	<10	8	<5	<50	<100
GÖC-92	Muğla-Fethiye		37	55	45	328	73	700	62975	90223	<10	<5	<5	<50	<100
Toplam			1113	307	26349	1618	712	425890	312652	976083	—	—	—	—	—
ortalama			85.61538	23.61538	2056.846	124.4615	54.76923	32753.85	24050.15	75063.31	—	—	—	—	—

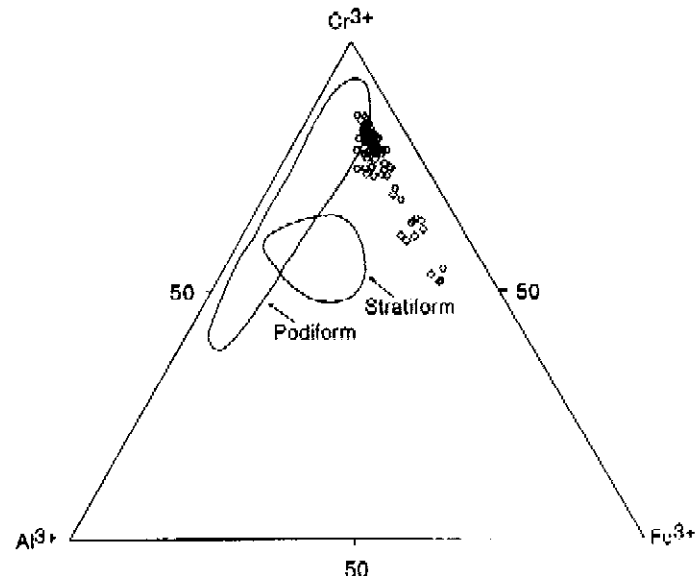
AAS-GF: Grafit fırın atacılıklı atomik absorbsiyon spektrometresi, XRF: X-ışını fluoresans spektrometresi



**Şekil 2:** Batı Türkiye kromitlerinin  $\text{Fe}_2\text{O}_3$ - $\text{Al}_2\text{O}_3$ - $\text{Cr}_2\text{O}_3$  isimlendirme diyagramında tanımlanması (Diyagram Stevens, 1944 den alınmıştır).

**Figure 2:** Nomenclature of chromitites from western Turkey on the  $\text{Fe}_2\text{O}_3$ - $\text{Al}_2\text{O}_3$ - $\text{Cr}_2\text{O}_3$  ternary diagram (after Stevens, 1944).

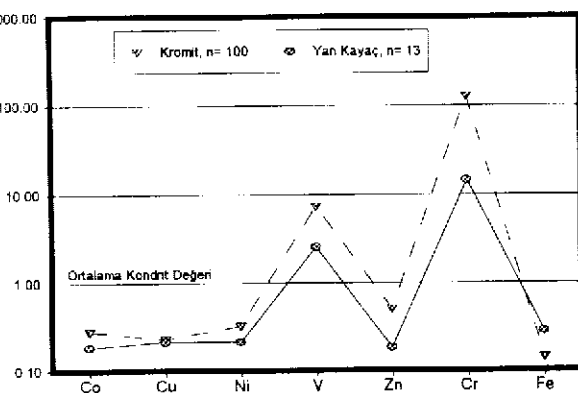
belirlenmiştir (Mathez ve Peach, 1989; Naldrett ve Gruenewaldt, 1989; Page ve diğ., 1986). Platin-grubu element açısından stratiform ve Podiform kromitler kolaylıkla ayırtlanırlar. Stratiform kromitler Pt-Pd-Rh'ce zengin ve kondrit normalize paternlerde kuvvetli pozitif değerlere sahip iken Podiform kromitlere ait kondrit normalize paternler ise genelde negatif değerler sunmaktadır (Naldrett ve Gruenewaldt, 1989; Talkington ve Watkinson, 1986). Son çalışmalar göstermektedir ki damar, kırık ve makaslama zonlarında magmatik olmayan sülürler veya arsenidler ve lisvenitler içerisinde platin-grubu elementler geç evre hidrotermal çözeltilerce yeniden hareketlilik kazanarak çökelmişlerdir (Rowell ve Edgar, 1986; Lechler, 1995). Tablo 1 de görüldüğü gibi kromitlerin çoğunluğunun PGE ve Au içerikleri analitik metodun dedeksyon limitleri altındadır. Bu nedenle farklı örneklerin PGE ve ana-metal içeriklerinin karşılaştırılması kondrit normalize paternlerde yapılması en iyi yoldur. Çalışma bölgesinde sadece dört kromit cevherleşmesi PGE ve Au bakımından zenginleşme göstermektedir. Bunlar Kavak (Mihalıççık- Eskişehir), Harmancık (Dalaman-



**Şekil 3:** Batı Türkiye kromitlerinin  $\text{Cr}^{3+}$ - $\text{Al}^{3+}$ - $\text{Fe}^{3+}$  üçgen Stratiform-Podiform ayırtman diyagramındaki dağılımları (Diyagram Dickey, 1975 den alınmıştır).

**Figure 3:** Plot of the chromitites from western Turkey on the  $\text{Cr}^{3+}$ - $\text{Al}^{3+}$ - $\text{Fe}^{3+}$  ternary diagram for stratiform podiform discrimination (after Dickey, 1975).

Muğla), Sarıkaya (Dalaman-Muğla) ve Sazlı (Fethiye-Muğla) krom madenleri olup Şekil 5 de kondrit normalize Pt, Rh, Ir, Au, Co, Cu, Ni, V, Zn, Cr ve Fe dağılımı görülmektedir. Harmancık (Dalaman-Muğla) örnekleri Pt ve Pd bakımından önemli ölçüde bir zenginleşmeyi işaret etmektedir. Diğer kromit örneklerde kondrit'e oranla bir zenginleşme göstermektedir. İlkSEL manto normalize dağılım diyagramında (Şekil 6) Harmancık madeni örnekleri Pt, Pd ve Ir' ca bir zenginleşmeyi işaret etmektedir (Ortalama değerler ppb olarak: Pt, 4115; Pd, 14950; Rh, 63.50; Ir, 50.50; Au, 117). Bu diyagramda diğer madenler için ortalama değerler şunlardır: Kavak madeni (ppb olarak, Pt, 49.33; Pd, 21; Rh, 6.67; Ir, 52.33; Au, 120.33), Sarıkaya madeni (ppb olarak, Pt, 22; Pd, 15.50; Rh, 7; Ir, 40; Au, 105) ve Sazlı madeni (ppb olarak, Pt, 23; Pd, 12; Rh, 8; Ir, 52; Au, 100). Ru den Pd ve Au doğru olan negatif değerleri sergileyen patternler Podiform kromitler için karakteristik (Talkington ve Watkinson, 1986). Şekil 5 ve 6 daki kromit paternleri PGE ve Au'nın magmatik



**Şekil 4:** Batı Türkiye kromit ve yan kayaçlarının kondrit normalize ana-metal paternleri. Normalize değerler Wood ve diğ., (1979) ile Sun, (1982) den. Veriler Tablo 1 den alınmıştır.

**Figure 4:** Chondrite normalized base metal patterns of chromitites and associated host rocks from western Turkey. Normalizing constants are from Wood et al., 1979; Sun, 1982. Data are from Table 1.

değil hidrotermal çözeltilerce zenginleştiğinin göstergesi olarak kabul edilebilir. Cevher ve taramalı elektron mikroskopisi (SEM) çalışmaları bu öneriyi destekler veriler sunmaktadır. PGE içeren hezlawodit ( $\text{Ni}_3\text{S}_2$ ) pentlandit ( $(\text{Ni},\text{Fe},\text{Co})_9\text{S}_8$ ) ve bravoit ( $(\text{Fe},\text{Ni},\text{Co})\text{S}_2$ ) ve Au taneleri kromitler ve gang mineralerleri içerisindeki mikro kırık ve çatlaklarda çökelmiştir (Şekil 7).

Gerek kromitlerde ve gerekse gang mineralerlerdeki kırık ve çatlaklar çoğunlukla serpentinit ve kloritlerce doldurulmuştur.

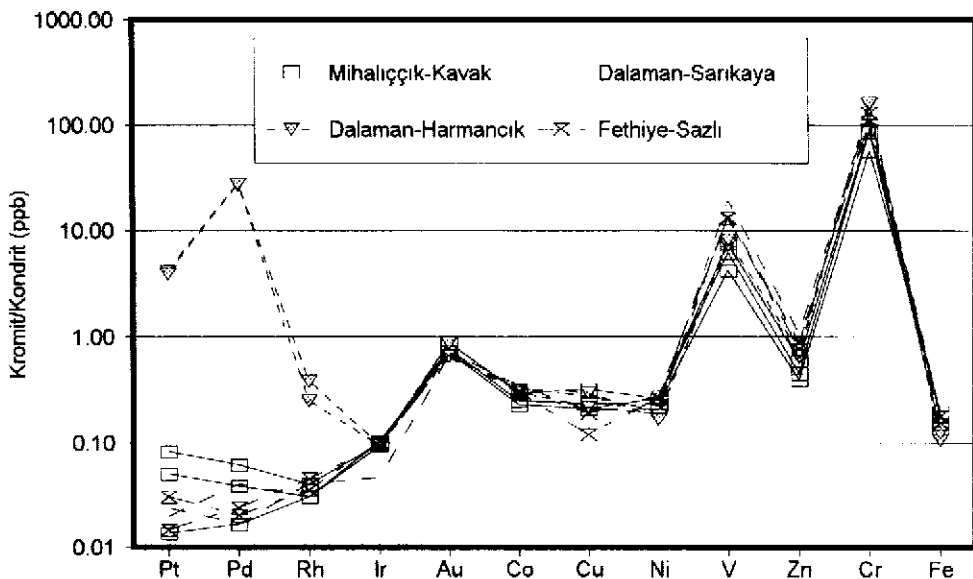
## YORUM VE TARTIŞMA

Hidrotermal PGE cevherleşmesi dünyada oldukça iyi bilinen konular arasına girmeye aday bir konudur (Lechler, 1995). Çalışma bölgesinde serpentinleşme sırasında düşük sıcaklıklarda ( $< 250^\circ\text{C}$ ) ve büyük miktarlarda denizel kökenli suyun katkısı ile (Bonatti ve diğ., 1983) ilksel mineraler

bozunarak serpentinleşme oluşmuştur. Bu evrede ilk ve kolaylıkla bozunanlar çatlak dolgusu şeklindeki sülürler ve arsenidlerdir. İspanya, Yunanistan ve Cezayir deki peridotitlerin çalışılmasında, Pt, Pd ve Au'nın magmatik Ni-Fe sülürler ve arsenidler içerisinde kromit kristalizasyonu sırasında erken magmatik süreçler ile zenginleştiğini ve bu zenginleşmenin PGE fraksiyonelleşmesi ile ilgili olmadığı belirlenmiştir (Leblanc, 1991). Benzer süreç ofiyolitik komplekslerdeki Au'nın konsantrasyonu (Leblanc, 1991), ve Urallar daki serpentinitler içerisinde Co ve Ni'nin dağılımları (Edel'steyn ve Plipenko, 1978) içinde geçerlidir. Kavak (Mihalıççık-Eskişehir), Harmancık (Dalaman - Muğla), Sarıkaya (Dalaman-Muğla) ve Sazlı (Fethiye-Muğla) krom madeni ömeklerindeki yüksek orandaki PGE ve Au değerleri olasılıkla birincil sülürler ve arsenidlerden denizel kökenli (Bischoff ve Seyfried, 1978) ve asidik karekterli sularca çözülmüş, daha sonra Cl, S ve As kompleksleri şeklinde taşınmışlardır. Sonra olivinin bozunarak serpentinite mineralini oluşturmaması sırasında ortamın oksijen fugasitesinin düşmesine neden olarak PGE ve Au'nın hezlawodit, pentlandit ve bravoit bünyesinde çökelmesine olanak sağlamıştır. Serpentinleşmeının geç evrelerinde  $\text{CO}_2$  ve  $\text{SiO}_2$  ce zengin çözeltiler serpentinitler ile reaksiyona girerek lisvenitleri oluşturmuştur (Uçurum ve Larson, 1999). Bu tür bir hidrotermal süreç de bazı PGE ve Au sülürlerinin bünyesinde zenginleşebilir. Analiz sonuçları ve cevher mikroskopisi (SEM destekli) çalışmalarına göre PGE-Au, Co ve Ni serpentinitlerde gelişen güzel dağılmış ve sonra sülürlerin bünyesinde, 150-300 °C (Fischer ve diğ., 1988; Lechler, 1995; Mountain ve Wood, 1988) arasındaki sıcaklıklarda hidrotermal çözeltilerce çökeltilmiştir.

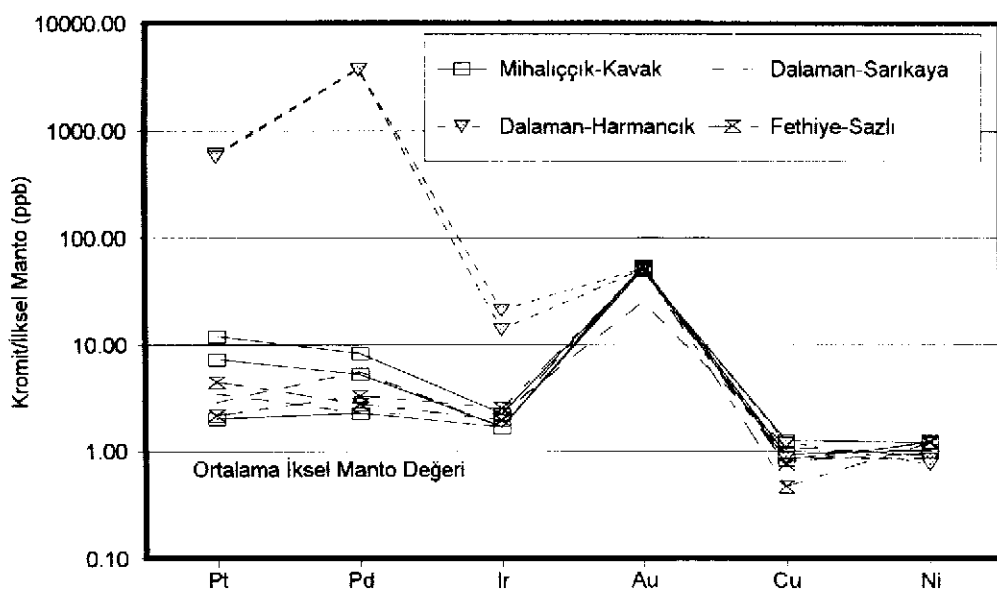
## SONUÇLAR

- Genellikle Batı Türkiye deki kromitlerin PGE ve Au içerikleri oldukça düşüktür. Fakat, Kavak (Mihalıççık-Eskişehir), Harmancık(Dalaman-Muğla), Sarıkaya (Dalaman-Muğla) ve Sazlı (Fethiye-Muğla) krom madenleri PGE ve Au içeren sülürlerce zengindir. Bu dört madenin PGE-Au ve diğer ana-metal değerleri (Şekil 5, 6) Podiform kromitlerin tipik PGE özellikleri (Talkington ve Watkinson, 1986) ile örtüşmemektedir.



**Şekil 5:** Kavak (Mihalıçık-Eskişehir), Harmancık (Dalaman-Muğla), Sarıkaya (Dalaman-Muğla) ve Sazlı (Fethiye-Muğla) kromit örneklerinin kondrit normalize ana-metal ve PGE-Au paternleri. Normalize değerler Wood ve dig., (1979), Sun (1982), Naldrett ve Duke (1980) den alınmıştır. Veriler Tablo 1 den alınmıştır.

**Figure 5:** Chondrite normalized base metal and PGE-Au patterns of chromitites from Kavak, Sarıkaya, Harmanick and Sazlı chromite mines, western Turkey. Normalizing constants are from Wood et al., 1979; Sun, 1982; Naldrett and Duke, 1980. Data are from Table 1.



**Şekil 6:** Kavak (Mihalıçık-Eskişehir), Harmancık (Dalaman-Muğla), Sarıkaya (Dalaman-Muğla) ve Sazlı (Fethiye-Muğla) kromit örneklerinin ilksel manto normalize Pt, Pd, Ir, Au, Cu ve Ni paternleri. Normalize değerler Brugman ve dig., (1987), Jargoutz ve dig., (1979) den alınmıştır. Veriler Tablo 1 den alınmıştır.

**Figure 6:** Primitive mantle normalized Pt, Pd, Ir, Au, Cu, and Ni patterns of chromitites from Kavak, Sarıkaya, Harmanick and Sazlı chromite mines, western Turkey. Normalizing constants are from Brugman et.al., 1987; Jargoutz et al., 1979.

**Şekil 7: Batı Türkiye kromit cevherlerindeki nikel sülfür ve altın minerallerinin tek nikoldeki mikrofotoğrafları:** A-) Kromit çatlaklarındaki Bravot minerali, örnek no. MİH-2, Kavak madeni; B-) Kromit çatlaklarındaki hezlawodit minerali, örnek no. MİH-13, Kavak madeni; C-) Serpantinleşmiş ve kloritleşmiş yan kayaç içerisinde hezlawodit minerali, örnek no. GÖC-86, Sarıkaya madeni; D-) Serpantinleşmiş ve kloritleşmiş gang minerali içerisinde pentlandit minerali, örnek no. FET-97, Sazlı madeni; E-) Serpantinleşmiş ve kloritleşmiş gang minerali içerisinde altın tanesi, örnek no. GÖC-87, Sarıkaya madeni; F-) Serpantinleşmiş ve kloritleşmiş gang minerali içerisinde bravot minerali, örnek no. DAL-93, Harmancık madeni; G-) Serpantinleşmiş ve kloritleşmiş gang minerali içerisinde deform olmu ve uzamiş pentlandit minerali, örnek no. DAL-94, Harmancık madeni; H-) Serpantinleşmiş ve kloritleşmiş gang minerali içerisinde altın tanesi, örnek no. DAL-93, Harmancık madeni.

**Figure 7: Photomicrographs of nickel sulfide and gold minerals in chromite ores under plane polarized light from western Turkey:** A-) Bravotite inside cracks of chromite, sample MİH-2, Kavak mine; B-) Heazlewoodite in crack of chromite, sample MİH-13, Kavak mine; C-) Heazlewoodite in serpentinized and chloritized gaungue minerals, sample GÖC-86, Sarıkaya mine; D-) Pentlandite in serpentinized and chloritized gaungue minerals, sample FET-97, Sazlı mine; E-) Gold grain in serpentinized and chloritized gaungue minerals, sample GÖC-87, Sarıkaya mine; F-) Bravotite in serpentinized and chloritized gaungue minerals, sample DAL-93, Harmancık mine; G-) Deformed and elongated pentlandite in serpentinized and chloritized gaungue minerals, sample DAL-94, Harmancık mine; H-) Gold grain in serpentinized and chloritized gaungue minerals, sample DAL-93, Harmancık mine.

2. Bu dört krom madeninin SEM destekli cevher mikroskopisi çalışmaları ile desteklenen veriler ışığında PGE ve Au olasılıkla sülfürlü mineralerin bünyesinde geç evre hidrotermal çözeltilerce zenginleşmiştir.
3. Harmancık (Dalaman-Muğla) kromitleri yüksek oranda PGE ve Au (ortalama değerler, ppb olarak: Pt, 4115; Pd, 14950; Rh, 63.50; Ir, 50.50; Au, 117) içermesi nedeni ile PGE aramacılığı için önemli hedef saha olarak değerlendirilebilir

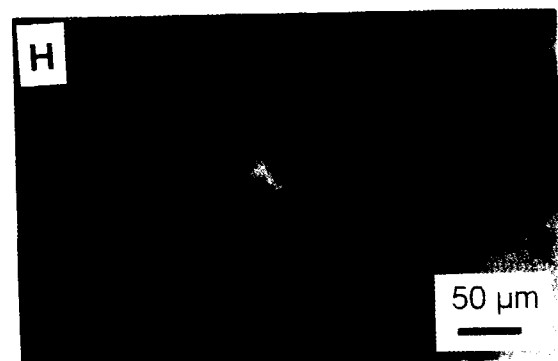
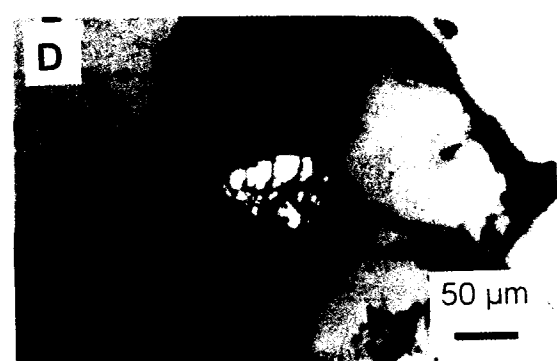
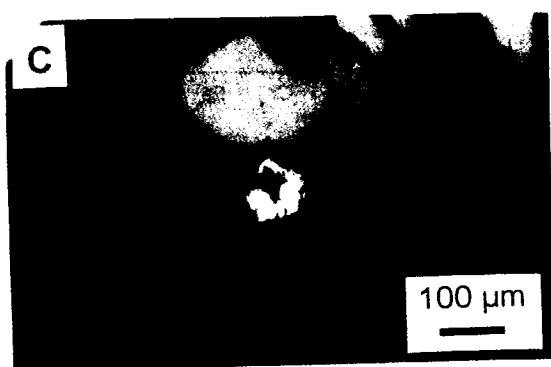
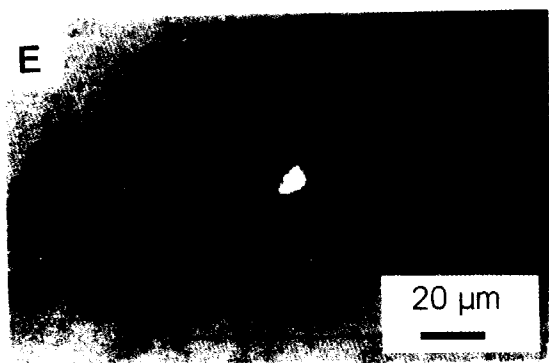
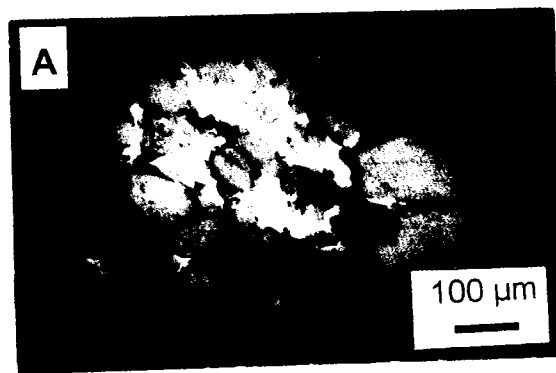
## KATKI VE TEŞEKKÜR

Bu çalışma C.Ü. Araştırma Fonunun M-127 nolu ferdi araştırma projesi ve NATO'nun Collaborative Research Grant programı çerçevesinde 971093 nolu proje ile desteklenmiştir. Arazi çalışmaları sırasındaki lojistik desteklerinden dolayı Türk Maden Şirketi, Hayri Ögelman Madencilik, Pınarbaşı Madencilik, Filiz Madencilik, Elmas Madencilik, Uçar Madencilik, Beröner Madencilik ve Eti Elektrometalurji-Üçköprü Maden İşletme Müdürlüğü'ne teşekkür ederiz. Örneklerin analizi sırasındaki yardımardan dolayı Mario O. Desilites'e ve değişik aşamalardaki katkıla-

rından dolayı Lawrence T. Larson'a teşekkürü borç biliyoruz.

## KAYNAKLAR

- Bacuta, G.C.Jr. Kay, R.W., Gibbs, A.K., and Lipin, B.R., 1990, Platinum-Group element Abundance and Distribution in Chromite Deposits of the Acoje Block, Zambales Ophiolite Complex, Philippines. In Geochemistry of Platinum-Group Elements Dunn, C.E. et al. eds. J. Geochim. Explor. 37, 113-145.
- Bergmann, h.b., 1988, Report on Gold/PGM Placer prospecting and Exploration in the Kazikkaya Area, Eastern Anatolia, Turkey. Republic of Turkey, Federal Republic of Germany, Technical Cooperation project No. 86.2546.9, Hannover, 60 p.
- Bingöl, E. 1989, Geological Map of Turkey in 1/2000000 Scale. General Directorate of Mineral Research and Exploration of Turkey (MTA) Ankara.
- Bischoff, J.L. and Seyfried, W.E., 1978, Hydrothermal Chemistry of Seawater From 25 °C to 350 °C. Am. J. Sci., 278, 838-860.
- Bonatti, E., Simmons, E.C., Breger, D., hamlyn, P.R., and Lawrence, J., 1983,



- Ultramafic Rock/Seawater Interaction in the Oceanic Crust. *Earth Planet. Sci. Lett.*, 62, 229-238.
- Brugmann, G.E., Arndt, N.T., Hoffmann, A.W., and Tobschall, H.J., 1987, Noble Metal Abundances in Komatiite Suites From Alexo, Ontario and Gorgono Island, Colombia. *Geochim. Cosmochim. Acta*, 51, 2159-2169.
- Buchanan, D.L., 1988, Platinum-Group Element Exploration. Develeopments in Economic Geology. (Amsterdam: Elsevier Sci. Publ. Ltd.), 26, 185p.
- Buisson, G., and Leblanc, M., 1986, Gold-bearing listwaenites (carbonatized ultramafic rocks) from ophiolite complexes. In *Metallogeny of basic and ultrabasic rocks* Gallagher, M.J., Ixer, R.A., Neary, C.R., and Prichard, H.M., (eds.). *Instn. Min. Metall.*, London, p. 121-131.
- Cabri, L.J., Harris, D.C., Weiser, T.W., 1996, Mineralogy and distribution of Platinum-Group Mineral (PGM) Placer Deposits of the World: Explor. Mining Geol., v. 5, no. 2, p. 73-167.
- Dickey, J.S., 1975, A Hypothesis of Origin for Podiform Chromite Deposits. *Geochim. Cosmochim. Acta*, 39, 1061-1075.
- Economou, M.E., 1993, Platinum-Group Element (PGE) Distribution in Chromite Ores From Ophiolite Complexes of Greece: Implication for Chromite Exploration: *Ophioliti*, v. 18, no. 1, p.83-97.
- Economou, M.I., 1986, Platinum-Group Elements (PGE) in Chromite and Sulphide Ores Within the Ultramafic Zone of Some Greek Ophiolite Complexes: in Gallagher, M.J., Ixer, R.A., Neary, C.R., and Prichard, H.M., (eds.) *Metallogeny of Basic and Ultrabasic Rocks*, Proceedings: *Instn. Min. Metall.*, London, p. 441-454.
- Economou-Eliopoulos, M., 1996, Platinum-Group Element (PGE) Distribution in Chromite Ores From Ophiolite Complexes: Implication For Their Exploration. *Ore Geol. Rev.* 11, no. 1, 363-381.
- Edel'shteyn, I.I. and Pilipenko, A.A., 1978, Geochemistry of Nickel and Cobalt During Serpentinization of Alpine-Type Ultramafic Rocks. *Doklady Akad. Nauk SSSR*, 239, 191-193.
- Engin, T., Özkoçak, O., and Artan, U., 1986, General Geological Setting and Character of Chromite Deposits in Turkey. In *Chromites*, UNESCO's IGCP-197 Project, Metallogeny of Ophiolites (Athens: Theophrastus Publ. S.A.), 199-228.
- Fischer, W., Amossé, J., and Leblanc, M., 1988, PGE Distribution in some Ultramafic Rocks and Minerals from the Bou Azzer Ophiolitic Complex (Morocco). In *Geo-Platinum-87* Prichard, H.M. et al. eds. (London: Elsevier Sci. Publ. Ltd.), 199-210.
- Haffty, J., Riley, L.B., and Goss, W.D., 1977, A manual of Fire Assaying and Determination of the Noble Metals in Geological Materials. U.S. Geol. Survey Bull., 1445, 58p.
- Jargoutz, E., Palme, H., Baddehausen, H., blum, K., cendales, M., dreibus, G., Spottel, B., Lorenz, V., and Wanke, H., 1979, The Abundances of Major, Minor and Trace Elements in the Erath's Mantle as derived From Primitive Ultramafic Nodules. *Proceedings of Lunar and Planet. Sci. Conf.*, 10, *Geochim. Cosmochim. Acta*, 11, Supplement, 2301,2050.
- Juteau, T. Ophiolites of Turkey. *Ophioliti, Tethyan Ophiolites Special Issue*, 2, 1980, 199-237.
- Kieser, N.B.J., 1994, In-Situ Modification of Platinum-Group Minerals in Tosnia Ultramafic Complex, South-Central Alaska: Implications for Surficial Dispersion and Geochemical Exploration: *Trans. Instn. Min. Metall. (Sect. B: Appl. Earth Sci.)*, v. 103, p B45-B52.
- Leblanc, M., 1991, Platinum-Group Elements and Gold. In *Ophiolite Genesis and Evolution of the Oceanic Lithosphere Ophiolitic Complexes: Distribution and Fractionation From Mantle to Oceanic Floor*. In *Ophiolite Genesis and evolution of the Oceanic Lithosphere* Peters, T.J. et. al. eds. (Dordrecht: Kluwer Academic Publ.), 231-260.
- Lechner, P. J., 1995, The Solubility of Palladium in Chloride Solutions and the Distribution of Platinum, Palladium and Related Elements in Hydrothermal Mineralization. Ph.D. thesis. Univ. Nevada, Reno, NV, USA., 235p.

- Lechler, P.J. and Desilites, M.O., 1991, The NMBG Standard Reference Material Project. *Nevada Geology*, 10, 1-2.
- Lorand, J.P. and Pinet, M., 1984, L'orcelite des Péridotites de Ronda (Espagne), Beni-Boussera (Morac). Table Mountain et Blow-Me-Down (Terre Neuve) et du Pinde Septentrional (Grece). *Can. Min.*, 22, 553-560.
- Mathez, E.A. and Peach, C.L., 1989, Geochemistry of Platinum-Group Éléments in Mafic and ultramafic Rocks. In *Ore Deposition Associated With Magmas*. Robertson, J.M. ed., Rev. Econ. Geol. 4, , 33-40.
- Mountain, B.V. and Wood, S.A., 1988, Solubility and Transport of PGE in Hydrothermal Solutions: Thermodynamic and Physical Chemical Constraints. In *Geo-Platinum-87*. Prichard, H.M. et. al. eds. (London: Elsevier Sci. Publ. Ltd.), 57-82.
- MTA, Snia Techint, Rimin, Geoexpert, 1991, Geological and Mining Studies in Western Turkey with Particular Reference to the Prduction of Precious and Rare Metals Using Hydrometallurgical Processes: General Directorate of Mineral Research and Exploration of Turkey (MTA) Ankara, Final Raporu, 200-288.
- Naldrett, A.J. and Duke, J.M., 1980, Platinum Metals in Magmatic Sulphide Ores. *Science*, 208, no. 4451, 1417-1424.
- Naldrett, A.J. and von Gruenewaldt, G., 1989, Association of Platinum-Group Elements with Chromitite in Layered Intrusions and Ophiolite Complexes. *Econ. Geol.*, 84, no. 1, 180-187.
- Naldrett, A.J., 1993, Models for the Formation of Strata-Bound Concentrations of Platinum-Group Elements in Layered Intrusions. In *Mineral Deposit Modeling* Kirkham, R.V. et. al. eds. *Geol. Assoc. Canada Special Paper*, 40, 373-387.
- Okay, A.I., 1984, Distribution and Characteristics of the North-West Turkish Blueschists. In *The Geological Evolution of the Eastern Mediterranean* Dixon, J.E., Robertson, A.H.F., eds. (Oxford: Blackwell Scientific Publications), 455-466.
- Özpeker, I., Eren, R.H., Yilmaz, Y., Uz, B., Aykol, A., Çoban, F., Manav, H., 1999, Platinum Group Metal Contents of the Peridotites of the Muğla-Fethiye-Köyceğiz Area, Southwestern Turkey. In *Mineral deposits: Processes to Processing*, Proceedings of the Fifth Biennial SGA Meeting and the Tenth Quadrennial IAGOD Meeeting, London, UK. Stanley, C.J. et al. eds. (A.A. Balkema, Rotterdam), 767-769.
- Page, N.J., and Talkington, R.W., 1984, Palladium, Platinum, Rhodium, Ruthenium and Iridium in Peridotites and Chromites from Ophiolite Complexes in Newfoundland: *Canadian Mineralogist*, v.22, p. 137-150.
- Page, N.J., Engin, T., and Haffty, J., 1978, Palladium, Platinum and Rhodium Concentrations in Mafic and Ultramafic Rocks From Kızıldağ and Güleman Areas, Turkey, and the Faryab and Esfandagheh-Abdasht Areas, Iran. U.S. Geol. Survey Open File Report, 79-840, 15 p.
- Page, N.J., Engin, T., Singer, D.A., and Haffty, J., 1984, Distribution of Platinum Group Elements in the Batı Kef Chromite Deposit, Güleman-Elazığ Area, Eastern Turkey: *Econ. Geol.*, v. 79, p. 177-184.
- Page, N.J., Singer, D.A., Moring, B.C., Carlson, C.A., McDade, J.M., and wilson, S.A., 1986, Platinum-Group Element Resources in Podiform Chromites from California and Oregon. *Econ. Geol.*, 81, no. 5, 1261-1271.
- Rowell, W.F. and Edgar, A.D., 1986, Platinum-Group Element Mineralization in a Hydrothermal Cu-Ni Sulfide Occurences, Rathbun Lake, Northeastern Ontario. *Econ. Geol.*, 81, no. 5, 1272-1277.
- Stevens, R.E., 1944, Composition of Some Chromites of the Western Hemisphere. *Amer. Min.*, 29, 1-34.
- Sun, S.S., 1982, Chemical Composition and Origin of the Earth's Primitive Mantle. *Geochim. Cosmochim. Acta*, 46, 179-192.
- Talkington, R.W. and Watkinson, D.H., 1986, Whole Rock Platinum-Group Element Trends in Chromite-Rich Rocks in Ophiolitic and Stratiform Igneous Complexes. In *Metallogenesis of Basic and Ultrabasic Rocks* Gallagher, M.J. et. al., eds. (London: Institution of Mining and Metallurgy), 427-440.
- Uçurum, A., Larson, L.T., 1999, Geology, Base-Precious Metal Concentration and

- Genesis of the Silica-Carbonate Alteration (Listwaenites) From Late Cretaceous Ophiolitic Mélanges at Central East Turkey: Chemie der Erde, Geochemistry, 59, no. 2, 77-104.
- Uçurum, A., Lechner, P.J., Larson, L.T., 2000, Platinum-Group Element Distribution in Chromite Ores from Ophiolite Complexes, Western Turkey: Trans. Inst. Min. Metall. (Sect. B: Appl. Earth Sci.), 109, no. 2, B112-B120.
- Wood, D.A., Tarney, J., varet, J., Aaunders, A.D., Bougault, H., Joron, J.L., Treuil, M., and Cann, J.R., 1979, Geochemistry of Basalts Drilled in the North Atlantic by IPOD Leg 49 Implications for Mantle Heterogeneity: Earth Planet Sci. Lett., 42, 77-97.
- Yaman, S., Ohnenstetter, M., 1991, Mersin Ofiyoliti Ultramafik Zon Krom Yataklarında Platin Grubu Element Dağılımı (Güney Türkiye): TJK Bül., s. 6, 253-261.
- Yang, K., and Seccombe, 1994, Contrasting Hydrothermal Behavior of Platinum-Group Elements of Ir and Pd Sub-Groups as Exemplified by Platinum-Group Minerals in Great Serpentinite Belt, Eastern Australia: Trans. Instn. Min. Metall. (Sect. B: Appl. Earth Sci.), v.103, B39-B44.

## SOURCE ROCK EVALUATION OF TERTIARY SEDIMENTS IN THE SIVAS BASIN, CENTRAL ANATOLIA

SIVAS BASENİNDEKİ TERSİYER SEDİMANLARININ KÖKEN KAYA DEĞERLENDİRİLMESİ, ORTA ANADOLU

Orhan ÖZÇELİK

Akdeniz Üniversitesi, Jeoloji Mühendisliği Bölümü, Antalya

**ABSTRACT:** The Sivas Basin is one of a number of sedimentary basins that were formed in Anatolia as a result of microcontinent convergence and collision during the Late-Mesozoic-Early Cenozoic. The basin contains a sedimentary fill ranging from Late Cretaceous to Pliocene in age. Organic-rich sediments were deposited in shallow-marine, terrestrial and lacustrine settings during the Eocene-Miocene. The source-rock potential of these sediments were evaluated by organic-geochemical and petrographic analyses. The TOC content of fine-grained sediments from the Eocene Kozluca and Bozbel Formations varies between 0.05% and 2.3%. Rock-Eval analysis yielded low hydrogen index (HI) and high oxygen index (OI) values for samples of these formations, and the organic matter was dominated by Type III kerogen. Vitrinite reflectance (Ro) varied between 0.3% and 0.9%. Samples of the Oligocene Selimiye Formation were characterized by low TOC content (0.05%-1.7%) and a low hydrogen index (21-47 mgHC/gTOC). Ro varied between 0.4% and 0.6%. The TOC content of the Miocene Hafik and Karacaören Formations varied from 0.07% to 1.5%, although the organic content of the Karacaören Formation, which was deposited on a shallow-marine shelf, was higher than that of the terrestrial Hafik Formation. These results suggest that the Eocene deposits are not likely to constitute a source of liquid hydrocarbons, but that they may generate gas if sufficiently mature. Oligocene and Miocene sediments are immature and have not generated hydrocarbons.

**Key words :** Sivas Basin, total organic carbon, vitrinite

**ÖZ:** Sivas Havzası, Geç Mesozoyik-Erken Senozoyik sırasında kita çarpışmalarının bir sonucu olarak Anadolu'da şekillenmiş sedimanter havzalardan biridir. Bu havza Geç Kretase'den Pliyosen'e kadar değişen yaşlardaki sedimanter çökelleri içerir. Organikçe zengin çökeller Eosen-Miyosen süresince sıç deniz, karasal ve gölgesel ortamlarda çökelmiştir. Bu sedimanların kaynak kaya potansiyeli organik jeokimyasal ve petrografik analizlerle değerlendirilir. Eosen Kozluca ve Bozbel formasyonlarında ince taneli sedimanların TOC oranları %0.05-2.3 arasında değişir. Bu formasyonlara ait örneklerin Rock-Eval analizlerinde düşük Hidrojen İndeksi (HI) ve yüksek Oksijen İndeksi (OI) değerleri elde edilmiş olup Tip III kerojen egemendir. Vitrinit yansımı (Ro) %0.3-0.9 arasındadır. Oligosen yaşılı Selimiye Formasyonu örnekleri düşük TOC bileşimi (%0.05-1.7) ve düşük hidrojen indeksi (21-47 mg HC/g TOC) ile karakteristikdir. Ro %50.4-0.6 arasındadır. Miyosen yaşılı Hafik ve Karacaören Formasyonlarının TOC miktarları %0.07-1.5 arasında olmakla birlikte sıç denizel şelf ortamında çökelmiş Karacaören Formasyonu organik madde miktarı, karasal Hafik formasyonu'nunkine göre daha yüksektir. Bu sonuçlar Eosen çökellerinin sıvı hidrokarbon için kaynak olamayacağını ancak yeterli olgunlaşma düzeyinde gaz türetebileceğini gösterir. Oligosen ve Miyosen sedimanları ise olgunlaşmamıştır ve hidrokarbon üretme potansiyelleri yoktur.

**Anahtar kelimeler :** Sivas Baseni, toplam organik karbon, vitrinit,

### INTRODUCTION

A number of Neo Tethyan continental fragments were assembled in central Anatolia between the Cretaceous and the Eocene. The

Sivas Basin developed on the eastern margin of the Kırşehir block, which is composed of a metamorphic basement with sparse remnants of an ophiolitic nappe overlain by sedimentary

cover. After the Tuzgölü and Çankırı Basins, the Sivas Basin is the largest basin in central Anatolia.

The basin has had a complex history. During the Late Cretaceous, the Kırşehir and Sakarya Blocks and Menderes-Taurus Platform were separated by the Izmir-Ankara, Ankara-Erzincan and Inner Tauride Oceans (Figure 1). The floors of these oceans were subducted beneath the Sakarya and the Kırşehir Blocks, forming both a magmatic arc on top a melange wedge in front (Görür et al., 1984). North of the Kırşehir Block, subduction was bipolar with Benioff Zones dipping to both north and south (Görür et al., 1984; Görür and Şengör, 1986; Tüysüz and Dellalolu, 1992). At the end of the Paleocene, the eastern arm of the Kırşehir Block collided with the Sakarya Block diachronously from west to east, resulting in the formation of the Sivas Basin peripheral foreland setting. The basin subsided throughout the Eocene in response to ongoing continental convergence. Turbidites and deep-water clastics were at first deposited, followed by shallow-marine and then non-marine sediments.

The Inner Tauride Ocean closed at the end of the middle Eocene, resulting in collision between the Menderes-Taurus Platform and Sakarya Block together with the western (rotated) segment of the Kırşehir Block. The Sivas Basin was probably affected by this collisional event and underwent further compression. The basin was inverted towards the end of the Eocene and underwent erosion throughout the Late Eocene.

In the Oligocene, the Sivas Basin took the form of an epi-Anatolide molasse basin extending from Şarkışla to Refahiye where its terrestrial infill interfingers with marine sediments (Lutting and Steffens, 1976). During the early Miocene, the basin was uplifted and underwent further extensive erosion. The eroded basinal remnants were overlain in the Middle to Late Miocene by sediments laid down in an intracratonic basin which had little relationship to the previous structure (Salomon-Calvi, 1940). The basin formed in central Anatolia as part of the neotectonic ova regime (Şengör, 1979).

The evolution of the Sivas Basin remains controversial. Poisson et al. (1996) suggested that the basin developed in a regional context characterised by north-south collision between the Arabian, Anatolian and Eurasian Plates. It initially took the form of a foreland basin which evolved into a molasse-type basin (with local

subsidence), which was connected with the other basins in central Anatolia. The final phase of deformation beginning in the Pliocene, corresponds to regional compression which can be correlated with the beginning of strike-slip movement along the North and SE Anatolian faults. The effects of this compression are spectacularly exposed in the Sivas Basin because gypsum beds there act as excellent décollement horizons.

Previous studies of the Sivas Basin have included general descriptions of the structure, sedimentology and palaeontology of the Upper Mesozoic and Cenozoic sedimentary successions (Blumenthal, 1937; Kurtman, 1973; Gökçen, 1981; Gökçen and Kelling, 1985; Tunç et al., 1991; Cater et al., 1991; İnan et al., 1993; Poisson et al., 1995), together with unpublished geological reconnaissance studies for petroleum exploration purposes (Arpat, 1964; Norman, 1964; Demirmen, 1965). More recent petroleum-geological studies of the central part of the Sivas Basin were published by Korkmaz (1990) and İllez et al., (1990), while Özçelik and Altunsoy (1991), Özçelik et al., (1993) and Altunsoy (1993) described geochemical aspects of the sedimentary rocks in the eastern part of the basin. İllez et al., (1990) identified two organic facies in the Eocene Bozbel Formation on the basis of sterane distribution, oleanane/hopane ratios and the presence of marine dinoflagellates, pollen and fungal spores. The Bozbel Formation is sufficiently mature to have generated hydrocarbons in the centre of the basin, but because of the type of organic matter it contains, it is not thought to have generated liquid hydrocarbons but to be gas-prone (Korkmaz, 1990; Özçelik and Altunsoy, 1996).

The aim of this paper is to report on the organic geochemistry of Tertiary sediments in the Sivas Basin, to assess the composition and maturity of the organic carbon content, and to characterize possible petroleum source rocks. Upper Cretaceous and Palaeocene allochthonous sediments are locally exposed on the southern margin of the basin. However, these sediments have very low TOC contents and were deposited in an oxic environment. Therefore, these sequences were not analysed.

## GEOLOGICAL SETTING

The regional geology of the Sivas Basin is illustrated in Figure 1. To the north, the basin is bounded by the Central Anatolian thrustbelt, and the basin's other margins also have been considered as tectonic lineaments (Poisson et

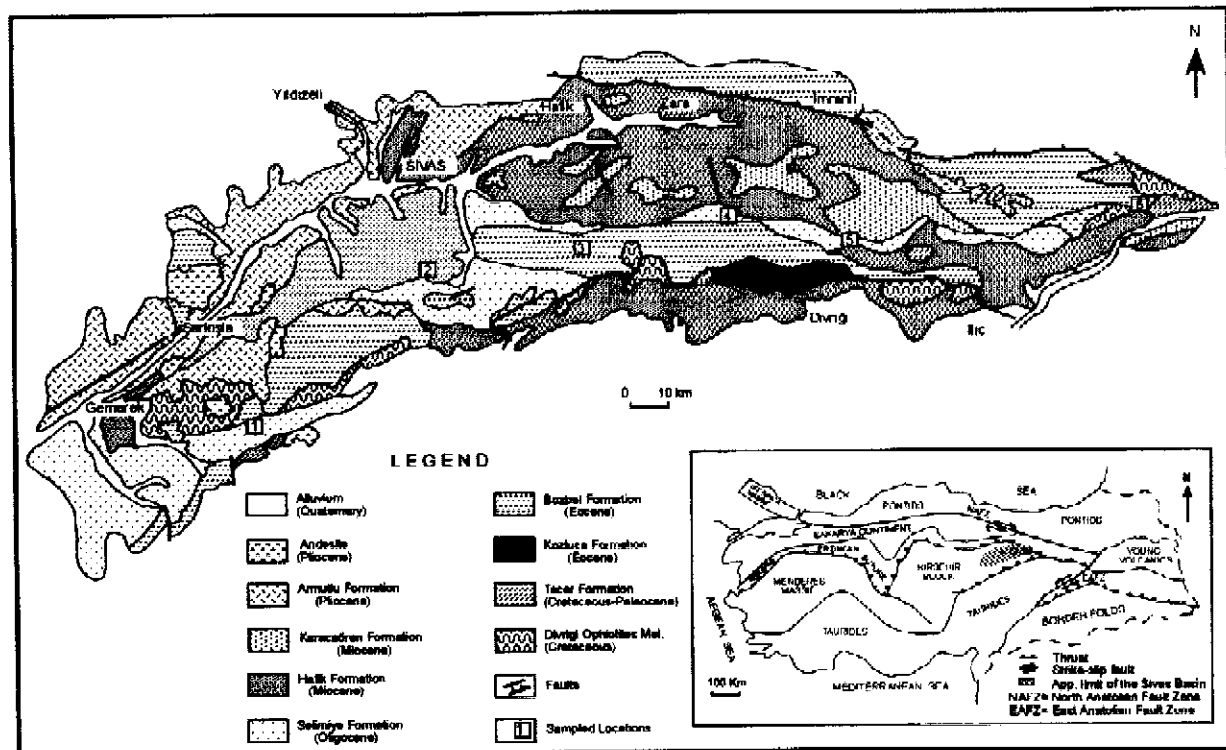


Figure 1. Geological map of the Sivas Basin Central Anatolia.

al., 1996). The basin rests on basement identified as oceanic crust of the "Inner Tauride suture" (Şengör, et al., 1984), and the oldest cover rocks were deposited on top of an ophiolitic sequence. These ophiolites are allochthonous and their own basement may be found in the Tauride Belt to the south and in the Kırşehir Block to the north. All the cover strata in the Sivas Basin, including those of Pliocene age, are folded about E-W axes and were affected by major south- and north-vergent thrust faults, particularly along the Ankara-Erzincan and Inner Tauride sutures (Artan and Sestini, 1971).

### Stratigraphy of the Sivas Basin

Ophiolitic rocks (the Divriği ophiolitic melange) crop out in small blocks along the northern and southern margins of the basin (Figure 1). The age and direction of emplacement of this ophiolitic melange is poorly constrained. Artan and Sestini (1971) and Yilmaz (1981) assumed that emplacement occurred in the Late Cretaceous. Aktaş and Robertson (1984) and Hempton (1985) also suggested a Late Cretaceous age for ophiolite obduction onto the southern (Anatolide) margin.

Upper Cretaceous-Palaeocene shallow-marine carbonates of the Tacer Formation crop

out on the southern margin of the Sivas Basin, although the base of the sequence is not exposed. A thickness of at least 100 m of limestones occurs on Gürlevik Dağı where in situ crinoids and rudists of Maastrichtian age have been recorded; here, the limestone has a karstified upper surface which is encrusted with oysters, and is overlain by Eocene strata (Cater et al., 1991).

Eocene rocks in the Sivas Basin are assigned to the Kozluca and Bozbel Formations, and comprise slope and basinal siliciclastics with minor carbonates. Alluvial fan or fan-delta conglomerates occur in the north of the basin, and contain well-rounded clasts derived from the metamorphic basement. Conglomerates also occur on the southern margin where they are dominated by ophiolitic clasts. Olistostromes and volcanioclastic aprons are intercalated with thin bedded basin-floor turbidites in which down-slope and axial palaeoflow directions have been recorded. Some of these sediments are probably contourites. Calciturbidites occur throughout, and are particularly common in a condensed sequence in the SW of the basin where they are intercalated with hemipelagic muds and shales.

On the northern margin of the Sivas Basin, Eocene carbonates containing reworked nummulites are interpreted as micritic mud mounds and storm deposits in the central and west; and subtidal stromatolites and storm deposits in the east. At the top of the Eocene sequence on the southern margin of the basin, the turbidites are interbedded with marls and pass up into nummulitic packstones. The thickness of the Eocene sediments is variable, in some cases exceeding 2,100 m.

Oligocene evaporites, limestones and siliciclastics assigned to the Selimiye Formation overlie the Eocene sediments unconformably. In the SW of the Sivas Basin, about 140 m of Oligocene non-marine mudstones and thin limestones conformably overlie Eocene marine turbidites. In the central part of the basin, the Oligocene interval is dominated by red and green siltstones and yellow sandstones of fluvial to lacustrine facies. Sandstone units have erosive bases and show trough cross-bedding; they fine up into climbing-rippled, cross-laminated sandstones and siltstones. Laterally-accreted heterolithic units are common. Fining up cycles are generally capped by red and green siltstones, and are typically 5 to 10 m thick. The coarser units contain serpentinite, quartzite and limestone clasts, ultramafic clasts being more common in the lower part of the sequence. Palaeoflow directions, as indicated by cross-bedding in the channel fills, is dominantly towards the south and SW suggesting uplift of a source area to the north of the basin. The mudrocks are unfossiliferous and show abundant desiccation cracks and pseudomorphs of gypsum and halite. Further east, lacustrine ostracod-bearing limestones occur in the Oligocene sequence (Cater et al., 1991). The upper part of the sequence in the central part of the basin consists of lacustrine shoreline deposits, with abundant wave rippled sandstones interpreted as storm events (Gökçen and Kelling, 1985). The thickness of these sequence is about 1,500 m.

The unconformably-overlying Miocene Hafik and Karacaören Formations show complex thickness and facies variations. The Hafik Formation consists of conglomerates, evaporites and limestones, overlain by a 1,400 m thick sequence dominated by red and green siltstones with gypsum pseudomorphs, calcareous palaesols and rootlets, interbedded with fining upwards, channel fill sands. The conglomerates contain serpentinite pebbles, presumably derived from a provenance area

which was uplifted during the Late Oligocene. Sandstones contain abundant plant and tree debris; internally, sand bodies show trough cross-bedding passing up into plane bedding and climbing-ripple cross lamination. These sequence is interpreted as having been deposited on an arid, rapidly subsiding flood plain associated with a meandering fluvial system with a highly fluctuating discharge rate.

The laterally equivalent Karacaören Formation comprises thick-bedded sandstones and conglomerates, overlain by 50 m of silty sandstones of meandering fluvial origin. These include well developed lateral accretion units, 4-to-8-m thick, deposited on point bars building into westward flowing channels. These sediments include non-marine bivalves and gastropods and thin coal seams recording interfluvial lacustrine and swamp deposition. Further north and west, the sequence passes up into 300 m of green and red siltstones and marine limestones, apparently equivalent to the green marine mudrocks seen elsewhere in the Sivas Basin (Cater et al., 1991). The combined thickness of the Hafik and Karacaören Formations varies from 525-2,000 m.

Pliocene deposits comprise 400 m of conglomerates, sandstones and nonmarine limestones. Andesitic-basaltic lavas of Pliocene age are present on the southern margin of the basin (Figure 2).

Disseminated organic matter from Tertiary sediments in the Sivas Basin was investigated using standard organic-geochemical analyses. Outcrop samples (148 in number) were collected from six locations (Figure 1), from shales and limestones of Eocene, Oligocene and Miocene ages. Outcrop samples were taken from as deep as possible below the surface in order to minimize the effects of weathering.

The quantity and quality of the organic matter and its hydrocarbon potential were determined by Rock-Eval pyrolysis. Powdered whole-rock samples were analysed following Peters (1986). TOC determinations were made using a LECO CR-12 carbon analyzer. Rock samples were demineralized using hydrofluoric acid (HF) and hydrochloric acid (HCl) using techniques outlined by Durand (1980). Mineral residues persisting in the kerogen were removed by zinc chloride flotation. Microscopic examination of both polished sections of whole rock samples and kerogen concentrates were performed under reflected light, and reflectance measurements were performed on the kerogen concentrates using a Leitz MPV compact mic-

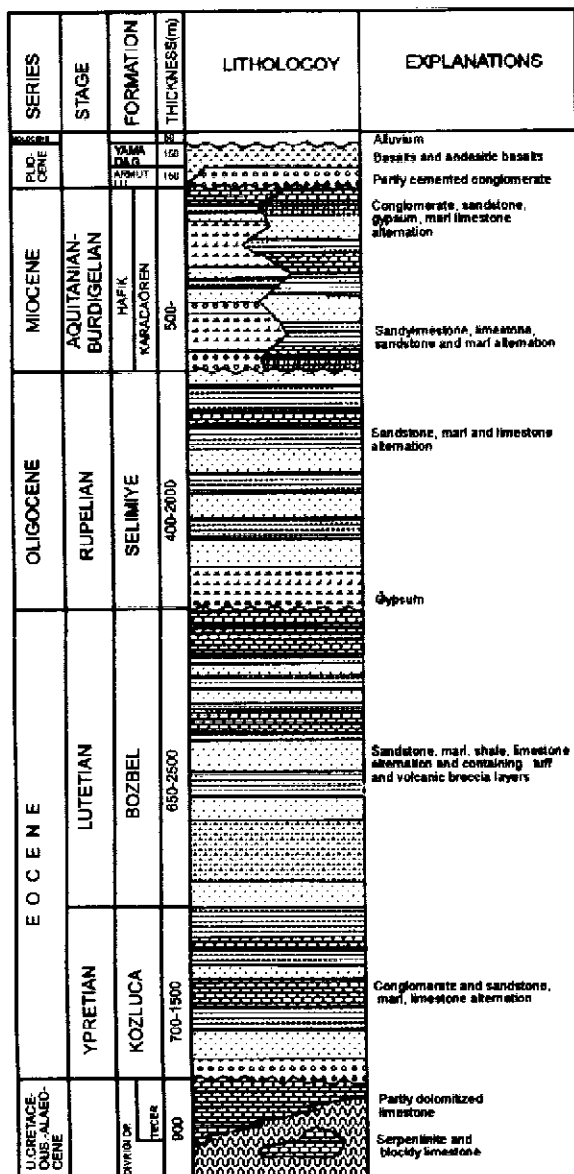


Figure 2. Stratigraphy of the Sivas Basin.

roscope photometer. Clay fractions separated from 54 samples were studied by standard X-ray diffraction techniques.

The TOC determinations were performed at Cumhuriyet University; vitrinite reflectance measurements were made at the MTA Laboratories (Ankara, Turkey); and Rock-Eval pyrolysis was performed by Geochem (U.K.).

## RESULTS

### Total Organic Carbon

Total organic carbon (TOC) measurements were made on 110 samples from the Sivas Basin and varied between 0.05

to 2.26% (Table 1). The TOC content of Eocene sediments ranged from 0.05 to 2.26% (average 0.49%); for Oligocene samples, TOC ranged from 0.05 to 1.72% (average 0.28%). Figure 3 illustrates the variation of TOC content through the Eocene Kozluca and Bozbel Formations and the overlying Oligocene Selimiye Formation. In general, TOC contents are highest in shales and carbonate facies.

The TOC content of samples of the Miocene Hafik and Karacaören Formations range from 0.07 to 1.46% (average 0.49%), and the vertical variation of TOC content for these units is shown in Figure 4. The TOC content was particularly high in intervals of shallow-marine limestone. At location 5 (see Figure 1), coaly horizons were observed within Miocene sediments at an unmappable scale but TOC measurements were not performed.

### Rock-Eval Pyrolysis

The results of Rock-Eval pyrolysis can be used to describe the generative potential of a prospective source rock (Espitalié et al., 1977). Table 2 shows the results of Rock-Eval analysis of Eocene, Oligocene and Miocene samples from the Sivas Basin. Hydrogen Index is plotted against Oxygen Index in Figure 5.

For the Eocene sediments, the hydrogen index (HI) ranged from 12 to 131 mgHC/gTOC, and average hydrocarbon potential ( $S_1 + S_2$ ) was 0.93 mgHC/gTOC, and the average  $T_{max}$  was 442 °C. The organic matter plotted mostly as Type III kerogen on the HI vs OI diagram (Figure 5). For the Oligocene sediments, HI averaged 34 mgHC/gTOC and the average hydrocarbon potential was 0.98 mgHC/gTOC, the average  $T_{max}$  was 407 °C. This organic matter was also classified as Type III kerogen (Figure 5). For Miocene sediments, the average hydrogen index was 79 mgHC/gTOC, the average hydrocarbon potential was 0.98 kgHC/ton of rock; and the average  $T_{max}$  was 402 °C. This organic matter was also classified as Type III kerogen (Figure 5).

These analytical results were complemented by microscopic studies. The principal organic macerals present in Eocene sediments were vitrinite and inertinite. Particles of continental origin are represented by plant, woody and coaly debris and vitrinite and fusinized fragments (Figure 3). Oligocene sediments were dominated by terrestrial materials (Figure 3), while Miocene sediments were dominated (80 to 90%) by plant, woody and coalified material with minor (10 to 20%) amorphous kerogen (Figure 4).

Table 1. Total organic carbon (TOC) content of Tertiary sediments from the Sivas Basin.

Formation	Sample No	TOC	Formation	Sample No	TOC
Karacaören	Ka.9	1.28	Bozbel	B.38	0.21
	Ka.11	0.52		B.39	0.81
	Ka.13	0.40		B.41	0.47
	Ka.14	0.25		B.42	0.61
	Ka.131	0.61		B.43	0.63
	Ka.141	0.15		B.57	0.12
Hafik	H.1	0.07		B.59	0.33
	H.2	0.15		B.62	0.19
	H.5	0.16		B.63	0.86
	H.6	0.65		B.96	0.86
	H.7	1.46		B.97	0.20
	H.18	0.11		B.98	0.09
	H.19	0.73		B.99	0.12
	H.20	0.81		B.100	0.05
	H.21	0.09		B.101	0.10
	S.19	0.11		B.102	0.51
	S.21	0.09		B.103	0.30
Selimiye	S.25	0.34		B.104	0.31
	S.26	0.32		B.105	0.05
	S.29	0.11		B.106	0.27
	S.32	0.13		B.107	0.12
	S.34	0.23		B.108	0.25
	S.35	0.16		B.109	0.26
	S.43	0.12		B.110	0.47
	S.45	0.08		B.111	0.09
	S.47	0.15		B.112	0.11
	S.107	0.27		B.113	0.11
	S.111	1.72		B.114	0.13
	S.112	0.08		B.115	0.14
	S.113	0.19		B.116	0.18
	S.114	0.52		B.117	0.23
	S.115	0.23		B.118	0.09
	S.116	0.18	Kozluca	K.1	0.62
	S.117	0.20		K.7	1.65
	S.118	0.38		K.9	0.45
	S.119	0.08		K.10	0.33
	S.120	1.20		K.12	0.73
	S.121	0.60		K.13	0.45
	S.122	0.05		K.18	0.69
	S.123	0.05		K.21	0.63
	S.124	0.38		K.22	0.62
	B.1	0.27		K.24	1.65
	B.3	0.38		K.29	0.45
	B.6	0.68		K.31	0.33
	B.8	1.35		K.37	0.73
	B.10	0.86		K.39	0.45
Bozbel	B.14	0.87		K.46	2.26
	B.17	0.81		K.50	0.51
	B.18	0.35		K.52	0.46
	B.19	0.17		K.54	0.28
	B.20	0.29		K.57	0.30
	B.21	0.37		K.58	1.47
	B.33	0.83		K.63	0.25
	B.34	0.42		K.67	0.26
	B.36	0.52		K.108	0.12

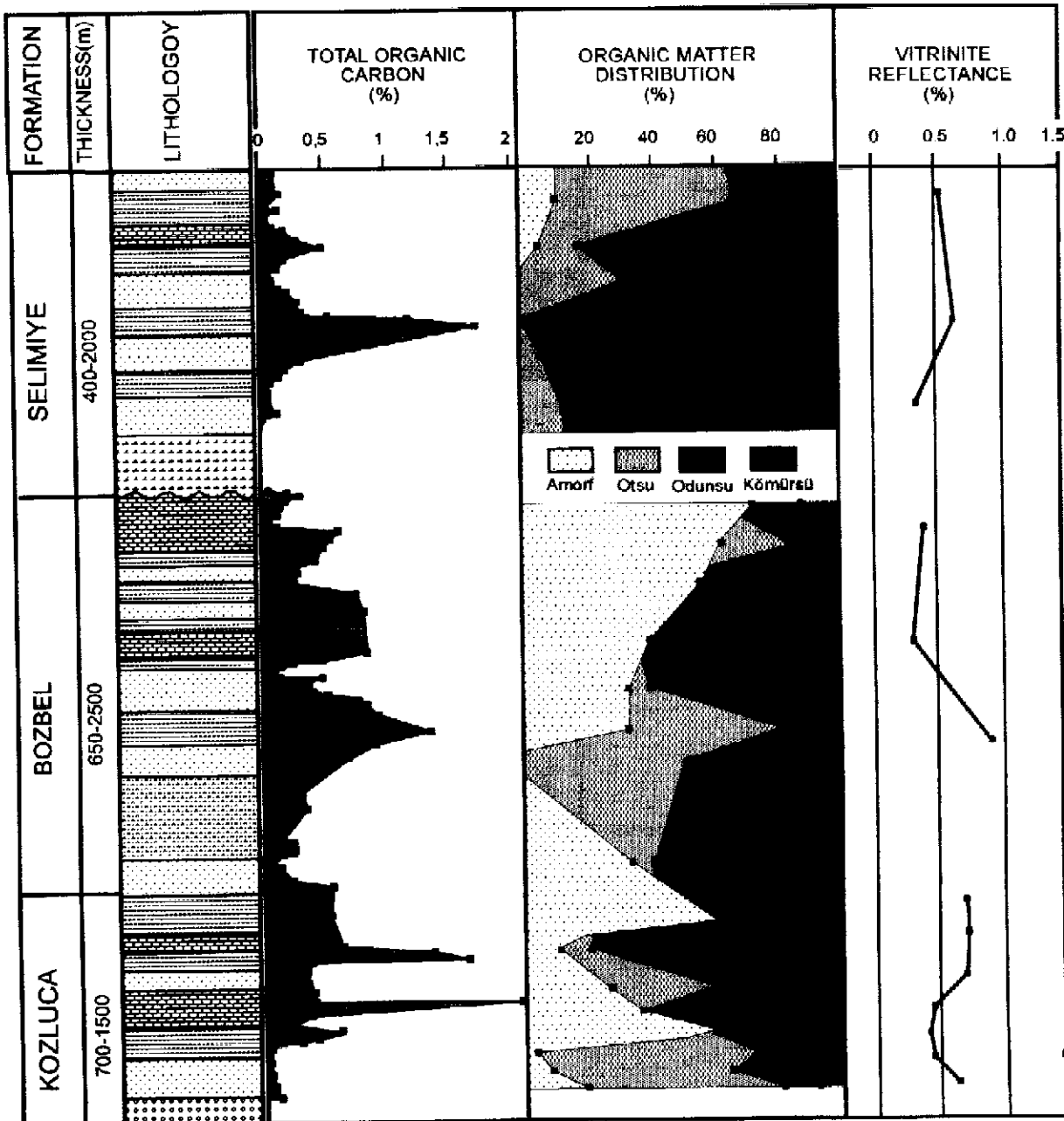


Figure 3. Variations in TOC content, organic matter type and vitrinite reflectance through the Eocene Kozluca and Bozbel Formations, and Oligocene Selimiye Formation in the Sivas Basin.

#### Vitrinite Reflectance

Most of samples collected from the Sivas Basin sediments contained no vitrinite. However, 24 samples contained sufficient vitrinite for reflectance values to be measured.

Splits of each sample were crushed to less than 2 mm. One portion of each crushed sample was mixed with epoxy resin to make two whole-rock pellets, which were ground and polished following standard techniques (Stach et al., 1982). Organic constituents were identified

using light reflectance microscopy using the classification scheme presented by Hutton (1987). Mean random vitrinite reflectance was determined according to established techniques, measuring 50 particles per sample (Dow and O'Conner, 1982). Means and standard deviations were determined after the elimination of any obviously reworked material. Some vitrinite particles appeared to be degraded and others were somewhat oxidized. Reflectance measurements were restricted to

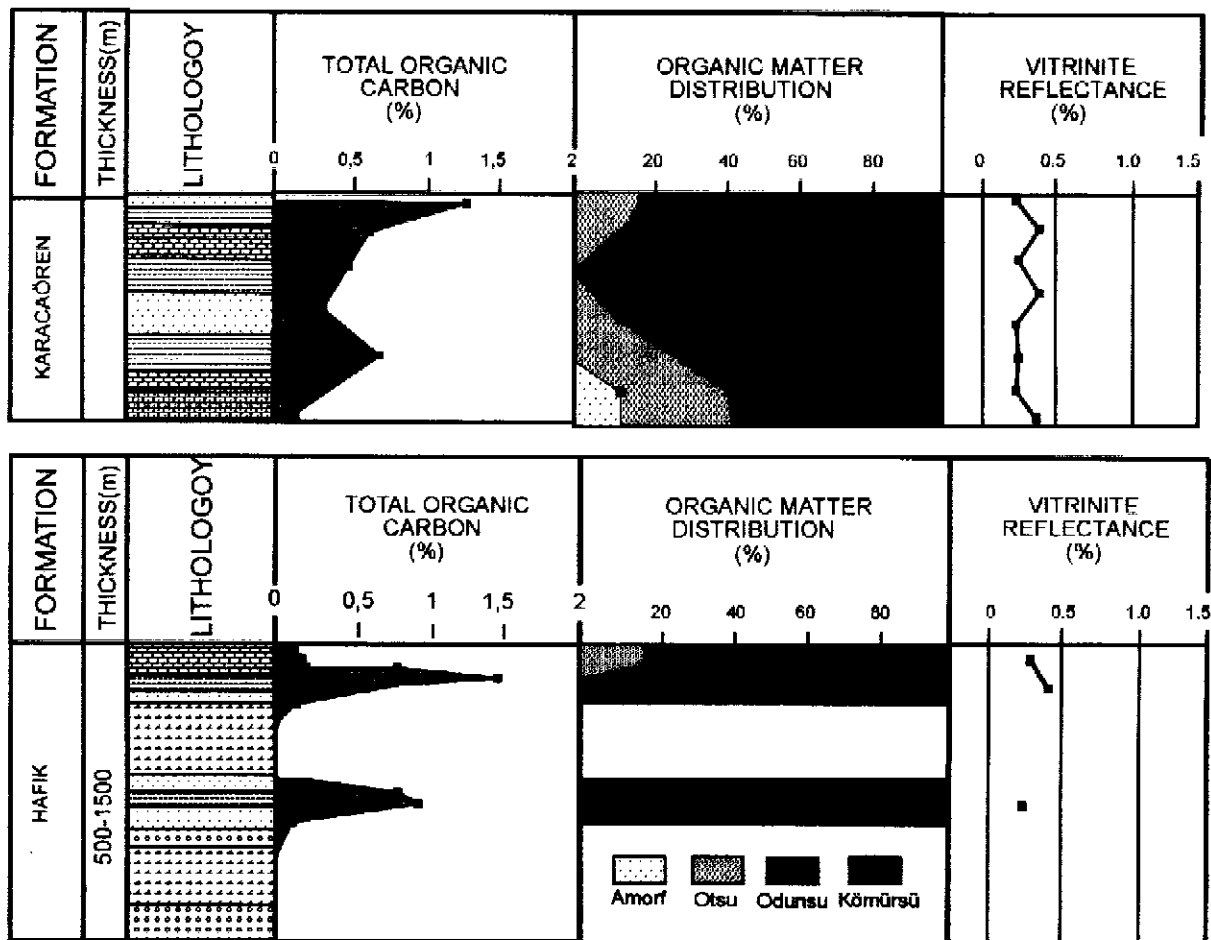


Figure 4. Variations in TOC content, organic matter type and vitrinite reflectance through the Miocene Hafik and Karacaören Formations in the Sivas Basin.

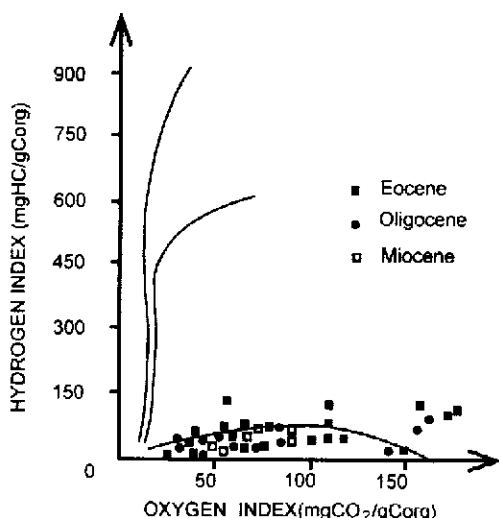


Figure 5. Plot of Hydrogen Index versus Oxygen Index (after Tissot and Welte, 1978) for Eocene, Oligocene and Miocene sediments from the Sivas Basin.

particles that appeared to be well-preserved and well-polished. Reflectance values averaged between 0.21 and 0.93% (average mean value of 0.44%). Ro data is given Table 3. For Eocene samples, Ro averaged 0.57% (range: 0.30 to 0.93%, and for Oligocene samples, Ro averaged 0.52% (0.38 to 0.64%). The average Ro values for Miocene samples were 0.30% (0.21 to 0.51%).

Microscopic analyses of kerogen were performed on selected samples, and the principal macerals identified were alginite, liptodetrinitite vitrinite and inertinite. Since (marine) alginite was the only liptinite maceral identified in large quantities, the origin of the liptodetrinites was also interpreted as being marine. Marine components of the maceral assemblage (i.e. alginite plus liptodetrinitite) comprised between 15% and 35% of the total, and vitrinite and inertinite together made up 65% to 85 (Table 4).

**Table 2. Organic-geochemical data for Eocene, Oligocene and Miocene samples from the Sivas Basin.**

AGE/ THICK. m PARAMETER	EOCENE 645-2100	OLIGOCENE 415-1200	MIOCENE 525-2000
TOC	Min. 0.05	0.05	0.07
	Mean 0.49	0.28	0.49
	Max. 2.26	1.72	1.46
S1	Min. 0.05	0.03	0.38
	Mean 0.46	0.09	0.47
	Max. 1.37	0.29	0.52
S2	Min. 0.09	0.08	0.77
	Mean 0.44	0.89	1.88
	Max. 0.85	1.96	2.90
S3	Min. 0.35	0.53	0.82
	Mean 0.58	1.12	1.04
	Max. 0.78	2.13	1.32
S1+S2	Min. 0.21	0.37	1.15
	Mean 0.93	0.98	2.38
	Max. 2.22	2.03	3.42
S1/ (S1+S2) Max.	Min. 0.21	0.03	0.15
	Mean 0.42	0.20	0.24
	Max. 0.64	0.78	0.33
HI	Min. 12	21	52
	Mean 77	34	79
	Max. 131	47	98
OI	Min. 45	35	37
	Mean 145	99	44
	Max. 487	236	89
Tmax	Min. 369	364	377
	Mean 442	407	402
	Max. 546	450	435
Ro (%)	Min 0.30	0.38	0.21
	Mean 0.57	0.52	0.30
	Max. 0.93	0.64	0.42

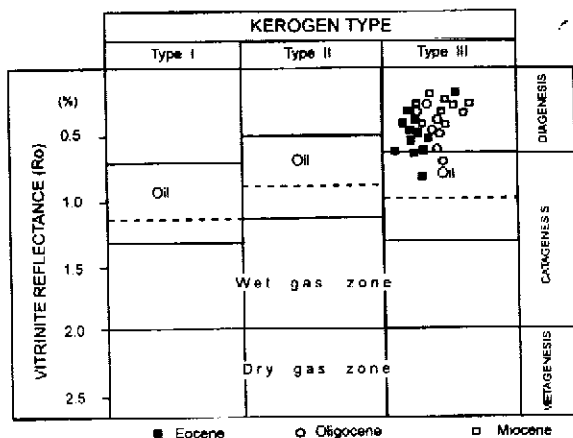
## DISCUSSION AND CONCLUSIONS

The purpose of this study was evaluate the source rock potential of Tertiary sediments in the Sivas Basin, Central Anatolia, and to determine their level of thermal maturation. TOC and Rock-Eval analyses showed that the samples contained very low to moderate quantities of Type III kerogen, and are thus rated as poor source rocks for liquid hydrocarbons.

Eocene sediments have a very low hydrocarbon potential and cannot be considered as a source rock (Figure 6 and 7). These sediments are assumed to have been deposited under oxic conditions resulting in the destruction of most of the hydrogen-rich kerogen. This facies may be gas-prone (Barker, 1978; Rodger, 1980). The analytical data indicate that the Oligocene sediments have little or no hydrocarbon generating capacity. Likewise, Miocene sediments cannot be considered as a potential source rock.

**Table 3. Vitrinite reflectance data for Tertiary sediments from the Sivas Basin.**

Formation	Sample No	Vitrinite Reflectance (%)
Karacaören	Ka.4	0.23
	Ka.9	0.40
	Ka.44	0.23
	Ka.47	0.40
	Ka.49	0.21
	Ka.54	0.23
Hafik	Ka.97	0.22
	Ka.111	0.36
	H.6	0.27
	H.19	0.42
	H.20	0.23
Selimiye	S.32	0.54
	S.38	0.64
	S.125	0.38
Bozbel	B.42	0.45
	B.96	0.30
	B.119	0.93
Kozluca	K.7	0.67
	K.18	0.69
	K.22	0.68
	K.29	0.45
	K.46	0.39
	K.48	0.46
	K.63	0.61

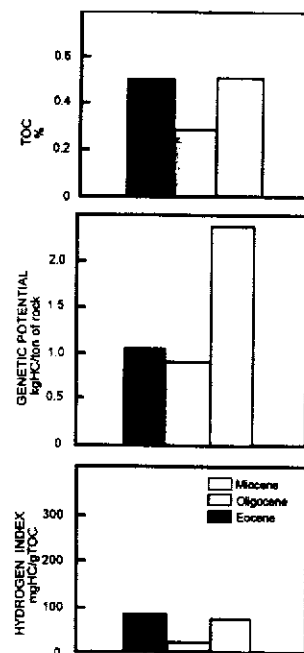


**Figure 6. Approximate boundaries of oil and gas zones in terms of vitrinite reflectance and kerogen types (Tissot and Welte, 1978) and distribution of surface samples from the Sivas Basin.**

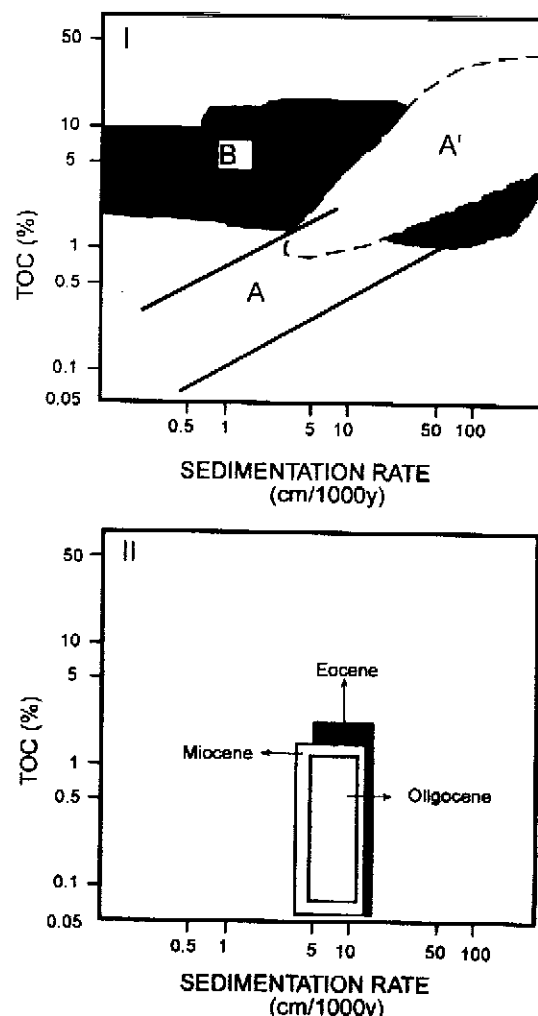
Figure 8 shows the organic-carbon/sedimentation rate relationship for different aged units in the Tertiary Sivas Basin. The following types of units can be identified in this plot. The Eocene sediments have low to medi-

**Table 4. Organic matter type of Tertiary sediments from the Sivas Basin**

Form.	Sample	Organic Matter Type			
		Amorp.	Herbac.	Woody	Coaly
Kören	Ka.4	-	15	20	65
	Ka.9	-	-	15	85
	Ka.44	-	10	65	25
	Ka.142	10	30	45	15
Hafik	H.7	-	15	25	65
	H.19	-	-	65	35
	H.20	-	-	45	55
Selimiye	S.5	10	55	10	25
	S.38	05	10	30	55
	S.108	-	30	20	50
	S.109	-	-	15	85
	S.110	-	05	20	75
	S.111	-	10	40	50
Bozbel	B.8	70	-	15	15
	B.10	60	30	05	05
	B.33	55	-	25	20
	B.41	35	-	30	35
	B.42	30	05	60	05
	B.43	30	50	15	05
	B.63	-	45	10	45
	B.96	30	05	45	20
Kozluca	K.18	60	-	20	20
	K.22	10	10	40	40
	K.29	25	35	05	35
	K.30	35	-	45	20
	K.37	60	-	20	20
	K.46	05	65	30	-
	K.48	10	55	20	15
	K.63	20	60	10	10



**Figure 7. Results of evolution of total organic carbon and petroleum potential by Rock-Eval pyrolysis of Miocene, Oligocene and Eocene units from the Sivas Basin.**



**Figure 8. Correlation between organic carbon contents and sedimentation rates for typical modern environments (from Stein, 1986). The depositional environments, corresponding to the fields A, A' and B, are defined as follows: (A) oxic deep-water conditions. (A') conditions of high organic productivity, characterized by high TOC values and high sedimentation rates of pelagic material. (B) anoxic deep-water conditions (1). Plot of sedimentation rate against TOC values for Eocene, Oligocene and Miocene units of the Sivas Basin.**

um TOC values and comparatively high sedimentation rates. Oligocene sediments are generally characterized by very low to medium TOC values but extremely high sedimentation rates. Miocene sediments have extremely high sedimentation rates and low to medium TOC values. In the "organic carbon/sedimentation rate diagram" (Figure 8), the data from Eocene

**Table 5.** Clay mineral paragenesis of the investigated units. S: Smectite, I: Illite, C: Chlorite, 14S-14C: 14S-14C mixed layer clay minerals.

Form.	Sample	CLAY MINERALS			
		S	I	C	14S-14C
Karaca-ören	Ka.4	-	20	35	45
	Ka.9	30	10	30	30
	Ka.13	-	25	75	-
	Ka.14	-	05	35	60
	Ka.141	-	05	20	75
	Ka.146	70	05	25	-
Hafik	H.2	-	15	85	-
	H.18	55	-	45	-
	H.21	30	-	70	-
	H.25	-	10	15	75
Selimiye	S.22	-	20	80	-
	S.31	-	10	20	70
	S.32	-	20	75	-
	S.34	-	35	65	-
	S.36	-	25	75	-
	S.40	30	20	50	-
	S.45	-	20	75	-
	S.47	-	30	70	-
	S.79	20	30	35	15
	S.91	15	40	35	10
	S.92	25	45	30	-
	S.97	25	30	30	15
	S.109	35	40	25	-
	Bf.1	-	15	15	70
Bozbel	Bf.13	-	30	70	-
	Bf.14	-	10	30	60
	Bf.15	-	10	20	70
	Bf.17	25	05	25	45
	Bf.20	-	10	15	75
	Bf.21	25	15	-	60
	Bf.22	-	10	25	65
	Bf.23	-	15	20	65
	Bc.6	25	05	25	45
	Bc.22	-	10	25	65
	Bc.35	-	10	45	45
	Bc.38	10	-	20	70
	Bc.39	-	20	20	60
	Bc.42	-	20	45	35
Kozluca	Bc.62a	-	20	35	45
	Bc.62b	-	30	35	30
	K.1	-	25	75	-
	K.7	15	05	15	65
	K.24	-	10	35	65
	K.45	20	05	-	75
	K.47	15	10	-	75
	K.52	65	-	-	35
	K.54	-	10	15	75
	K.63a	-	15	35	50

sediments fall into the "oxic deep-water field" (A), partly "high organic productivity field" (A') and "anoxic deep-water field" (B), whereas the data points from Oligocene and Miocene sediments lie in the "oxic deep-water field" (A).

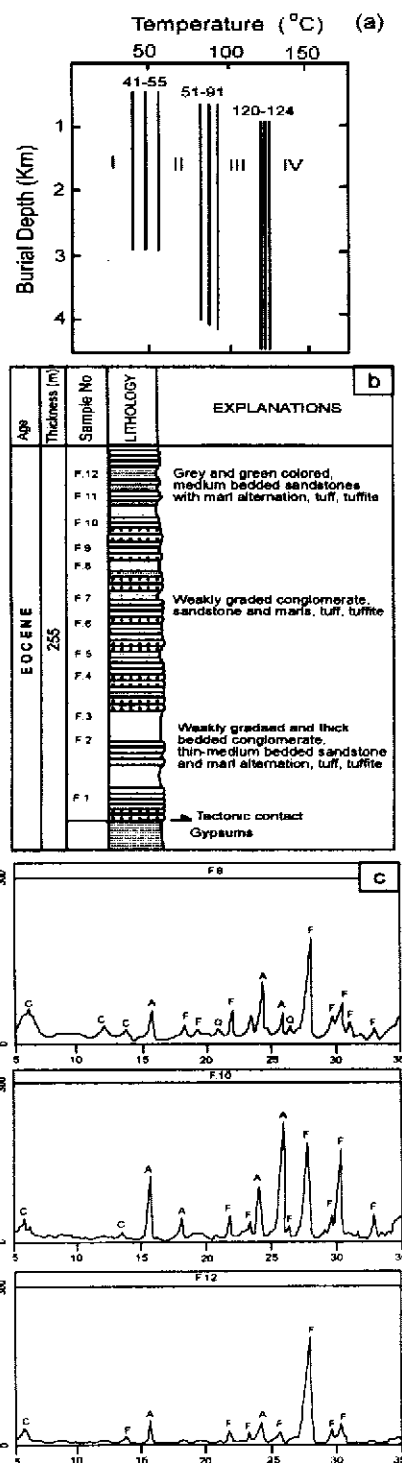
Clay mineral analyses demonstrate that the most abundant clay mineral species is corrensite (14S-14C), followed by illite and smectite (Table 5). It is known that liquid hydrocarbon migration is greatly assisted by the transformation of smectite into the interlayered clay mineral groups (Dunoyer de Segonzac, 1969) and on this criterion the Eocene shales falls within the petroleum production "window". Despite the widespread occurrence of illite it was possible to obtain illite crystallinity indices from only 6 Eocene samples, which yielded values in the range 4-6 degrees, i.e. the diagenesis-anhemitomorphic zone (Özçelik and Altunsoy, 1996).

Examination of volcanoclastic samples from location 5 within the basin reveals details of the formation of zeolite minerals. A zeolite mineral identified as analcime occurs in the Eocene tuffs and sandstones from the Sivas Basin (Altunsoy ve Özçelik, 1995). The occurrence of diagenetic minerals in sandstone pore systems has important implications for hydrocarbon exploration and development (Iijima, 1988). Zeolites in the Sivas Basin primarily occur as alteration products of volcanic rock fragments and as authigenic minerals. Analcime and albite are present in both tuffs and sandstones. Both zeolite and clay minerals results are supported by data from Rock-Eval pyrolysis and kerogen microscopy (Özçelik, 1996; Figure 9).

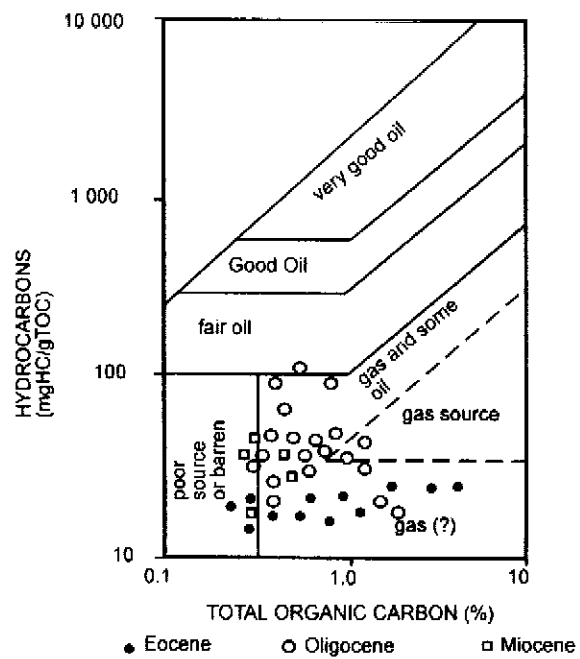
Based on the average HI and TOC values, the Eocene sediments appears to constitute a potential gas-prone source rock (Figure 10). They consist mainly of fine grained sediments deposited in relatively shallow waters, and contain more organic matter than the Oligocene and Miocene sediments.

#### ACKNOWLEDGEMENTS

The author thanks Dr. Mehmet Altunsoy, Dr. Orhan Tatar, Nazan Yalçın (Cumhuriyet University), İlker Şengüler (MTA, Ankara, Turkey) and Dr. Peter Walkoo (Geochem Laboratories, UK), for their contributions. This study was supported by the Research Foundation of the Cumhuriyet University. Professor A.C. Scott (Royal Holloway & Editorial Board) is thanked for his detailed comments on the original MS and the staffs of MIPJAL (Dept. of Geological Eng. of Cumhuriyet University).



**Figure 9.** a-Relationship between tempe- rature and burial depth of the zeolite zones (Iijima, 1988), b-Zeolitic section of the Eocene unit from location 5 (Özçelik, 1996), c-Whole rock diffractograms of zeolitic samp-les (F.9, F.10 and F.12 samples) from the Eocene tuffs and sandstones in the Sivas Basin (C: Clay, F: Feldspar, Q: Quartz, A: Analcime) (Özçelik, 1996).



**Figure 10.** Sources richness plot of the Sivas Basin (revised from Jackson et al., 1985).

## REFERENCES

- Aktaş, G. and Robertson, A.H.F., 1984, The Maden complex, SE Turkey; Evolution of a Neotethyan active margin, In: J.E. Dixon and A.H.F. Robertson (Eds.), The Geological Evolution of the Eastern Mediterranean. Spec. Publ. Geol. Soc., London, 17, 375-402.
- Altunsoy, M., 1993, Karacaören (İmrانlı)-Diktaş (Divriği) yöresi Tersiyer çökellerinin sedimanter petroloji, petrol ana kayası ve organik fasiyes özelliklerinin incelenmesi: C.Ü. Fen Bilimleri Enst., PhD Thesis, 278 pp.
- Altunsoy, M. and Özçelik, O., 1995, Zara-İmrانlı (Sivas) güneyi Tersiyer çökellerinin petrol ana kayası özellikleri. Journal of Engineering and Architecture Faculty of Süleyman Demirel University, 8, 1-20.
- Arpat, E., 1964, Gürlevik Dağı böggesinin jeolojisi ve petrol olanakları. MTA Rap. No. 4180 (Unpublished).
- Artan, Ü. and Sestini, G., 1971, Sivas-Zara-Beypinarı bölggesinin jeolojisi. MTA Derg., 76, 80-97.
- Barker, C., 1978, Plate tectonics, organic matter and basin evaluation (Abstr.). AAPG Bull., 62, 93.

- Blumenthal, M., 1937, Kangal ile Divriği arasındaki mıntıkkada başlıca jeolojik hatlar: MTA Rap. No. 568 (Unpublished).
- Cater, J.M.L., Hanna, S.S., Ries, A.C. and Turner, P., 1991, Tertiary evolution of the Sivas BASIN, Central Turkey. *Tectonophysics*, 95, 29-46.
- Demirmen, F., 1965, Sincan bölgesi (Zara-Divriği) genel jeolojisi. 1/25000 ölçekli 139 c4 paftası MTA Rap. No. 4127 (Unpublished).
- Dow, W.G. and O'Connor, D.I., 1982, Kerogen maturity and type by reflected light microscopy applied to petroleum exploration. S.E.P.M. Short Course Note, 7, 133-157.
- Durand, B., 1980, Sedimentary organic matter and kerogen, definition and quantitative importance of kerogen. In: (Durand, B., Ed.), *Kerogen*: Paris, Editions Tech., pp 13-14.
- Dunoyer De Segonzac, G., 1969, Les minéraux argileux dans la diagénèse passage au métamorphisme. Mémoire du service de la Carte Géol. d'Alsace et de Lorranie, 29, 320 p.
- Espitalie, J., Madec, M., and Tissot, B., 1977, Source Rock characterization. 9<sup>th</sup> Offshore Technology Conference, 3, 439-444.
- Gökçen, S.L., 1981, Zara-Hafik güneyindeki Paleojen istifinin Sedimentolojisi ve paleocografik evrimi, Yerbilimleri, 8, 1-21.
- Gökçen, S.L., 1982, Zara-Hafik (SE Sivas) ve Refahiye (SW Erzincan) bölgeleri Eosen filişinin sedimanter petrolojik yönünden karşılaştırılması. Yerbilimleri, 9, 141-147.
- Gökçen, S.L., and Kelling, G., 1985, Oligocene deposits of the Zara-Hafik region (Sivas-Central Turkey): Evaluation from storm-influenced shelf to evaporitic basin. *Geologische Rundschau*, 74/1, 139-153.
- Görür, N., Oktay, F.Y., Seymen, I., and Şengör, A.M.C., 1984, Paleo-Tectonic evolution of the Tuz Gölü Basin complex, Central Turkey: Sedimentary record of a neo-Tethyan closure. In: Dixon, S.E. and Robertson, A.H.F., (Eds.). *The geological evolution of the Eastern Mediterranean*. Geol. Soc. Spec. Publ. 17, 455-466.
- Hempton, M.R., 1985, Structure and deformation history of the Bitlis Suture near Lake Hazar, SE Turkey. *Geol. Soc. Am. Bull.*, 96, 233-243.
- Hutton, A.C., 1987, Petrographic classification of oil shales. *Int. J. Coal Geol.* 8, 203-231.
- Iijima, A., 1988, Application of zeolites to petroleum exploration (Kallo, D., and Sherry, H.S., Eds.), *Occurrence, properties and utilization of natural zeolites*, 29-37, Akadémiai Kiadó, Budapest.
- İllez, H.I., Rulkötter, J., Bati, Z. and Dellaloğlu, A.A., 1990, Sivas Başeninden alınan iki örnekte jeokimyasal belirleyiciler. Türkiye 8. Petrol Kongresi Bildirileri, 12-23.
- Inan, S., Öztürk, A., and Gürsoy, H., 1993, Ulaş-Sincan (Sivas) yörenin stratigrafisi. *Doğa-Türk Yerbilimleri Derg.*, 2, 1-15.
- Jackson, K.S., Hawkins, P.J. and Bennett, A.J.R., 1985, Regional facies and geochemical evolution of the Southern Denison Trough. *APEA Journ.*, 20, 143-158.
- Korkmaz, S., 1990, Sivas Havzasında ana kaya fasiyesi ve petrol oluşumunun jeokimyasal yöntemlerle araştırılması. *Jeoloji Müh. Derg.*, 37, 61-68.
- Kurtman, F., 1973, Sivas-Hafik-Zara-İmrani Bülgelerinin jeolojik ve tektonik yapısı. MTA Derg., 80, 1-32.
- Luettig, G., and Steffens, P., 1976, Explanatory notes for the paleogeographic atlas of Turkey from the Oligocene to the Pleistocene. Hannover, Bundesanstalt für Geowissenschaften und Rohstoffe, 64 p.
- Norman, T., 1964, Celalli (Hafik) bölgesinin jeolojisi. MTA Rap. No. 4114 (unpublished).
- Özçelik, O., 1996, Hidrokarbon aramalarında zeolitlerin kullanılmasına bir örnek: (İmrani güneyi-Sivas). *Jeoloji Mühendisliği*, 49, 49-54.
- Özçelik, O., and Altunsoy, M., 1991, Bolucan (Zara-Sivas) yöreninde Selimiye Formasyonunun (Oligosen) organik fasiyes özellikleri. Akdeniz Univ. İsparta Müh. Fak. Derg. Yerbilimleri, 10, (1), 37-41.
- Özçelik, O., Atalay, Z., and Altunsoy, M., 1993, Esesi (Erzincan) yöreninde Karacaören Formasyonu (Miyosen) şelf çökellerinin organik fasiyes incelemesi. C.U. Müh. Fak. Derg., Yerbilimleri, 10,(1), 37-41.
- Özçelik, O., and Altunsoy, M., 1996, Clastic petrofacies, provenance and organic facies of the Bozbel Formation (Lutetian) in the eastern Sivas Basin (Turkey). *Marine and Petroleum Geology*, 13, 5, 493-501.
- Peters, K.E., 1986, Guidelines for evaluating petroleum source rock using programmed pyrolysis. *AAPG Bull.*, 70 (3), 318-329.

- Poisson, A., Guezou, J.C., Öztürk, A., İnan, S., Temiz, H., Gürsoy, H., Kavak, K.Ş., and Özden, S., 1996, Tectonic setting and evolution of the Sivas Basin, Central Anatolia, Turkey, *Int. Geol. Review*, 38, 9, 838-853.
- Rodger, M.A., 1980, Application of organic facies concept to hydrocarbon source rock evaluation. 10<sup>th</sup> World Petroleum Congr. Proc. 2, pp. 425-440.
- Stach, E., Mackowsky, M.T., Teichmüller, M., Taylor, G.H., Chandra, D., and Teichmüller, R., 1982, Stach's textbook of coal petrology. Gebrüder Borntraeger, Berlin 535 p.
- Stein, R., 1986, Surface-water paleoproductivity as inferred from sediments deposited in oxic and anoxic deep water environments of the Mesozoic Atlantic Ocean, In: E.T. Degens et al., Eds. Biogeochemistry of black shales: Mitteilungen aus dem Geologisch-Palaontologischen Institut der Universität Hamburg, 60: 55-70.
- Salamon-Calvi, W., 1940, Anadolunun tektonik tarzı teşekkülü hakkında kısa izahat. MTA Mecmuası, 1, 35-45.
- Şengör, A.M.C., 1979, Mid. Mesozoic closure of Permo-Triassic Tethys and its implications. *Nature*, 279, 590-593.
- Şengör, A.M.C., Yılmaz, Y., and Sungurlu, O., 1984, Tectonics of the Mediterranean Cimmerides: nature and evolution of the western termination of paleo-Tethys. In: J.E. Dixon and A.H.F. Robertson (Eds.), *The Geological Evolution of the Eastern Mediterranean*. Geol. Soc. Spec. Publ., 17, 77-112.
- Tissot, B., and Welte, D.H., 1978, *Petroleum formation and occurrence*. Springer Verlag, Berlin, 538 p.
- Tunç, M., Özçelik, O., Tutkun, S.Z., and Gökçe, A., 1991, Divriği-Yakuplu-Ilıç-Hamo (Sivas) yörensinin temel jeolojik özellikleri, *Doğa*, 15, 225-245.
- Tüysüz, O., and Dellalioğlu, A.A., 1992, Çankırı havzasının tektonik birlikleri ve havzanın tektonik evrimi. *Türkiye 9. Petrol Kongresi, Bildiriler, Jeoloji*, p. 333-349.
- Yılmaz, A., 1981, Tokat ile Sivas arasındaki bölgede ofiyolitli karışığın kökeni, iç yapısı ve yerleşme yaşı, *TJK Bult.*, 24/1, 31-38.

## MUSULLU (TOKAT) BARAJ YERİNDEKİ KAYAÇLARIN KÜTLE ÖZELLİKLERİ

### ROCK MASS PROPERTIES OF THE ROCKS AT THE MUSULLU (TOKAT) DAM SITE

Ergun KARACAN  
Ahmet Turan ARSLAN

Cumhuriyet Üniversitesi, Jeoloji Mühendisliği Bölümü, Sivas  
Cumhuriyet Üniversitesi, Jeoloji Mühendisliği Bölümü, Sivas

**ÖZ :** Bu çalışmada Musullu baraj yeri kayaçlarının kayaç kütle özelliklerinin belirlenmesi ve inşaat uygulamaları açısından değerlendirilmesi amaçlanmıştır. Çalışma alanındaki kayaçları, metaofiyolitler, volkanitler (bazalt - spilit), alüvyon ve yamaç molozu oluşturmaktadır. Çalışma kapsamında baraj yerinin jeolojisi, kayaçların malzeme ve kütle özellikleri arazi ve laboratuvar çalışmaları ile belirlenmiştir. Elde edilen verilerin değerlendirilmesi sonucunda, baraj yeri kayaçlarının "orta-çok bozunmuş", çatlaklı - kırıklı, geçirgen, düşük kütle dayanımı, yüksek deformabilite oldukları belirlenmiştir. Kaya Kütte Değerlendirme (RMR) sınıflama sisteme göre ise, bu kayaçlar "zayıf kayaçlar" olarak tanımlanmışlardır. Baraj yerinin jeolojik yapısı, depremselliği, kayaçların kütle özellikleri ve inşaat malzemelerinin sağlanması olanaklarının birlikte değerlendirilmesi sonucunda; Musullu barajının kil çekirdekli toprak dolgu tipinde inşa edilmesinin uygun olduğu belirlenmiştir.

**Anahtar kelimeler :** Baraj, taşıma gücü, kaya kütlesi değerlendirme sistemi (RMR)

**ABSTRACT :** This study aims to determine the rock mass properties of the Musullu dam site and to evaluate them in terms of dam construction. The rocks in the study area are composed of metaophiolite, volcanic rocks (basalt - spilite), alluvium and debris. In this study geology of the dam site, material and mass properties of the rocks were investigated through site and laboratory studies. The evaluation of the field and laboratory data revealed that the rocks of the dam site are of "moderately - highly weathered", jointed - fractured, permeable, low mass strength and highly deformable type. According to the Geomechanics Mass Rating System (RMR) these rocks are of "poor - quality". Based on the geological structure of the dam site, seismicity, rock mass properties and the availability of construction material; it is concluded that Musullu dam should be an earthfill dam with a clay core.

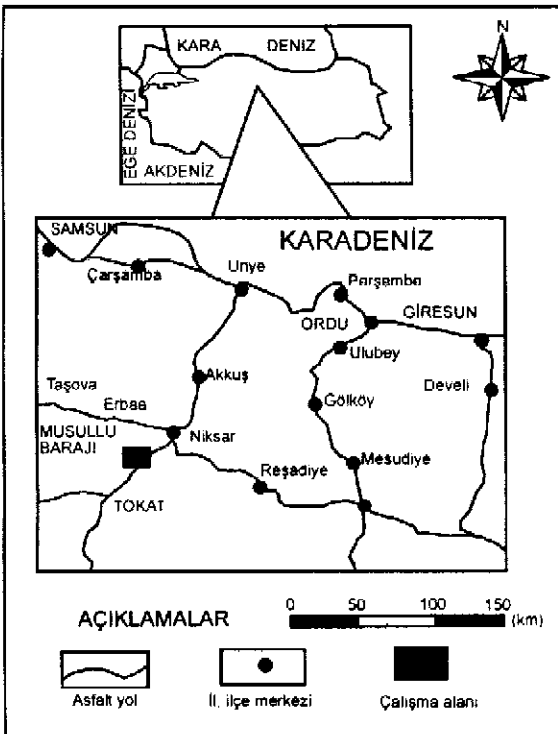
**Key words :** Dam, bearing capacity, rock mass rating system (RMR)

#### GİRİŞ

Çalışma alanı Tokat'ın 23 km kuzeydoğusunda, Niksar ilçesinin 12 km güneybatısında yer almaktadır (Şekil 1). Baraj eksen yeri Musullu köyünün 800 m güneyinde, Çikoru deresi üzerindedir. Musullu barajı sulama amaçlı, temelden yüksekliği 52.50 m, toplam rezervuar hacmi  $5.60 \text{ hm}^3$ , aktif hacmi  $5.40 \text{ hm}^3$  dür. Barajın kil çekirdekli zonlu toprak dolgu tipinde inşa edilmesi planlanmıştır. Bu projenin gerçekleştirilmesi ile Gökdere ovasına ait tarım alanları enerji kullanılmaksızın sulanacak ve yörenin sosyo - ekonomik yapısında önemli sayılabilecek iyileşmeler gerçekleşecektir.

Bu çalışma kapsamında, Musullu baraj

yeri kayaçlarının kayaç kütle karakteristiklerinin belirlenmesi ve bunların baraj inşası uygulamaları açısından değerlendirilmesi amaçlanmıştır. Bu amaca yönelik olarak baraj yeri kayaçlarının jeolojik ve jeomekanik özellikleri arazi incelemeleri ve laboratuvar deneyleri ile belirlenmiştir. Daha sonra baraj yeri kayaçlarının kaya kütte değerlendirme sınıflaması (RMR), değiştirilmiş kaya kütte değerlendirme sınıflaması (M-RMR) sınıflaması yapılmış ve kayaç kütelerinin nihai ve izin verilebilir taşıma güçleri belirlenmiştir. Baraj yeri kayaçlarının kütle özellikleri, baraj yerinin depremselliği ve inşaat malzemesi olanakları da göz önünde bulundurularak uygun baraj tipi seçimi yapılmıştır.



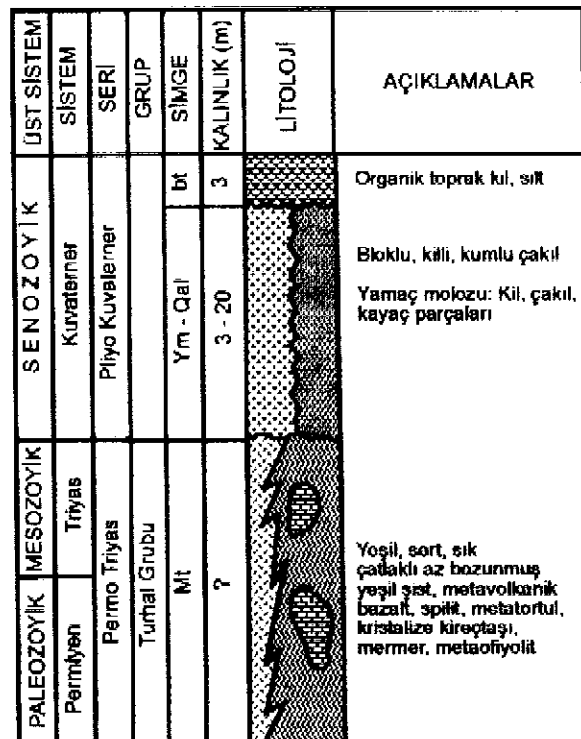
**Şekil 1. İnceleme alanı yer bilduru haritası.**  
Figure 1. Location map of the study area.

## JEOLOJİ

Baraj yeri ve göl alanı, Tokat masifi olarak tanımlanan bölge içerisinde yer almaktadır. Çalışma alanının temel kayaçlarını Permo-Triyas yaşılı Turhal Grubu kayaçları oluşturmaktadır. Bunların üzerine uyumsuz olarak Kuvaterner yaşılı alüvyon ve yamaç molozları ile birikinti konisi çökelleri gelmektedir (Şekil 2).

Bölgemin temelini oluşturan kaya topluluğu Blumenthal (1950) tarafından "Tokat Masifi", Özcan vd. (1980) tarafından "Turhal Grubu" olarak adlandırılmıştır. Bu birim, metamorfik kayaçlar, mermer-kristalize kireçtaşları blokları ve Permyen yaşılı kireçtaşları bloklarından oluşmaktadır. Kalkışlı, metavolkanit, metatortul, amfibolit, mermer-kristalize kireçtaşları ardalanmasından oluşan birim genellikle glokofanlı parajenezler içermekte olup, yüksek basınç-düşük sıcaklık koşullarında metamorfizmaya uğramıştır (Aktimur vd. 1990).

Baraj alanında Turhal Grubu kayaç topluluğunun metaofiyolit ve volkanitleri yer almaktadır. Metaofiyolitler baraj alanında en geniş yayılıma sahip kayaç birimini oluşturmaktadır. Bu kayaç birimi gri, yeşil ve kahverenkli, çatlaklı, eklemli yer yer belirgin şistoziteli bir yapıya sahiptir. İnce kesit çalışmalarında, bu

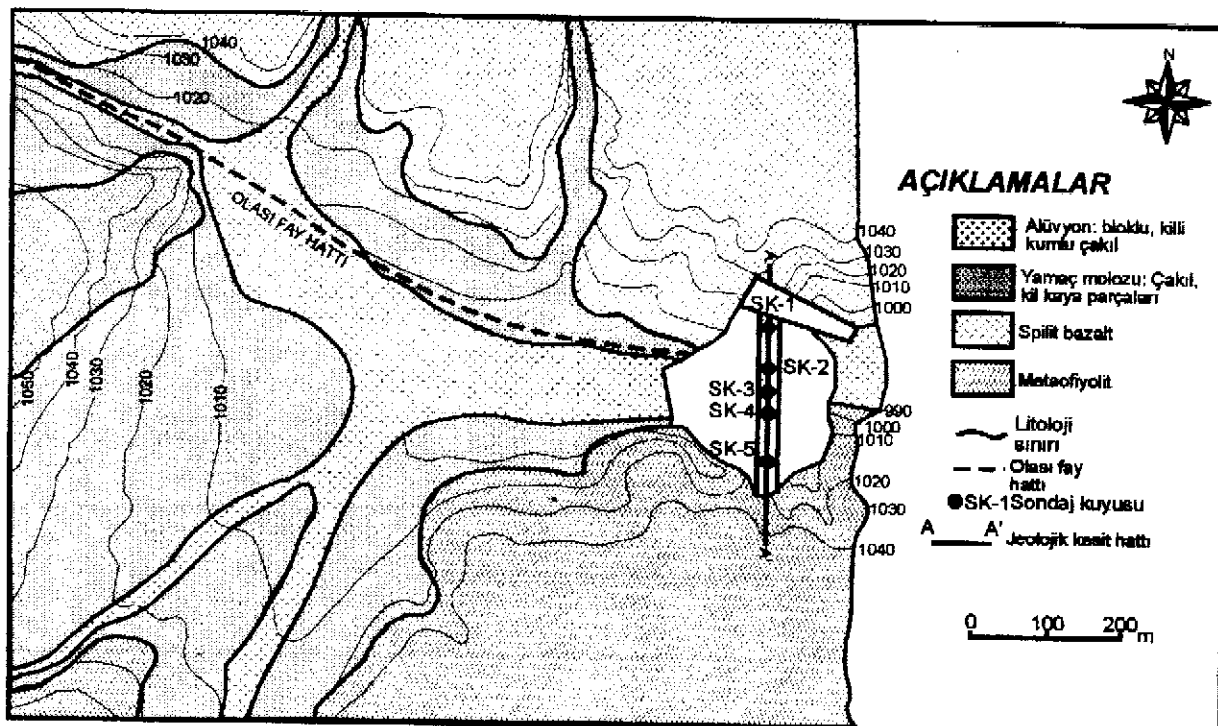


**Şekil 2. Baraj yeri ve yakın çevrenin stratigrafik dikme kesiti (ölçeksiz).**

Figure 2. Stratigraphic section of the study area and surroundings (not to scale).

kayaç biriminin porfirolepidoplastik dokulu olup, piroksen (ojit) ve serisit, klorit, kuvars ve opak mineralleri içerdiği belirlenmiştir. Çatlaklar kısmen kalsit ve kil dolguludur. Bu birim Baraj ekseninin tabanında ve sağ sahil boyunca geniş bir yayılıma sahiptir (Şekil 3).

Volkanitler baraj ekseninin sol sahilinde yer alırlar. Bu birim vadî tabanında başlayıp, maksimum su kotunun üzerine kadar devam etmektedir (Şekil 3). Göl alanı içerisinde de yüzeyleyen bu birim, çok geniş alanlar kaplamamaktadır. Birimin rengi siyah ve gri olup, gaz boşluklu kırıklı ve çatlaklı bir yapıya sahiptir. Birimde genel olarak kalınlığı 2-3 m ye varan bir ayrışma zonu gözlenmektedir. Birim, bazaltlar ve yer yer spilitlerden oluşmaktadır. Bazaltlarda yapılan ince kesit incelemelerinde, plajiyoklas, ojit, kalsit, volkanik cam ve opak mineraller belirlenmiştir. Volkanik camda kloritleşme, zeolitleşme yaygındır. Plajiyoklas ve ojitleerde ise karbonatlaşma görülmektedir. Kayaç kristalin dokuya sahiptir. Spilitler ise, mineralojik olarak ojit, plajiyoklas, volkanik cam, opak mineraller ve kalsitten oluşmaktadır. Volkanik camda killeşme, kloritleşme ve silisileşme yaygındır. Fenkristallerin hepsi kar-



**Şekil 3. Musullu baraj yerinin jeoloji haritası**  
Figure 3. Geological map of the Musullu dam site

bonatlaşmış olup, yersel olarak zeolitleşmeler ve silisleştirmeler görülmektedir. Kayaç, hipokristalın porfirik dokuya sahiptir. Volkanitler içerisinde denizaltı volkanizmasının ürünü olan yastık lav oluşumları yersel olarak gözlenmektedir. İnceleme alanı dışında kuzeyde çok geniş bir alanda yüzeyleyen bu birimin Aktimur vd. (1989) tarafından yaklaşık 600 m kalınlığında olduğu belirtilmektedir.

Çalışma alanında 1200 m lik bir uzunlukta izlenen Ezinepazarı fayı Şaroğlu vd. (1987) tarafından tanımlanmıştır. Bu fay, Niksar'ın 10 km güneybatısında başlayıp Ezinepazarı, Amasya ve Sungurlu' dan geçerek Delice güneyine kadar devam eder. Ezinepazarı fayı yaklaşık 250 km uzunlığında sağ yanal doğrultu atımlı bir fay olup, aktiftir (Şaroğlu vd. 1987). Fay genellikle Turhal Grubu kayaçları içerisinde doğu-batı doğrultusunda gelişmiştir. Fay boyunca fay denetimli olarak gelişmiş alüyon konisi çökelleri, su kaynakları, fay kili, heyelanlar (Yenice güneyi), ötelenmiş drenaj yapıları ve bataklık gibi diri fay morfolojileri izlenmektedir. Ezinepazarı fayı ayrıca Kuzey anadolu Fayı (KAF) ile benzer özellikler sunmaktadır (Şekil 4).

İnceleme alanındaki kayaçlar geçirdikleri orojenik fazlar sonucu çok kırıklı ve çatlaklı bir yapıya sahiptir. Özellikle metaofiyolitlerde

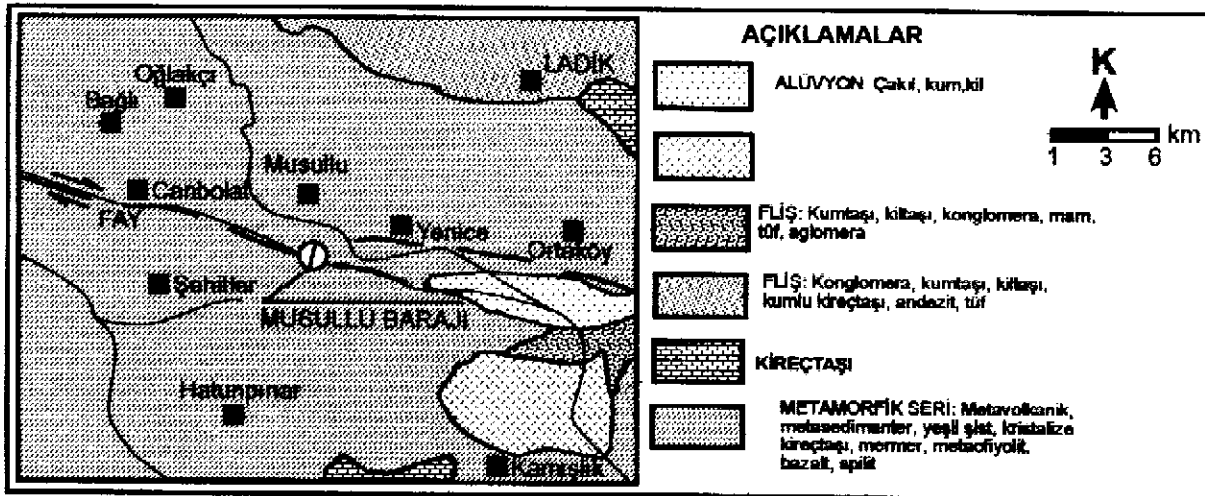
belirgin olmamakla beraber, yer yer kıvrımlı bir yapı gözlenmektedir. Kıvrımlanmalar düzensiz olduğu için ölçülebilecek özellikle kıvrım düzlemleri yoktur.

#### ARAÇ İNCELEMELERİ

Musullu baraj yerinin mühendislik jeolojisi Ersin (1993), baraj inşaatında kullanılacak toprak malzemelerin jeoteknik özellikleri ise Karacan vd. (1996) tarafından incelenip değerlendirilmiştir. Bu çalışma kapsamında Devlet Su İşleri Samsun VII. Bölge Müdürlüğü tarafından baraj yeri kayaçlarının jeolojik ve jeoteknik özelliklerini belirlemek için derinlikleri 25 - 45 m arasında değişen beş adet sondaj yapılmıştır. Sondaj karotları üzerinde kaya kütle sınıflamasında kullanılan temel parametreleri belirlemek için ayrıntılı süreksızlık incelemeleri yapılmıştır.

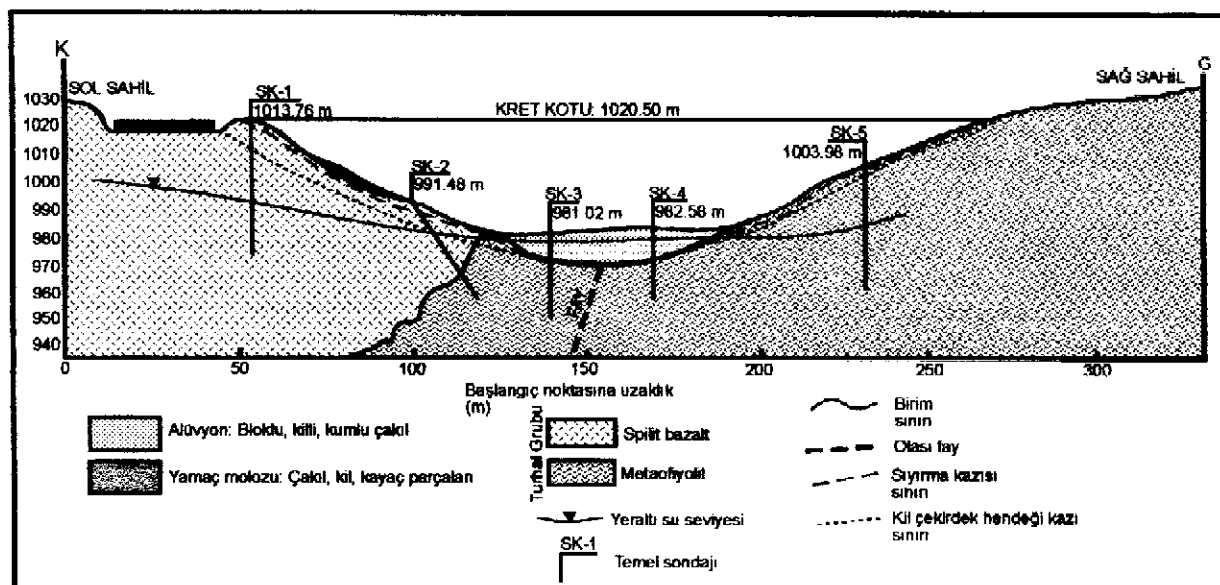
Sondajlardan laboratuvar deneyleri için temsili karot örnekleri alınmış ve kaya kütlelerinin geçirimlilik katsayılarını belirlemek amacı ile serbest geçirimlilik ve Lugeon geçirimlilik deneyleri yapılmıştır. Baraj yerinde açılan sondaj kuyularından yararlanılarak baraj ekseninin jeolojik kesiti hazırlanmıştır (Şekil 5).

Sondajlardan yararlanılarak hazırlanan temel kayası profilleri ve kaya kütle kalite değerleri (RQD) Şekil 6'da sunulmuştur. Şekil-



Şekil 4. Çalışma alanı ve yakın çevrenin genelleştirilmiş jeoloji haritası.

Figure 4. Generalized geological map of study area and surroundings.



Şekil 5. Baraj eksen yeri jeolojik kesiti.

Figure 5. Geological cross section through the dam axis.

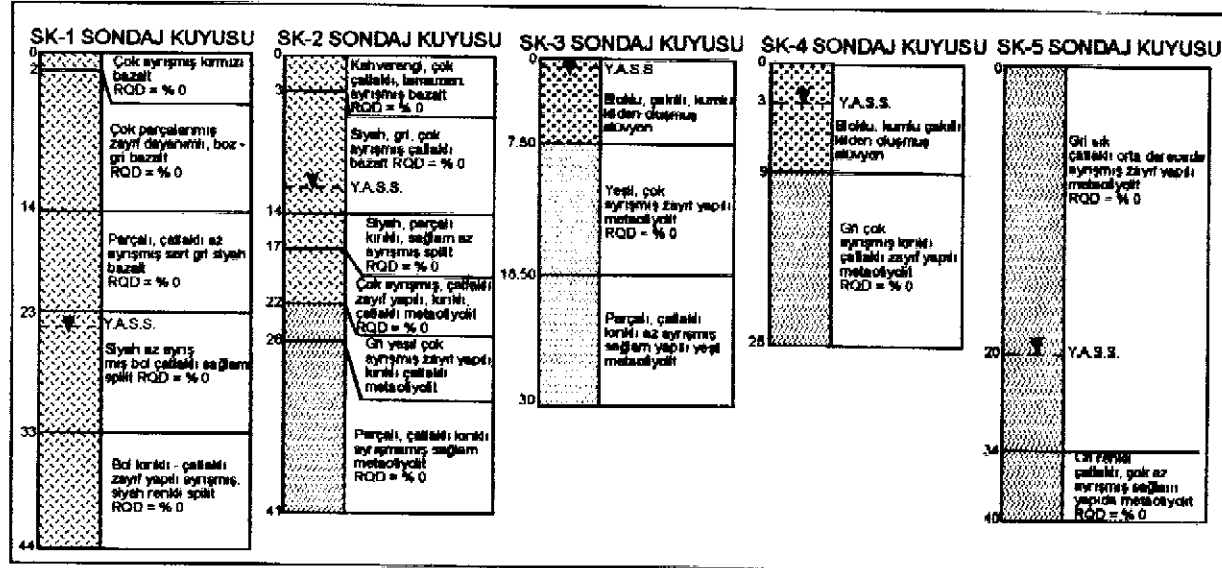
den görüldüğü gibi, baraj eksenindeki temel kayası tipik fay zonu özelliği göstermekte olup RQD değerleri genellikle % 0' dır.

### SÜREKSİZLİK ÖLÇÜMLERİ VE ANALİZLERİ

Baraj yeri kayaçlarındaki süreksızlıkların parametreleri kayaç mostralı üzerinde ISRM (1981) tarafından önerilen hat etüdü yöntemi kullanılarak belirlenmiştir. Kaya kütleleri içerisindeki süreksızlık parametreleri 6 ile 12 m uzunlukta değişen hatlar boyunca 9 farklı örnekleme alanında belirlenmiştir. Süreksızlık

etüd hatları, kaya kütleleri içerisinde yer alan süreksızlık parametrelerini belirgin bir şekilde saptamak için vadi yamaçlarında ve göl alanında tipik kaya mostrallarında gerçekleştirilmiştir. Metaofiyolitlerde 10, volkanik kayalarda ise 8 süreksızlık etüd hattı kullanılmıştır.

Süreksızlık parametreleri ISRM (1981) tarafından önerilen yöntemlere göre belirlenmiştir. Süreksızlıkların eklem yüzeyi dayanımı parametresini belirlemek için süreksızlık yüzeyleri üzerinde Schmidt çekici deneyleri yapılmıştır. Süreksızlık ölçümülerinden elde edilen



Şekil 6. Sondajlardan yararlanılarak hazırlanan temel kayası profilleri ve kaya kalite değerleri.  
Figure 6. Logs of the boreholes drilled at the dam site and values of rock quality designation.

bu parametreler Çizelge 1'de özetlenmiştir. Çizelge 1'de görüldüğü gibi volkanitler metaofiyolitlere göre daha çok çatıtlaklı ve zayıf kaya özelliğine sahiptir.

Kaya kütlelerindeki süreksızlık düzlemlerinin analizinden elde edilen kontur ve gül diyagramları Şekil 7'de sunulmuştur. Bu diyagramlara göre metaofiyolitlerde gelişen süreksızlıklar 2 eklem takımı ve gelişigüzel yönde gelişmiş kırık ve çatıtlardan oluşmaktadır. Takım oluşturan eklem yönelimleri K 60 D / 80° KB ve K 05 B / 40° GB dir. Volkanitlerde (bazalt-spilit) gelişen süreksızlıklar ise 3 eklem takımı ve gelişigüzel yönlerde gelişmiş eklemlerden oluşmaktadır. Takım oluşturan eklem yönelimleri K 05 B / 60° KD, K 60 B / 78° GB ve K 40 D / 70° GD' dir.

## LABORATUVAR DENEYLERİ

Baraj ekseninde yapılan sondajlardan elde edilen kayaç karotları (NQ - 47.6 mm çapında) üzerinde malzeme özelliklerini belirlemeye, tanımlamaya yönelik laboratuvar deneyleri ISRM (1981) tarafından önerilen yöntemlere uygun olarak yapılmıştır. Çalışma kapsamında yapılan laboratuvar deneyleri birim hacim ağırlığı, görünür gözeneklilik, tek eksenli basınç dayanımı, üç eksenli basınç dayanımı, indirekt (Brazilian) çekme dayanımı, nokta yük dayanım indeksi ve sağlam kayanın Schmidt sertlik ölçme deneylerinden oluşmaktadır.

Baraj yeri kayaçları üzerinde yapılan laboratuvar deneylerinden elde edilen verilerin istatistiksel değerlendirme sonuçları Çizelge 2'

ve Çizelge 3' te verilmiştir. Çizelge 2 ve 3' teki veriler ışığında Anon (1979)'a göre baraj yeri kayaçlarını oluşturan metaofiyolitler "orta kuru birim hacim ağırlıklı", "çok düşük gözenekli" ve "sağlam kayaçlar"; volkanitler ise "orta kuru birim hacim ağırlıklı", "düşük gözenekli" ve "orta derecede sağlam kayaçlar" olarak tanımlanmışlardır.

## KAYAÇ KÜTLE SINIFLAMASI

Baraj yeri kayaçlarının kayaç kütle sınıflaması, yapı temel inşaatlarında genel değerlendirmede ve kayaç kütelerinin taşıma güçlerinin belirlenmesinde kullanılabilir özellikle olması nedeni ile Bieniawski (1989) tarafından önerilen RMR Kaya Kütle Sınıflama Sistemi ve bu sistemin geliştirilmiş şekli olan, Ünal (1996) tarafından önerilen M - RMR Jeomekanik Sınıflama Sistemi'ne göre yapılmıştır. Baraj yerinde kaya kütle sınıflaması yapılırken süreksızlık aralıkları en çok rastlanan süreksızlık aralığı baz alınıp değerlendirilmiştir. Eklem yönelimine göre düzeltme ise eklemlerin baraj yerindeki doğrultu ve eğimlerinin baraj temel yapısı üzerindeki etkisi gözönüne alınarak uygun olarak değerlendirilmiştir.

Bieniawski (1989)'nin Kaya Kütle Sınıflama Sistemi'ne göre baraj yeri kayaçlarının kayaç kütle puanı değerleri metavolkanitler için  $RMR = 22$  (zayıf kayaçlar); metaofiyolitler için  $RMR = 28$  (zayıf kayaçlar) olarak tanımlanmıştır.

M - RMR Kaya Kütle Sınıflama Sistemi'nde Ünal (1996) tarafından önerilen eşitlikler ve

**Çizelge 1.** Baraj yeri kayaç çıkışlarında ya pilan hat etüdleriyle belirlenen süreksizliklerin ortalama parametreleri.

**Table 1.** Average discontinuity parameters determined from the scan-lines on the rock outcrops at the dam site.

SÜREKSİZLİK	KAYA BİRİMLERİ	
PARAMETRELER	METAOFİYOLİTLER	VOLCANİTLER
Aralık (cm)	30	7
Devamlılık (m)	4	0.4
Açıklık (mm)	2	3
RQD (%)	95	5
Eklem Yüzeyi Dayanımı (MPa)	75	30
Yüzey pürzülüğü	kaba, basamaklı	düz, basamaklı
Dolgu Malzemesi	kalsit, kil	kalsit, kil
Su durumu	kuru	kuru

abaklar kullanılarak baraj yeri kayaçlarının kayaç kütlesinin dayanım değerleri metavulkanitler için  $M - RMR = 31$  metaofiyolitler için  $M - RMR = 44$  olarak belirlenmiştir.  $RMR'$  de zayıf kayaç olarak tanımlanan metaofiyolitler,  $M-RMR'$  da "orta kaliteli kaya" gurubunda yer almaktadır.

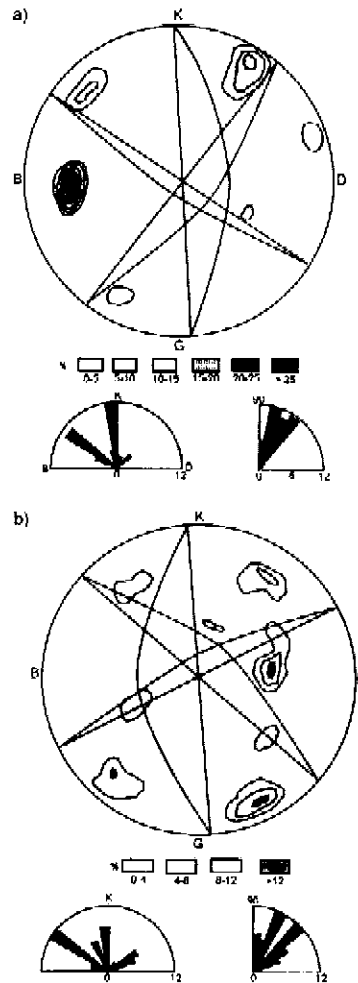
## KAYA KÜLTE DAYANIMI VE TAŞIMA GÜCÜ

Baraj yeri kayaçlarının baraj gövde inşaatından sonra etkisinde kalacakları düşey gerilmelere karşı koyabilme kapasitelerini tahmin etmek amacıyla kaya kütlesinin tek basınç dayanımı ve deformabilité özelliklerini belirlenmiştir. Kayaç kütelerinin tek eksenli sıkışma dayanımları ve kaya kütle deformabilité özelliklerinin belirlenmesinde Hoek ve Brown (1997) tarafından önerilen eşitlikler kullanılmış ve elde edilen sonuçlar toplu olarak Çizelge 4' de sunulmuştur.

Kayaç kütelerinin dayanım parametrelerinin belirlenmesinde kullanılan sağlam kayanın tek eksenli basınç dayanımı ( $\sigma_a$ ) ve Hoek - Brown kaya malzemesi sabiti ( $m$ ) parametreleri üç eksenli basınç dayanımı deneyleri sonucunda belirlenen asal gerilme ( $\sigma_1$ ,  $\sigma_3$ ) değerleri Hoek - Brown (1997) tarafından önerilen eşitliklerde yerine konularak elde edilmiştir.

Çizelge 4'de görüldüğü gibi, metavulkanitlerin kayaç kütlesinin tek eksenli basınç dayanımının 6.47 MPa ve daha sağlam bir yapıda olan metaofiyolitlerin ise 14.42 MPa düzeyinde olduğu belirlenmiştir. Metavol-kanitlerin kayaç kütle sıkışma dayanımlarının metaofiyolitlere göre daha düşük çıkması bu ka yacların daha fazla ayırmış ve daha yoğun eklenmeme sahip olmalarından kaynaklanmaktadır.

Kayaç kütelerinin nihai taşıma güçleri Serrano and Olalla (1994) tarafından önerilen eşitlikler kullanılarak metaofiyolitler için 10.97



**Şekil 7.** Baraj yeri kayaçlarında ölçülen kırık ve çatlakların kontur ve gül diyagramları analiz sonuçları a) Vulkanitler; b) Metaofiyolitler.

**Figure 7.** The results of contour and rose diagram analyses of joints and fractures measured in the dam site rocks.

**Çizelge 2.** Metaofiyolitere ait laboratuvar deney verilerinin istatistiksel değerlendirme sonuçları.

**Table 2.** Statistical analysis of laboratory test results of metaophiolites.

Jeoteknik Parametreler	En az	En çok	Aritmetik ortalama	Standart Sapma
Birim hacim ağırlığı (kN/m³)	24.00	24.50	24.35	0.32
Gözeneklilik (%)	0.40	0.43	0.42	0.02
Tek eksenli basınç dayanımı (MPa)	80.00	94.50	90.00	6.00
Dolaylı çekimle dayanımı (MPa)	5.00	7.00	6.50	0.90
Nokta yük dayanımı (MPa)	3.00	3.75	3.50	0.50
Kohezyon (c) (MPa)	-	-	16	-
İçsel sürünme açısı ( $\phi$ ) (°)	-	-	49	-

**Çizelge 3. Volkanitlere ait laboratuvar deney verilerinin istatistiksel değerlendirme sonuçları.**

**Table 3. Statistical analysis of the laboratory test data of volcanic rocks.**

Jeoteknik parametreler	En az	En çok	Arit. Ort.	Std. Sapma
Birim hacim ağırlık ( $\text{kN/m}^3$ )	24.20	24.35	24.30	0.20
Gözeneklilik (%)	5.2	6.2	6.0	0.42
Tek eksenli basınç dayanımı (MPa)	24.42	28.30	25.50	2.60
Brazilian çekme dayanımı (MPa)	4.50	5.5	4.90	0.70
Nokta yük dayanımı (MPa)	1.40	2.00	1.7	0.24
Kohezyon (c) (MPa)	-	-	13	-
İçsel sürtünme açısı ( $\phi$ ) (°)	-	-	36	-

**Çizelge 4. Metavolkanit ve Metaofiyolitlerin tipik kaya kütle özellikleri.**

**Table 4. Typical rock mass properties of metavolcanites and metaophiolites.**

Parametreler	Metavolkanit	Metaofiyolit
Sağlam kaya dayanımı $\sigma_a$ (MPa)	39.15	81.34
Hoek-Brown sabiti ( $m_1$ )	13.79	19.61
Hoek-Brown sabiti ( $m_2$ )	1.934	2.75
Hoek-Brown sabiti ( $s$ )	0.0022	0.0022
GSI (jeolojik dayanım indeksi)	45	45
İçsel sürtünme açısı $\phi$ (°)	35	36
Kohezyon (c) (MPa)	1.683	3.66
Deformasyon modülü Em (GPa)	4.692	6.763
Kaya kütle basınç dayanımı $\sigma_{cm}$ (MPa)	6.472	14.42
Kaya kütle çekme dayanımı $\sigma_{im}$ (MPa)	-0.043	-0.066

MPa ve metavolkanitler için 2.13 MPa olarak hesaplanmıştır. Kayaçların izin verilebilir taşıma güçleri Serrano and Olalla (1996) tarafından önerilen güvenlik katsayıları kullanılarak metaofiyolitler için 0.55 MPa metavolkanitler için 0.21 MPa düzeyinde olduğu belirlenmiştir.

### KAYAÇ KÜTLE DEFORMABİLİTESİ

Baraj inşaatlarında gövde inşaatının tamamlanması ile temel kayaçları üzerinde önemli bir ölçüde yükleme yapılmaktadır. Bu yük etkisi altında temel kayaçlarının göstereceği kütle deformabilitesi yapının duraylılığı açısından oldukça önemlidir. Bu nedenle, bu çalışma kapsamında da inşaat sonrası baraj temelinde meydana gelebilecek düşey yöndeki birim deformasyonları tahmin edebilmek için baraj yerindeki kayaç kütlesinin deformasyon modülleri Hoek -Brown (1997) tarafından önerilen eşitlik kullanılarak metaofiyolitler için 6.76 GPa, metavolkanitler için 4.69 GPa olarak

hesaplanmıştır.

Anon'a (1979) göre baraj yeri kayaçlarından metaofiyolitler "yüksek deformabilite", metavolkanitler ise "çok yüksek deformabilite" kayaçlar olarak tanımlanmışlardır. Bu nedenle baraj ekseninin metavolkanitler üzerine oturacak kesimlerinde oturma olasılığı daha büyük olacaktır.

### KAYAÇ KÜTLESİNİN GEÇİRİMLİLİKİ

Baraj projelerinde göz önünde bulundurulması gereken en önemli temel kayası özelliklerinden birisi de geçirimliliktrir. Dünyanın çeşitli yerlerinde temel kayaçlarından su kaçakları sonucu gelişen duraysızlık olayları ile yıkılan bir çok baraj vardır. Bu çalışma kapsamında baraj yeri kayaçlarının geçirimlilik katsayıları sondaj kuyularında yapılan basınçsız ve basınçlı (Lugeon) geçirimlilik deneyleri ile belirlenmiş olup, geçirimlilik tanımlamaları Anon'a (1979) göre yapılmıştır.

SK-1 sondaj kuyusunda kuyu boyunca volkanitlerin geçirimlilik katsayısı  $k = 10^{-3} - 10^{-5}$  cm/s olarak belirlenmiş ve "az geçirimli" olarak tanımlanmıştır. SK-2 kuyusunda 8 m' ye kadar bozunmuş bazaltların geçirimliliğinin  $10^{-3}$  cm/sn (orta geçirimli), 8-20 m arasında spilitlerin geçirimsiz ve daha derinlerdeki metaofiyolitlerin geçirimliliğinin  $10^{-3} - 10^{-4}$  cm/s arasında (düşük geçirimli) olduğu belirlenmiştir. SK-3 kuyusunda 8 m kalınlığa sahip alüvyonun  $10^{-2} - 10^{-3}$  cm/s lik geçirimliliğe (orta geçirimlilik) ve alttaki metaofiyolitlerden oluşan temel kayasının  $10^{-3} - 10^{-4}$  cm/s lik (düşük geçirimlilik) geçirimlilik değerlerine sahip olduğu belirlenmiştir. SK-4 sondaj kuyusunda 9 m kalınlıktaki alüvyonun geçirgenliği  $10^{-3}$  cm/s (orta geçirimli) ve bunun altında metaofiyolitten oluşan temel kayasının geçirimliliği 20 m ye kadar  $10^{-3} - 10^{-4}$  cm/s (düşük geçirimlilik) ve daha derinlerde tamamen geçirimsizdir. SK-5 sondaj kuyusu tamamen metaofiyolit içerisinde açılmış olup bu kayaç geçirimliliği  $10^{-3} - 10^{-5}$  cm/s (düşük geçirimlilik) arasında değişmektedir.

Bu verilere göre genel olarak baraj yerinde alüyon orta geçirimli zemin ve temel kayasını oluşturan volkanit ve metaofiyolitler "düşük - geçirimsiz kayaç" özelliğine sahiptir.

### SONUÇLAR VE TARTIŞMALAR

Bu çalışma kapsamında yapılan laboratuvar çalışmaları ve arazi incelemelerinin birlikte değerlendirilmesi ile varılan sonuçlar ve bunlarla ilgili tartışmalar aşağıda özetlenmiştir.

Musullu baraj yeri kayaçlarını metaofiyolitler ve volkanitler (bazalt - spilit) oluşturmaktadır. Bu kayaçlar fazia ayrışmaları, bol kıraklı ve çatlaklı olmaları, yer yer makaslama zonları ile tipik fay zonu kayacı özelliği taşımaktadırlar. Baraj yeri kayaçlarını

oluşturan metaofiyolitler "orta kuru birim hacim ağırlıklı", "çok düşük gözenekli" ve "sağlam kayaçlar"; volkanitler ise "orta kuru birim hacim ağırlıklı", "düşük gözenekli" ve "orta derecede sağlam kayaçlar" olarak tanımlanmışlardır (Anon, 1979).

Baraj yerinde açılan sondajlarda yapılan serbest ve basınçlı su geçirimsiz deneylerine göre alüvyon ortü "orta geçirimsiz" volkanitler "orta" ve metaofiyolitler "düşük geçirimsiz - geçirimsiz" olarak tanımlanmışlardır. Bu nedenle baraj temelinden olabilecek su kaçaklarını önlemek için geçirimsiz kıl çekirdek hendeği kazısı (cut - off) kazısı sonrasında temel kayaç kütelerinin geçirimsizliklerini gözönüne alarak tüm gövde altında uygun derinliklerde enjeksiyon perdesi oluşturulması gereklidir.

Baraj yeri kayaçları, Bieniawski (1989)'nin RMR Jeomekanik Sınıflama Sistemi'ne göre metavolkanitler ve metaofiyolitler için "zayıf" kayaçlar olarak tanımlanmışlar ve M-RMR Kaya Kütle Sınıflama Sistemine göre metavolkanitler  $M - RMR = 31$ , metaofiyolitler için  $M - RMR = 44$  olarak belirlenmiştir. Ayrıca baraj yeri kayaçları deformabilitelerine göre metaofiyolitler "yüksek deformabiliteli", metavolkanitler ise "çok yüksek deformabiliteli" kayaçlar olarak tanımlanmışlardır.

Kayaç kütelerinin nihai taşıma güçleri metaofiyolitler için 10.97 MPa, metavolkanitler için 2.13 MPa olarak hesaplanmıştır. Kayaçların izin verilebilir taşıma güçleri metaofiyolitler için 0.55 MPa metavolkanitler için 0.21 MPa düzeyinde olduğu belirlenmiştir. Baraj yüksekliğinin 52 m ve gövde inşaatında kullanılacak dolgu malzemesinin birim hacim ağırlığı ortalama  $20 \text{ kN/m}^3$  alındığında baraj temel kayasına gelecek olan düşey yöndeki en büyük sıkıştırıcı gerilimin 1.04 MPa düzeyinde olması beklenmelidir. Bu gerilim düzeyi de baraj yeri kayaçlarının izin verilebilir taşıma güçlerinden daha yüksektir. Bu nedenle "yüksek - çok yüksek" deformabiliteli kayaçlar olarak tanımlanan baraj yeri kayaçlarında taşıma gücü ve oturma problemlerinin ortaya çıkması olasıdır. Baraj yeri kayaçlarının bok kıraklı, çatıtlaklı, ayrılmış olmaları ve izin verilebilir taşıma gücünün düşük olması nedeni ile durayılık ve taşıma gücünü artırmak için memba ve mansap taraflında uygun aralıklarla ve derinliklerde iyileştirme enjeksiyonları yapılması uygun olacaktır.

Baraj yerinin, jeolojik yapısı kayaç kütle özellikleri, birinci derecede deprem bölgesinde yer alması ve inşaat malzemesi olanakları gözönüne alındığında; baraj gövdesinin kıl çekirdekli toprak dolgu tipinde inşa edilmesi uygun olacaktır.

## KAYNAKLAR

- Aktımur, H.T., Tekirli, M.E., Yurdakul, M.E., Ateş, S., Ürgün, B.M., Teoman M. Ş., Keçer, M., Turşucu, A., Genç, S., 1989. Niksar Erbaa ve Destek dolayının jeolojisi, MTA. Derleme No: 8894
- Aktımur, H.T., Tekirli, M.E., Yurdakul, M.E., Ateş, S., Ürgün, B.M., Teoman M. Ş., 1990. 1/100.000 ölçekli açınsama nitelikli Türkiye jeoloji haritaları serisi, Tokat - D23 paftası, MTA Yayıncı, No 165.
- Anon, 1979. Classification of rocks and soils for engineering geological mapping, part 1, rock and soil materials, report of the commision of engineering geological mapping: Bull. International Association of Engineering Geology, 19, 364 - 371.
- Blumenthal, M.M., 1950. Beiträge zur geologie des landscheiten ammitleren und unteren Yeşilırmak (Tokat, Amasya, Havza, Erbaa, Niksar), MTA Yayıncı, S:D, No:4.
- Bieniawski, Z. T., 1989. Engineering Rock Mass Classification: Mc Graw Hill, NY, 237 p.
- Ersin, N., 1993. Musullu (Tokat - Merkez) barajının mühendislik jeolojisi incelemesi. C.U. Fen Bil. Enst, Sivas, Yüksek Mühendislik Tezi, 63 s (yayınlanmamış).
- Hoek, E. and Brown, E.T., 1997. Practical estimates of rock mass strength. Int. J. Rock Mech. Min. Sci., 34, 1165 - 1186.
- ISRM, 1981. Rock Characterization Testing and Monitoring (Ed: E.T. Brown, ISRM Suggested Methods): Pergamon Press, Oxford, England, 211 p.
- Karacan, E., Yılmaz, I., Ersin, N., 1996. Musullu barajı (Tokat) inşaatında kullanılacak toprak malzemelerin jeoteknik özellikleri: Zemin Mekaniği ve Temel Mühendisliği Altıncı Ulusal Kongresi, Bidiriler Kitabı, Dokuz Eylül Univ., İzmir, C.1. 109-118.
- Özcan, A., Armağan, F., Erkan, A., Keskin, E., Oral, A., Özer, S., Sümengen, M., Tekeli, O., 1980. Kuzey Anadolu Fay ile Kırşehir Masifi arasında kalan alanın temel jeolojisi MTA Der.6722 (yayınlanmamış).
- Şaroğlu, F., Emre, Ö., Boray, A., 1987. Türkiye'nin diri fayları ve depremsellikleri, MTA Derleme No: 8714.
- Serrano, A., Olalla, C., 1994. Ultimate bearing capacity of rock masses. Int. J. Rock Mech. Min. Sci., 31, 93 - 106.
- Serrano, A., Olalla, C., 1996. Allowable bearing capacity of rock foundations using a non-linear failure criterium. Int. J. Rock Mech. Min. Sci., 33, 4, 327 - 345.
- Ünal, E., 1996. Modified Rock Mass Classification: M-RMR System. Mileston in Rock Engineering, The Bieniawski Jubilee Collection, A.A. Balkema Rotterdam, 203 - 222.

## SİVAS HAVZASI MERKEZİ KESİMINDE OLIGO-MİYOSEN YAŞLI PALEO-ORTAMLAR-KİL MINERALOJİSİ İLİŞKİSİ

### RELATIONSHIP OF CLAY MINERALOGY TO OLIGO-MIOCENE PALEO-ENVIRONMENTS IN THE CENTRAL PART OF THE SİVAS BASIN, TURKEY

Hüseyin YALÇIN  
Ömer BOZKAYA  
André POISSON

Cumhuriyet Üniversitesi, Jeoloji Mühendisliği Bölümü, 58140 SİVAS  
Cumhuriyet Üniversitesi, Jeoloji Mühendisliği Bölümü, 58140 SİVAS  
Université Paris-Sud, CNRS, 91504 Orsay Cedex, FRANCE

**ÖZ :** Sivas Baseni, Neotetis'in kuzey kolunun kapanmasından sonra Kretase sonunda oluşmaya başlayan Orta Anadolu basenlerinden birisidir. Sivas Baseni çökelleri Kretase-Pliyosen yaş aralığına sahip denizel ve karasal dizilimler içermektedir. Jeolojik haritalama ve biyostratigrafik verilere göre, Sivas Baseninin merkezi kesimindeki Oligo-Miyosen istifi açık deniz, lagün ve göl olmak üzere üç farklı ortamda çökelmiştir. Bu çalışmada, optik mikroskopî ve XRD yöntemleriyle Oligo-Miyosen yaşı paleo-ortamlar ile kil mineralojisi arasındaki ilişkiler araştırılmıştır. Açık denizel ortama ait marnlarda kil (smektit ± illit veya ± karışık tabakalı illit-smektit/I-S) + kalsit ± kuvars ± feldispat birikteligi bulunmaktadır. Lagünel ortamda birbirleriyle yanal geçişli olan çökellerden, alt seviyeleri temsil eden silttaşları ve kumtaşları kil + kalsit + feldispat + kuvars ± analçim içermektedir. Üst seviyede yer alan kil laminasyonlu jips ve jipsli marnlarda kil (smektit + illit + I-S + klorit) + jips + kalsit ± kuvars ± opal-CT ± feldispat ve organik maddece zengin marnlarda ise kalsit + kil (kaolinit + smektit + I-S ± illit) ± kuvars ± feldispat ± jips mineralleri görülmektedir. Gölsel marnlarda kil (smektit + paligorskít ± illit ± klorit ± karışık tabakalı illit-smektit/I-S ve C-S) + dolomit ve/veya kalsit + feldispat + kuvars biriktelikleri saptanmıştır. Açık denizel ortamda smektit ve kalsit, lagünel ortamda jips, kalsit, smektit ve kaolinit, gölsel ortamda ise dolomit, paligorskít ve smektit egemen ve paleo-ortamları karakterize eden diyajenetik minerallerdir. Miyosen yaşılı birimler, yanal ve dikey yöndeği fasiyes değişimlerinin yanı sıra, kil mineral biriktelikleri ile havzadaki benzer görünümlü Oligosen ve Eosen yaşılı birimlerden ayırlabilmektedir.

**Anahtar kelimeler :** Paleo-ortam, fasiyes, kil minerali, Oligo-Miyosen, Sivas havzası

**ABSTRACT :** Sivas basin is the one of Central Anatolian Basins occurred after the closure of the northern branch of Neotethys in the uppermost of Cretaceous. Sivas basin sediments contain marine and continental sequences having from Cretaceous to Pliocene ages. Oligo-Miocene sequence in the central part of the Sivas basin was deposited in three different environments as open sea, lagoon and lake based on the geologic mapping and biostratigraphic data. In this study, the relationship between Oligo-Miocene paleo-environments and clay mineralogy has been investigated by means of optical microscopic and XRD methods. An association of clay (smectite ± illite or ± mixed-layered illite-smectite/I-S) + calcite + quartz ± feldspar is present in the marls of the open marine environment. In the lagoon environment sediments with lateral transition to each others are subdivided into two levels. Siltstone and sandstones representing lower levels contain clay + calcite + feldspar + quartz ± analcime. However, the upper level is characterized by clay (smectite ± illite ± I-S ± chlorite) + gypsum + calcite ± quartz ± opal-CT ± feldspar in the clay laminated gypsums and gypsum-bearing marls and calcite + clay (kaolinite + smectite ± I-S ± illite) ± quartz ± feldspar ± gypsum in the marls rich in organic material. The assemblages of smectite + palygorskite ± illite ± chlorite ± I-S and C-S + dolomite and/or calcite + feldspar + quartz are recognized in the lacustrine marls. Environments as open marine, lagoon and lacustrine are dominated by diagenetic mineral suites such as smectite and calcite; gypsum, calcite, smectite and kaolinite; and dolomite, palygorskite and smectite, respectively. Units with similar appearances in the basin in which Miocene units could not only distinguished by lateral and vertical facies changes but also clay mineral associations from Oligocene-Eocene units.

**Key words :** Paleo-environment, facies, clay mineral, Oligo-Miocene, Sivas basin

## GİRİŞ

Sivas Baseni, Neotetis'e ait ofiyolitik melanj ve ofiyolitik napların Kretase sonunda Toros kuşağı üzerine tektonik yerleşiminden sonra gelişmiş Orta Anadolu basenlerinin en önemlilerinden birisidir. Bunun sonucu olarak Sivas Baseni'ne malzeme aktarımı Geç Kretase sonunda başlamıştır. Çökeller, Paleosen ve Erken Eosen'de açık, Lütesiyen'de sığ denizel tiptedir. Oligosen ve Miyosen zamanları sınırlı denizel ve gölsel alanların da eşlik ettiği açık, kısmen derin deniz gibi ortamların farklılaşması ile karakteristiktedir. Sivas Baseni'nin batı kesiminde (Gemerek-Şarkışla) Oligo-Miyosen dizilişi bütünüyle karasal, çoğunlukla gölseldir. Bu seriler memeliler (Oligosen-Miyosen-Pliyosen) ve arakatkılı bazaltlardan elde edilen yaklaşık 15 Ma (Miyosen) K/Ar değeri ile yaşlandırılmıştır (Sümengen ve diğ., 1990).

Bu çalışmada incelenen Sivas kenti çevresinde üç ana çökelme ortamına karşılık gelen dizilipler ortaya konulmuştur (Poisson ve diğ., 1997). Bnlardan birincisi Orta-Geç Oligosen ve Erken Miyosen sırasında bütünüyle denizel marn (planktonik foraminifera'lı) ve yer yer kumtaşları içermektedir. Açık denizel resif ortamına karşılık gelen ikinci ana ortam, önceki ortamın güney kenarlarında gelişmiştir. Üçüncü tip, oldukça değişken olup, sığ denizel alanlar (zengin gastropoda'lı), sınırlı denizel ve lagünel alanlar ile zaman zaman bütünüyle gölsele geçen ortamları kapsamaktadır. Bu üç farklı ortam, küçük bindirmeler ile birbirinden ayrılan üç belirgin yapısal birim içinde yüzeylemektedir (Poisson ve diğ., 1996; Poisson ve diğ., 1997).

Sivas Basenindeki farklı çökelme ve beslenme koşulları, denizel ve karasal istiflerin yanal/düsey tekrarlanması ortaya çıkarmıştır. Bu nedenle Sivas Baseninin genel paleo-coğrafyasının kurulması, tektonik yapılarının ve her bir paleo-ortamın ayrıntılı incelenmesini gerektirmektedir. Bu çalışma, farklı dizilipler içeren ortamlar ile bunların mineralojik özellikleri arasındaki ilişkilere bir yaklaşımda bulunmayı amaçlamaktadır.

## STRATIGRAFİ VE LİTOLOJİ

Sivas Baseninin temelini güney kenarında Toros kuşağına ait Üst Kretase-Paleosen yaşı Tecer formasyonu karbonatları (Yalçın ve İhan, 1992), kuzey kenarında Kırşehir Masifi metamorfitleri oluşturmaktadır. Neotetis'in okyanusal kabuk kalıntılarını içeren allokon dizilipler (ofiyolit ve melanjler) her iki kenar boyunca yüzeylemektedir (Şekil 1).

Sivas Basenindeki Geç Paleosen-Pliyosen yaşı formasyonlarının diziliimi,

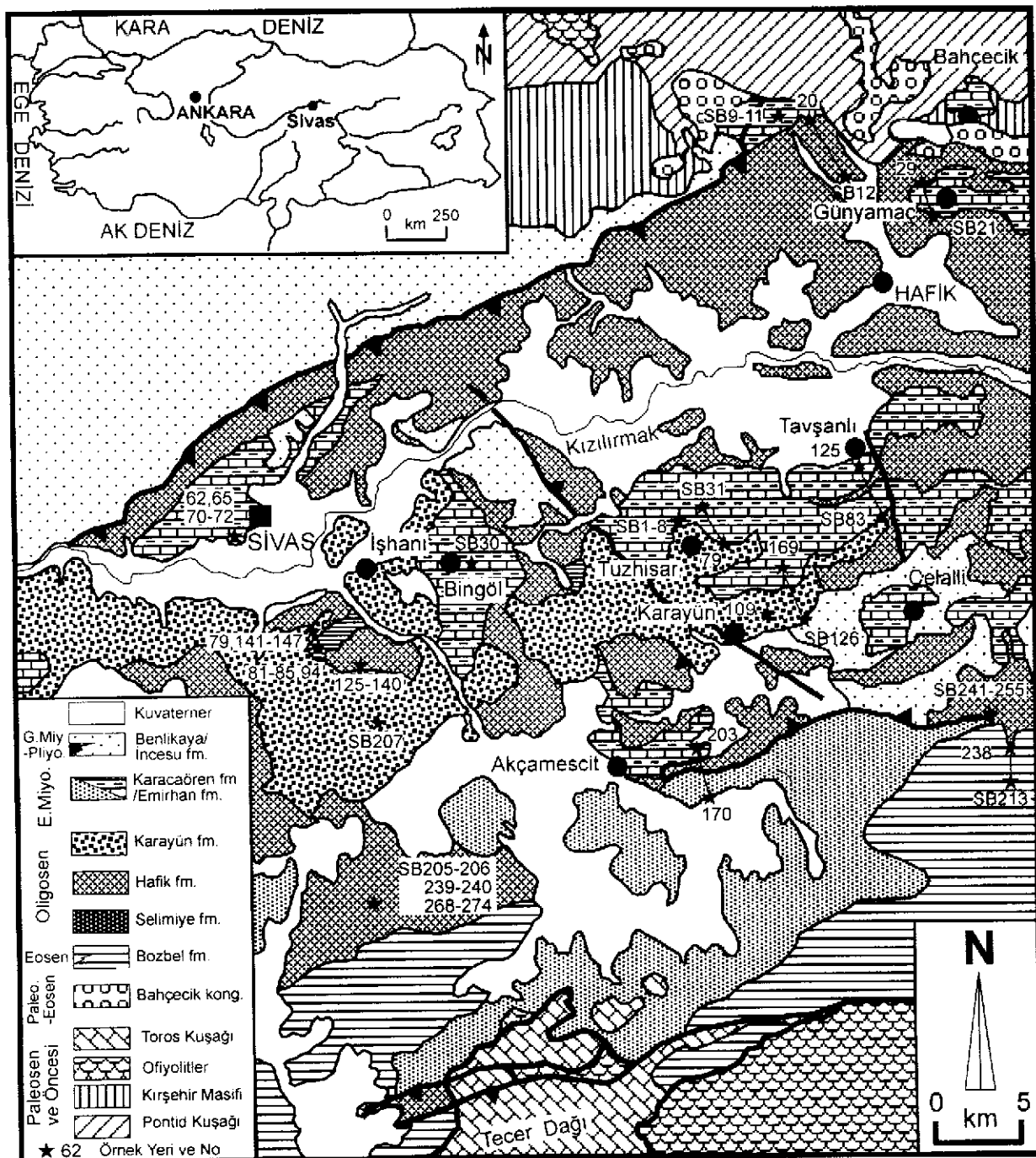
Kurtman'ın (1973) çalışması temel alınarak Poisson ve diğ. (1996) tarafından yeni kronolojik verilerin ışığında yeniden düzenlenmiştir (Şekil 2). İlk çökelen denizel sedimanları Geç Paleosen-Erken Eosen yaşı Bahçecik konglomeralleri oluşturmaktadır. Erken-Orta Eosen yaşı Bozbel formasyonu ender olarak jips arakatkılı içeren, çoğunlukla gri renkli volkanojenik Kumtaşı-şeyl-kireçtaşı ile temsil edilmektedir. Oligosen yaşı birimler Selimiye formasyonu ile başlamakta olup, bu birim kırmızı-yeşil arasında değişen renklere sahip kumtaşı-marn ardalanmasından; Hafik formasyonu kırmızı kultaşı ve kumtaşı arakatkılı (maksimum 10 m) içeren masif jipslerden, Karayün formasyonu (Cater ve diğ., 1991) kırmızı renkli marn arakatkılı kumtaşı-konglomera ardalanmasından oluşmaktadır. Selimiye ve Karayün formasyonları birbirinin yanal (Poisson ve diğ. 1996) ve düşey eşdegeri gözükmemektedir.

Erken Miyosen yaşı Karacaören formasyonu, basenin değişik kesimlerinde fasiyes ve kalınlık bakımından oldukça değişiklik göstermeye olup, alta lagünel kireçtaşı arakatkılı yeşil renkli kultaşı/marn-jips-kumtaşı ardalanması, üstte tipik sığ denizel, fosilce zengin kalkarenit ve resifal kireçtaşları bulunmaktadır. Emirhan formasyonu ise marn-kumtaşı ardalanmasından ile temsil edilmekte olup, Karacaören formasyonunun gölsel fasiyesteki yanal eşdegeri olarak değerlendirilebilir. Benlikaya formasyonu (Pisoni, 1965); olasılıkla Orta-Geç Miyosen yaşı, kırmızı renkli karasal çökellerden (ince jips ve linyit arakatkılı kumtaşı, konglomera, silttaşı, kultaşı) oluşmaktadır. Geç Miyosen-Pliyosen yaşı İncesu formasyonu (Yılmaz, 1983) gölsel kireçtaşı ve marn arakatkılı az pekişmiş kum ve çakıl, Pliyosen yaşı Merakom formasyonu gölsel marn ve kireçtaşları içermekte olup, İncesu formasyonu'nun karbonatlı kayaçlarına karşılık gelmektedir.

## MATERIAL VE YÖNTEM

Sivas Baseninin merkezi kesimini temsil eden çoğunluğu Oligo-Miyosen yaşı birimlerden olmak üzere toplam 100 örnek alınmıştır. Örneklerin ince-kesitleri, X-işinleri kırınımıları (tümkayaç, kil fraksiyonu, smektitlerin  $d_{002}$  ölçümü) ve kimyasal analizleri Cumhuriyet Üniversitesi Jeoloji Mühendisliği Bölümü Mineraloji-Petrografi ve Jeokimya Araştırma Laboratuvarları'nda (MIPJAL) gerçekleştirilmiştir.

X-işinleri çözümlemelerinden (Rigaku marka DMAX IIIC model X-işinleri Difraktometre) elde edilen toz difraktogramlarında saptanan

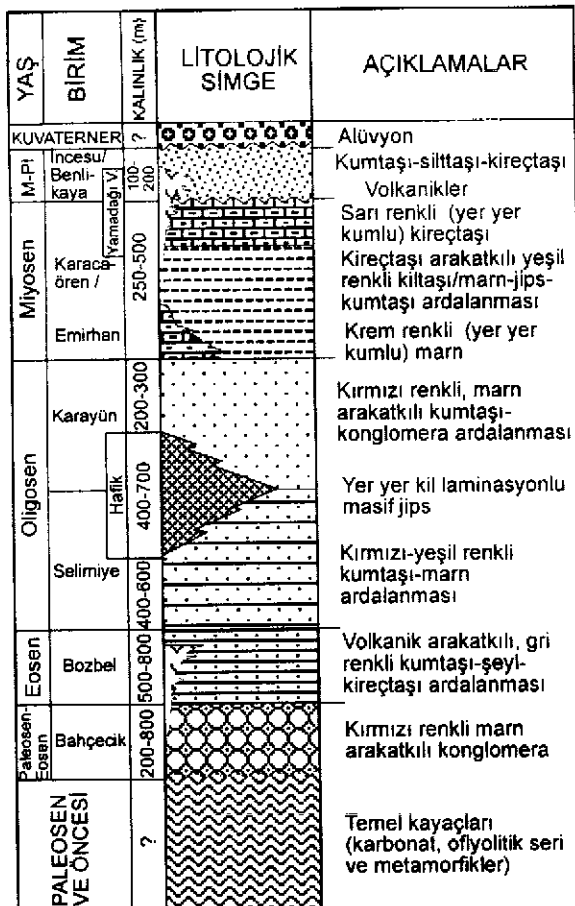


**Şekil 1. Sivas havzası merkezi kesiminin jeoloji haritası (Poisson et al., 1996'dan basitleştirilerek).**  
**Figure 1. Geological map of the central part of the Sivas Basin (Simplified from Poisson et al., 1996).**

re) elde edilen toz difraktogramlarında saptanan minerallerin yarı nicel yüzdeleri için Gündoðdu (1982) tarafından belirlenen şiddet faktörleri kullanılarak hesaplanmıştır. Kil içeren sedimanter kayaçlarda kil ayırmaya işlemede normal sedimentasyon yöntemi kullanılmış, elde edilen kayaçlardan kil minerallerinin (001) bazal yansımalarına göre Moore ve Reynolds'un (1997) önerdiği şiddet faktörleri kullanılarak yarı nicel yüz-

deleri hesaplanmıştır. Smektitlerin oktaedrik bilesimlerinin belirlenmesi amacıyla  $d_{(060)}$  yansımıası yardımıyla  $b_0$ -parametresi (Brown ve Brindley, 1980) hesaplanmıştır.

7 adet killi kayacın ana ve iz element çözümlemeleri (Rigaku marka 3270 model X-ışınıları floresans spektrometresi) USGS (Flanagan, 1976), CRPG, GIT-IWG ve ANRT (Govindaraju, 1989) kayaç standartları eşliğinde



**Şekil 2. Sivas havzası merkezi kesiminin stratigrafik dikme kesiti.**

**Figure 2. Stratigraphic columnar section of the central part of the Sivas Basin.**

yapılmış olup, doğruluk ana elementlerde  $\pm 2$ , eser/iz elementlerde  $\pm 5$  mertebesindedir.

## PETROGRAFİ

Karacaören formasyonu organik fasiyesi ait kireçtaşları mikrosparitiktik dokulu olup, önemli miktarda fosil içermektedir. Bazı örneklerde alg türü bitkisel fosiller bulunmakta iken bazlarında charophytes gibi hayvansal fosiller de gözlenmektedir (Şekil 3a). Kumlu marn olarak tanımlanan örneklerde organik maddece zengin seviyeler ince laminasyonlar oluşturmaktadır (Şekil 3b). Çatlaklıarda yer alan diyajenetik (otijenik) kökenli kalsedonik kuvarslar fosil kavşaları üzerinde de gelişmiştir (Şekil 3c). Ayrıca bazı mikrogözeneklerde ve organik maddece zengin mikrolaminasyonlarda demir oksihidroksit (götit) oluşumları da bulunmaktadır.

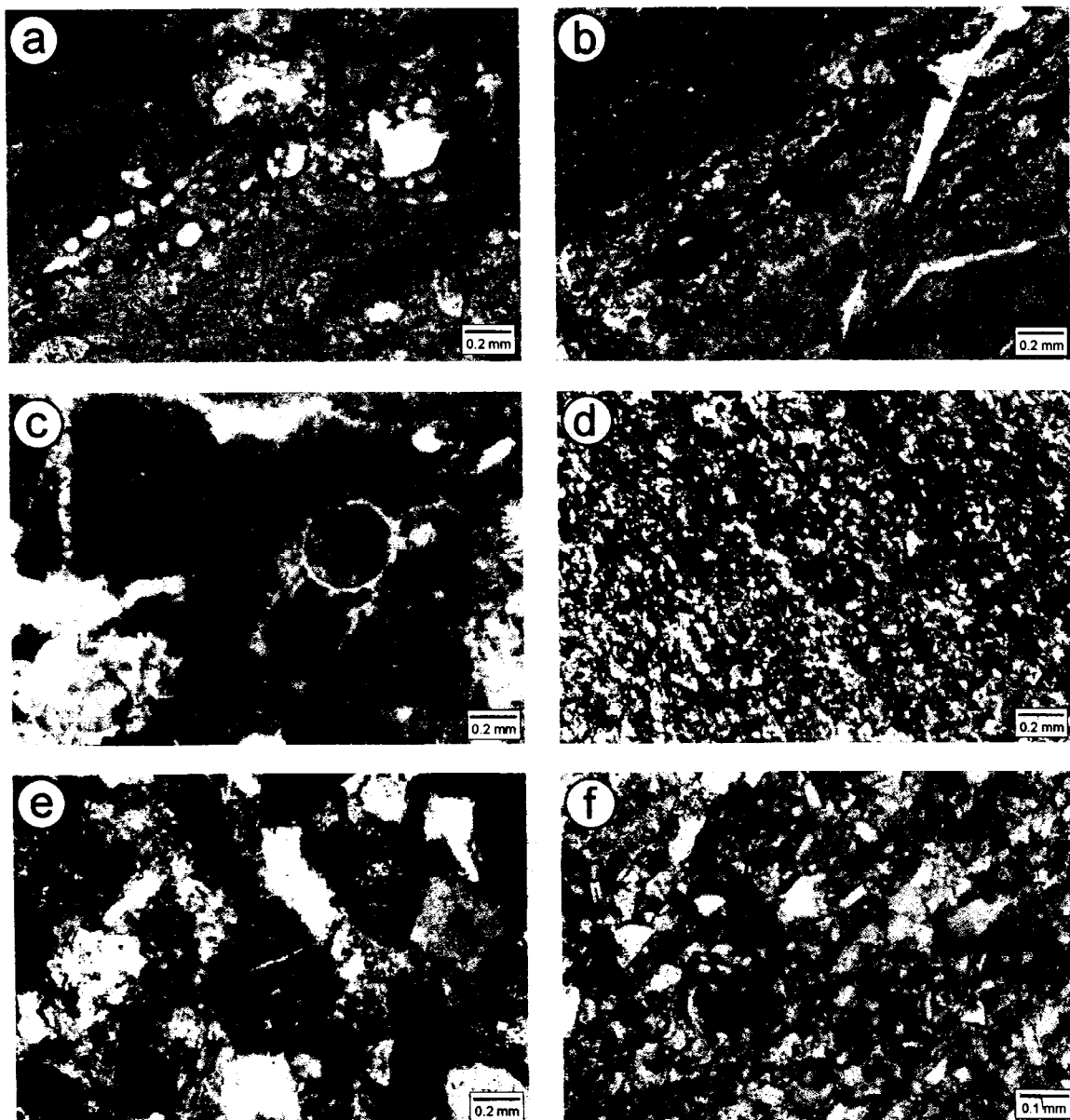
Karayün formasyonuna ait volkanojenik fasiyesi ait kumtaşlarında bağlayıcı malzemeyi spariksit çimento ve mineralleri başlıca plajiyoklaz, kuvars, volkanik kayaç parçacıkları ve

opak mineraller oluşturmaktadır (Şekil 3d). Bu bileşenlerin yanı sıra, biyotit (çoğunlukla kloritleşmiş) ve klorit mineralleri de gözlenmektedir. Porfirik dokunun belirgin biçimde gözlentiği kloritik hamura sahip volkanik kayaç parçacıklarının yanı sıra, tümüyle kloritleşmiş volkanik camı temsil eden parçacıklar da bulunmaktadır (Şekil 3e). Opaklaşmış volkanik kayaç parçacıkları da içeren kumtaşları, çoğunlukla arkozik türdedir (Şekil 3f).

## MINERALOJİ

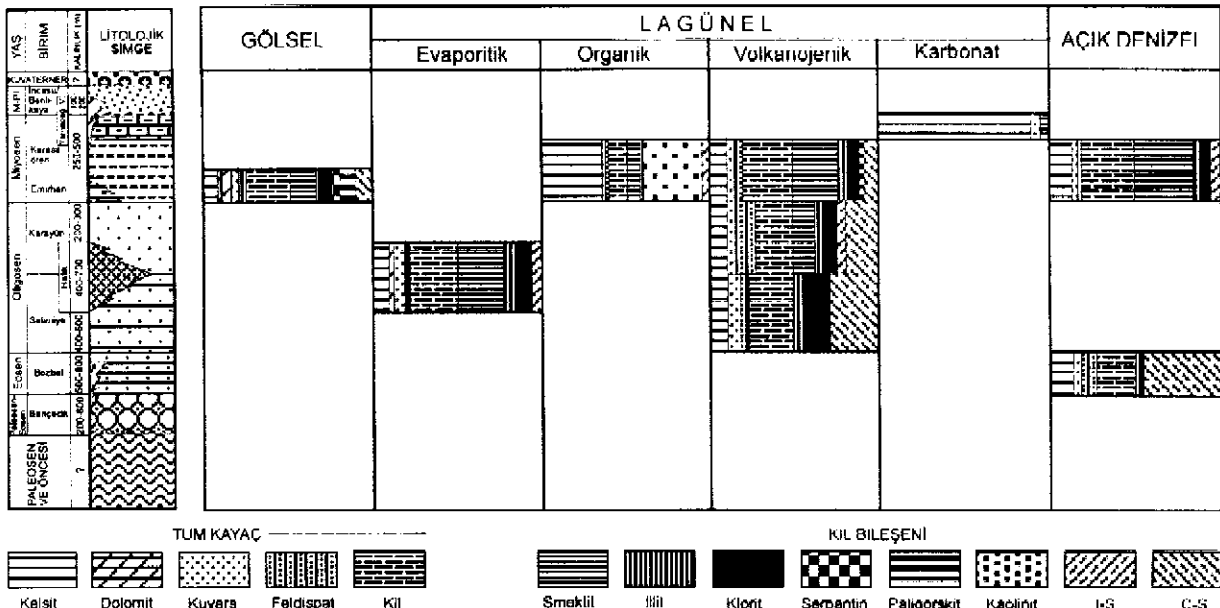
Sivas havzasında çökelme ortamlarındaki litoloji ve fasiyes farklılıklarına göre kayaçların mineralojik bileşimi, dolayısıyla birimlerin dikey dağılımları da değişmektedir (Şekil 4).

Açık denizel ortama ait kayaçlar Eosen yaşı Bozbel ve Miyosen yaşı Karacaören formasyonlarında tipiktir. Her iki birim tüm kayaç mineralojisi açısından aynı parajeneze (kil+kalsit+kuvars+feldispat) sahiptir (Şekil 4). Ancak kil mineralojisi açısından değerlendirildiğinde Bozbel formasyonunda C-S+illit+klorit, Karacaören formasyonunda ise smektit+illit+klorit ve/veya I-S parajenezi bulunmaktadır (Şekil 5). Smektitler dioktahedral bileşimdedir ( $d_{001}=1.506-1.509 \text{ \AA}$ ). Lagünel ortam gerek litoloji, gerekse fasiyes bakımından oldukça çeşitlilik gösteren bu ortamda çökeliş birimlerin mineralojik bileşim de değişmektedir (Şekil 4 ve 5). Hafik formasyonu kil ve/veya karbonat laminasyonlu evaporitlerde sulfat minerallerinin (jips, sölestin) yanı sıra kalsit, dolomit, kil ve kuvars minerallerine de rastlanılmaktadır. Sadece bir örnektten elde edilebilen kil mineralleri dioktahedral smektit, illit, klorit ve I-S'dir. Karacaören formasyonu organik maddeli karbonatlı kayaçlarında kalsit, kil, kuvars ve bir örnekte feldispat bulunmakta olup, organik madde içermeyen karbonat fasiyesine mineral bollukları dışında benzerlik göstermektedir. Kil parajenezini ise kaolinit+smektit+I-S+illit temsil etmektedir. Selimiye ve Karayün formasyonlarının volkanojenik kayaçlarında tüm kayaç mineralojisini kalsit+kuvars+feldispat+kil oluşturmaktadır. Kil mineralleri ise Selimiye formasyonunda C-S+klorit+illit, Karayün formasyonunda C-S+smektit+klorit+illit+I-S parajenezine sahiptir. Karacaören formasyonu volkanojenik kayaçlarında en yaygın parajenezi kalsit + kuvars +feldispat+kil oluşturmaktadır. İki örnekte analiz türü zeolit ve birer örnekte ise opal-CT ve jips minerallerine rastlanılmıştır. En yaygın kil mineral birikiliğini dioktahedral smektit+illit+klorit+C-S+I-S oluşturmaktadır. Volkano-



**Şekil 3.** Sivas havzasında lagünel ortama ait kayaçların optik mikroskop görünümleri, a) Organik fasyesteki alglı (charophyte) sparitik kireçtaşı (Karacaören Fm, T98-138, çift nikol-CN), b) Organik fasyesteki fosilli ve mikrolaminasyonlu mikrosparitik kireçtaşı (Karacaören Fm, T-98-125, tek nikol-TN), c) Organik fasyesteki alg fosilli çörtülü sparitik kireçtaşı (T98-139, TN), d) Volkanogenik fasyesteki opak mineral laminasyonlu arkozik kumtaşı (Karayün Fm, T-98-131, TN), e) Volkanogenik fasyesteki kloritleşmiş volkanik kayaç parçacıkları ve karbonat cimentolu litarenitik kumtaşı (Karayün Fm, T98-144, CN), f) Volkanogenik fasyesteki opaklaşmış volkanik kayaç parçacıkları ve karbonat cimentolu arkozik kumtaşı (Karayün Fm, T98-132, TN).

**Figure 3.** Optic microscopic views of lagoonal rocks from the Sivas Basin, a) Sparitic limestone with algae (charophyte) in the organic facies (Karacaören Fm, T98-138, crossed nicol-CN), b) Microsparitic limestone with algae and lamination in the organic facies. (Karacaören Fm, T98-125, parallel-nicol-PN), c) Cherty sparitic limestone with fossil in the organic facies (Karacaören Fm, T98-139, PN), d) Arkosic sandstone with opak mineral lamination in the volcanogenic facies (Karayün Fm, T98-131, PN), e) Litharenitic sandstone with volcanic rock fragments and carbonate cement (Karayün Fm, T98-144, CN), f) Arkosic sandstone with opacitic volcanic rock fragments and carbonate cement (Karayün Fm, T98-132, PN).



Şekil 4. Sivas havzasında birim ve fasiyelere göre minerallerin dikey dağılımları ve bollukları.

Figure 4. Vertical distribution and abundances of minerals based on the units and facies in the Sivas basin.

jenik/epiklastik bileşen oranı arttıkça C-S miktarı da artmaktadır.

Sadece Emirhan formasyonunun çokeldiği gölsel ortamın marn ve kumlu/siltli marnları genellikle kalsit+dolomit+kuvars+kil parajenezine sahiptir (Şekil 4). Fillosilikat minerallerini değiştiren bolluklarda dioktaedral smektit, illit, klorit, paligorskít, C-S ve bir örnekte serpantin oluşturmaktadır (Şekil 5 ).

## JEOKİMYA

Farklı ortamları temsil eden kayaçların ana ve iç element içerikleri Çizelge 1'de verilmiştir. Mineralojik bileşimlerin bir sonucu olarak, karbonatlı örneklerde CaO'de artma ve SiO<sub>2</sub>'de azalma belirgindir. Ca-feldispat ve smektit içerenlerde Al<sub>2</sub>O<sub>3</sub>, kloritli olanlarda Fe<sub>2</sub>O<sub>3</sub>, serpantin ve/veya paligorskítli kayaçlarda MgO miktarı en bol yüzdede ulaşmaktadır. Analımlı örnekte Na<sub>2</sub>O, illitik mika içerenlerde ise K<sub>2</sub>O içeriği artmaktadır. Bu farklılıklar eser/iz elementlerde de belirgin olarak izlenebilmekte; gölsel ortam kayaçlarında özellikle Cr ve Ni, lagünel ortamın analımlı volkanogenik fasiyelinde ise Sr ve Zr değerleri artış göstermektedir (Şekil 6). Bazi iz ve minör element miktarları kondrite (Taylor ve McLennan, 1985) göre normalize edilerek farklı fasiyeye ait kayaçlar karşılaştırılmıştır (Şekil 7). Geçiş metallerinden Cr, Ni, Cu ve Zn elementlerinde tüketilme (en fazla 100 kat), diğerlerinde ise zenginleşme (en fazla 200 kat); ayrıca Sr ve Th'da pozitif, Pb

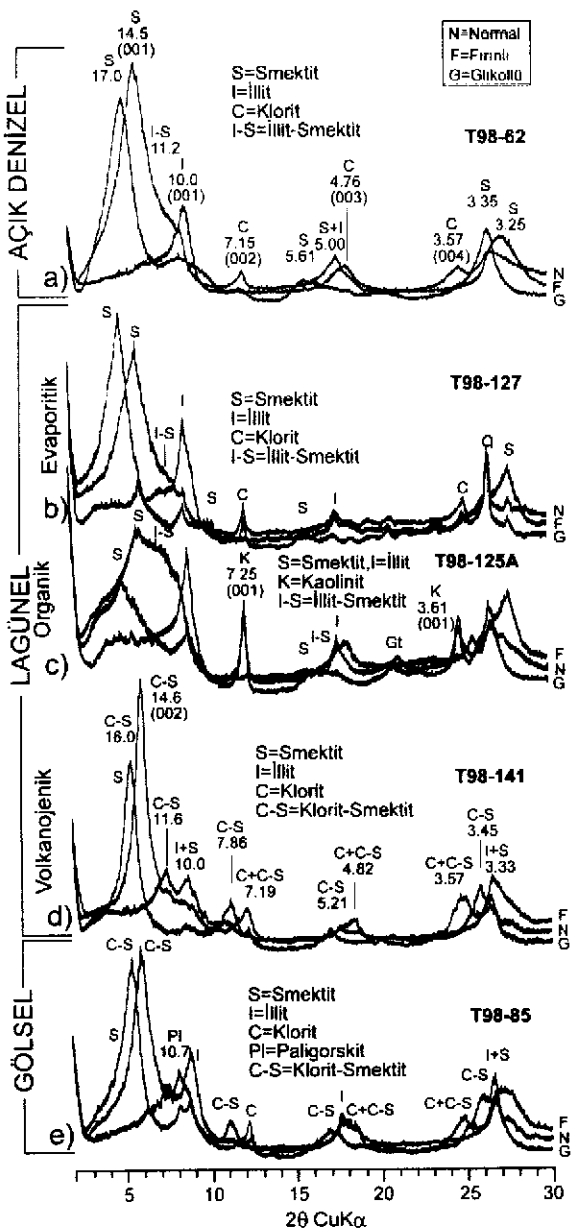
ve Nb'da negatif anomaliler bulunmaktadır. Örümcek diyagramda gözlenen en belirgin özellik farklı ortam kayaçlarının benzer paternlere sahip olmasıdır.

Bu veriler, elementlerin dağılımının dijajenetik tepkimeyle denetlenmiş olduğunu, dolayısıyla farklı fasiyeste çökelmiş kayaçlarda değişim diyagramlarının her zaman ayırtman olarak kullanılmayacağına işaret etmektedir. Bu yorumlama, birçok araştıracı (Milodowski ve Zalasiewicz, 1991; Gümüşer ve Yalçın, 1998; Marfil ve diğ., 1998) tarafından değişik ortamlarda elde edilen veriler ile uyumluluk göstermektedir. Ayrıca, iz elementlerin büyük ölçüde hareketli olabilecekleri ortamlarda, kaynak bölgenin karakteristiklerini belirlemekte bu tür diyagramların kullanılmasında dikkatli olunması gerekmektedir (Awwiller ve Mack, 1991; Ohr ve diğ., 1994).

## TARTIŞMA VE SONUÇLAR

Tüm kayaç ve özellikle kil mineralojisi kullanılarak lithostratigrafi birimlerinin denetirilmesinin (Yalçın ve diğ., 1989), benzer görünlü lithostratigrafi birimlerinin ve farklı alterasyon tiplerinin (Çerikcioğlu ve Yalçın, 1998) yanı sıra, bu çalışmada farklı paleoortamların da birbirinden ayırt edilebileceği ortaya konulmuştur.

Sivas Baseninde açık denizel ortam diğer fasiyelere göre genişleyebilen kil mineralerinin (Bozbey formasyonunda karışık tabaklı C-S, Karacaören formasyonunda S ve karışık



**Şekil 5.** Sivas havzasında farklı fasyelerin XRD kil difraktogramları, a) Smektit + I-S + Klorit (Karacaören Fm.), b) Smektit + illit + I-S + Klorit (Hafik Fm.), c) Smektit + I-S + Kaolinit + illit (Karacaören Fm.), d) C-S + Smektit + illit + Klorit (Karayün Fm.), e) C-S + Smektit + Paligorskite + Klorit + illit (Emirhan Fm.).

**Figure 5.** XRD clay diffractions of different facies in the Sivas basin, a) Smectite + I-S + Chlorite (Karacaören Fm.), b) Smectite + Illite + I-S + Chlorite (Hafik Fm.), c) Smectite + I-S + Kaolinite + Illite (Karacaören Fm.), d) C-S + Smectite + Illite + Chlorite (Karayün Fm.), e) C-S + Smectite + Palygorskite + Chlorite + Illite (Emirhan Fm.).

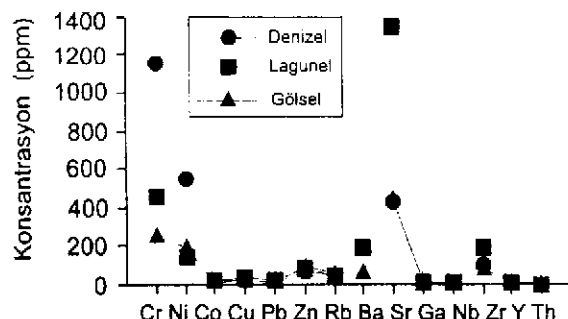
**Çizelge 1.** Sivas Basen Miyosen kayaçlarının kimyasal analiz sonuçları.

**Table 1.** Chemical analyses of Miocene rocks in the Sivas basin.

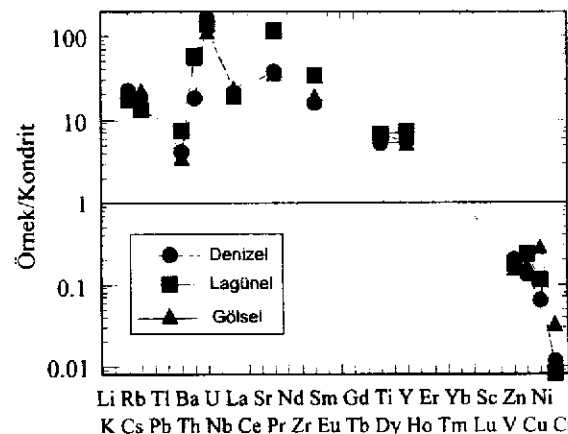
Or-tam	Deni-zel	Lagünel					Gölsel	
		T98-70	T98-126a	T98-131	T98-132	T98-141	T98-89	T98-94
%								
Oksit	37.04	53.31	48.60	45.81	47.43	43.08	39.55	
TiO <sub>2</sub>	0.55	0.86	0.73	0.91	0.78	0.95	0.48	
Al <sub>2</sub> O <sub>3</sub>	11.88	16.00	13.15	11.82	14.19	11.39	9.62	
$\Sigma Fe_2 O_3$	5.26	7.76	7.09	4.59	9.68	6.09	4.80	
MnO	0.06	0.10	0.14	0.18	0.11	0.10	0.10	
MgO	3.79	1.89	5.93	4.31	6.20	12.79	9.14	
CaO	20.78	8.51	11.02	15.41	9.23	9.59	18.35	
Na <sub>2</sub> O	0.29	1.00	1.75	2.73	1.31	0.60	0.75	
K <sub>2</sub> O	2.37	1.62	1.33	0.93	1.18	2.39	1.17	
P <sub>2</sub> O <sub>5</sub>	0.13	0.14	0.13	0.16	0.13	0.14	0.11	
LOI	18.21	8.20	10.61	11.85	8.46	12.90	16.34	
Toplam	100.36	99.39	100.48	98.70	98.70	100.02	100.41	
Cr	249	413	339	692	396	1071	1229	
Ni	193	139	180	77	159	559	550	
Co	18	27	25	16	34	21	16	
Cu	22	38	30	65	26	25	30	
Pb	15	49	21	17	22	9	16	
Zn	93	93	84	73	74	76	72	
Rb	64	54	48	36	45	48	40	
Ba	61	206	100	250	232	293	84	
Sr	440	250	348	4638	176	326	529	
Ga	12	14	14	12	15	13	10	
Nb	8	7	8	6	7	11	7	
Zr	86	104	106	447	93	114	101	
Y	12	16	16	16	14	14	10	
Th	7	9	8	4	3	3	6	

karışık tabakalı I-S) egemen olmasıyla karakteristikdir. Selimiye formasyonunda C-S, Karacaören formasyonunda ise smektitin egemen olması, ortamin sık ve derin olmasının yanı sıra farklı beslenme rejimlerinden de kaynaklanmaktadır.

Lagünel ortamın farklı fasyelerinde mineralojik ilişki daha belirgin olup; Hafik formasyonu evaporitlerinde dolomit; Karacaören formasyonunun organik madde içeren killikarbonatlı kayaçlarında kaolinit; Selimiye, Karayün ve Karacaören formasyonlarının volkanogenik silisklastik kayaçlarında karışık-tabakalı C-S ayırtman minerallerdir. Volkanogenik fasyesteki kayaçlar göz önüne alındığında, Selimiye formasyonundakiler smektit içermemekte, Karayün formasyonundakiler smektitin yanı sıra I-S içermekte, Karacaören formasyonlarındakiler ise daha yüksek miktarda smektit içermekte ve diğerlerinden farklı olarak bazı örneklerde eser miktarda da olsa paligorskite ve serpentin gözlenmektedir. Lagünel ortamındaki minerallerden kaolinitin olu-



**Şekil 6.** Sivas havzasında çeşitli ortamlara ait kayaçların ortalama iz element bollukları.  
**Figure 6.** The average trace element abundances of the rocks in the various environments from the Sivas basin.



**Şekil 7.** Sivas havzasında çeşitli ortamlara ait kayaçların kondrit-normalize örümcek diyagramı (Kondrit değerleri : Taylor ve McLennan, 1985).  
**Figure 7.** Chondrite-normalized spider diagram of the rocks in the various environments from the Sivas basin (Chondrite values : from Taylor and McLennan, 1985).

şumunda kayacın organik madde içeriği, dolayısıyla mikro-ortam pH'sının (nötr-asitik) etkili olduğu ortaya çıkmaktadır (Gençoğlu ve diğ., 1989). Bir örnek dışında kayaçların feldispat içermemesi, kaolinitin bu mineralden türemediğini de göstermektedir. Diğer minerallerden C-S'in volkanojenik ürünlerde ortaya çıkması, bu mineralin kökeni hakkında ipuçları vermektedir. Sivas Basen'i'nin kuzeybatı uzantısını temsil eden Yavu çevresindeki incelemeler (Yalçın, 1997; Çerikcioğlu ve Yalçın, 1998), C-S'in oluşumunda volkanik camın yanı sıra, koyu renkli minerallerin bozunma ve/veya bozuşmasının da etkili olduğu belirtilmektedir. Buna karşın, diğer

karişık tabakallılardan I-S'lerin evrimi ise farklı gözükmetedir. XRD incelemelerine göre mikaların açık illit (kristalinitenin düşüklüğü) özelliğinde olması, bu illitik minerallere çoğunlukla I-S'lerin eşlik etmesi, diyajenez sırasında muskovitlerin potasyum kaybederek önce illite, sonra da I-S'e dönüşmüş olabileceklerini düşündürmektedir (Yalçın ve Gündoğdu, 1985; Yalçın ve diğ., 1994).

Gölsel ortamda dolomit ve paligorskít tipik mineralleri temsil etmektedir. Bir örnekte de olsa serpantinin gözlenmesi, yüksek Cr ve Ni içeriği bu mineraller ile ofiyolitik dizilime ait ultramafik kayaçlar arasında kökensel bir ilişki bulunduğu göstermektedir. Mg'ca zengin minerallerin yaygınlığı, Sivas Basen'i'nin özellikle gölsel fasiyesini temsil eden alt basenlerin (Kangal-Çetinkaya: Yalçın ve Bozkaya, 1995a; Ağcaklı: Yalçın ve diğ., 1994; Yavu: Çerikcioğlu ve Yalçın, 1998; Gemerek: Türkmen ve Bölükçük, 1998) karakteristiğidir. Paligorskítler jeolojik ortamlarda detritik, diyajenetik veya neoforme (Singer, 1979), illit (Galan ve Castillo, 1984), smektit (Singer, 1984) veya detritik fillosilikatların (Torres-Ruiz et al., 1994) dönüşümü biçiminde oluşabilmektedir. Ofiyolitik birimlerde paligorskítin gözlenmemesi, bu mineralin detritik olarak taşınmadığını göstermektedir. Elektron mikroskop incelemeleri ile dokusal ilişkiler saptanamamış olmakla birlikte, paligorskítin oluşum için iki mekanizma ileri sürülebilir. Birincisi göl ortamında minerallerin diyajenetik transformasyonu, ikincişi Mg-minerallerinin kaynak bölgede yüzeysel alterasyonu ve/veya göl suyunda hidrolizi sonucu açığa çıkan katyonlardan itibaren kimyasal çökelmesidir (Yalçın ve Bozkaya, 1995a ve 1995b). Bu fasiyeste belirlenen dolomit ve smektitler için de benzer oluşum mekanizmalarının geçerli olduğu, ancak Mg'un öncelikle paligorskít, sonra dolomit ve/veya smektit tarafından tüketildiği düşünülmektedir (Yalçın ve diğ., 1989; Yalçın ve Bozkaya, 1995a ve 1995b; Yalçın ve Karslı, 1998).

Tüm ortamlarda gözlenen illit ve kloritler ise olasılıkla çevredeki metapelitlerden gelmiş gözükmetedir.

Mineralojik toplulukların yanı sıra, jeokimyasal değerler, Sivas Basen'i'nde açık denizel ortamın Eosen yaşlı Bozbel formasyonunun ağırlıklı olarak volkanik, Miyosen yaşlı Karacaören formasyonunun metamorfik, Emirhan formasyonuna ait gölsel ortamın ise egemen olarak ofiyolitik seride ait ultramafik kayaçlardan beslendiğine işaret etmektedir. Lagünel ortamın evaporitik fasiyesinde kimyasal çökelmenin, organik fasiyesinde kömürleşme-

nin, volkanojenik fasiyesinde ise volkanoklastik sedimentasyonun egemen olduğu görülmektedir.

Sivas Baseninde Miyosen yaşlı birimlerin yanal ve dikey yöndeki fasiyes değişimlerinin ve buna bağlı mineralojik çeşitliliğin, ayrıca Miyosen'den Paleosen yaşlı birimlere doğru korensitin artması (Yalçın, 1991), Oligo-Miyosen paleocoğrafyasının çizilmesinde önemli ölçütleri oluşturmaktadır.

Sedimanter ortamındaki farklı fasiyeler element bollukları bakımından farklı dağılımlar göstermekle birlikte; değişim diyagramlarında aynı paternlere sahip olabildiğinden bu tür diyagramların ayırtman olarak her zaman kullanılamayacağını düşündürmektedir.

## KATKI BELİRTME

Yazarlar, mineralojik verilerin yorumlanmasında stratigrafik-tektonik temelin kurulmasındaki ve fasiyelerin anlaşılmasındaki uyarıları / katkılari için Doç.Dr.Haluk TEMİZ ve Arş.Gör.Özgen KANGAL'a, laboratuvar çalışmalarındaki yardımları için Fatma YALÇIN ve Ümit ŞENGÜL'e teşekkürü bir borç bilirler.

## KAYNAKLAR

- Awwiller, D.N., Mack, L.E., 1991. Diagenetic modification of Sm-Nd model ages in Tertiary sandstones and shales, Texas Gulf Coast. *Geology*, 19, 311-314.
- Brown, G., Brindley, G.W., 1980. X-ray diffraction procedures for clay mineral identification. In: *Crystal Structures of Clay Minerals and their X-ray Identification*, G.W. Brindley and G. Brown (eds.), Mineralogical Society, London, 305-360.
- Cater, J.M.L., Hanna, S.S., Ries, A.C., Turner, P., 1991. Tertiary evolution of the Sivas Basin, Central Turkey. *Tectonophysics*, 195, 29-46.
- Çerikcioğlu, B., Yalçın, H., 1998. Yıldızeli-Akdağmadeni arasındaki (Yavu çevresi) Eosen yaşlı volkanojenik kayaçlarla ilişkili kil minerallerinin mineralojisi ve jeokimyası. C.U. Yerbilimleri, 15, 87-100.
- Flanagan, F.J., 1976. Descriptions and analyses of eight new USGS rock standards. In: Twenty-eight papers present analytical data on new and previously described whole rock standards: United States Geology Survey, Professional Paper, F.J.Flanagan (ed.), 840, 171-172.
- Galan, E., Castillo, A., 1984. Sepiolite-palygorskite in Spanish Tertiary Basins: Genetical patterns in continental environments. In *Palygorskite-Sepiolite: Occurrences, Genesis and Uses*, A.Singer and E.Galan, eds., *Dev.in Sediment.*, 37, Amsterdam, Elsevier, 87-124.
- Gençoğlu, H., Bayhan, H., Yalçın, H., 1989. Bi-lecik-Sögüt yöresi kaolin yataklarının mineralojisi ve kökeni. IV. Ulusal Kil Sempozumu, C.U. Sivas, 20-23 Eylül, Bildiriler Kitabı (Eds. D.Boztuğ ve H.Yalçın), 97-112.
- Govindaraju, K., 1989. 1989 compilation of working values and sample description for 272 geostandards. *Geostandarts Newsletter*, 13, 1-113.
- Gümüşer, G., Yalçın, H., 1998. Kelkit Vadisi kuzeyindeki (Reşadiye-Yazıcık-Bereketli/Tokat) bentonit yataklarının mineralojik ve jeokimyasal incelenmesi. H.U. Yerbilimleri, 20, 91-110.
- Gündoğdu, N., 1982. Neojen yaşlı Bigadiç sedimanter baseninin jeolojik-mineralojik ve jeokimyasal incelenmesi. Doktora Tezi, Hacettepe Üniversitesi Fen Bilimleri Enstitüsü, Beytepe-Ankara, 386 s (yayınlanmamış).
- Kurtman, F., 1973. Sivas-Hafik-Zara ve İmrani bölgelerinin jeolojik ve tektonik yapısı. MTA Dergisi, 80, 1-32.
- Marfil, R., Hall, A., Garcia-Gil, S., Stamatakis, M.G., 1998. Petrology and geochemistry of diagenetically altered tuffaceous rocks from the middle Triassic of Central Spain. *J.Sed.Res.*, 68, 391-403.
- Miodowski, A.E., Zalasiewicz, J.A., 1991. Redistribution of rare earth elements during diagenesis of turbidite / hemipelagite mudrock sequences of Llandovery age from Central Wales. In: Morton, A.C., Todd, S.P., Haughton, P.D.W. (eds.), *Developments in Sedimentary Provenance Studies*, Geological Society of London, Special Publication, 57, p. 101-124.
- Moore, D.M., Reynolds, R.C.JR., 1997. X-ray diffraction and the identification and analysis of clay minerals. Oxford University, 378 pp.
- Ohr, M., Halliday, A.N., Peacock, D.R., 1994. Mobility and fractionation of rare earth elements in argillaceous sediments: implication for dating diagenesis and low-grade metamorphism. *Geochimica et Cosmochimica Acta*, 58, 289-312.

- Pisoni, C., 1965. Sivas I38c1, c4 paftalarının jeolisi. MTA Rapor No. 21922 (yayımlanmamış).
- Poisson, A., Guezou, J.C., Öztürk, A., İnan, S., Temiz, H., Gursoy, H., Kavak, K.S., Özden, S., 1996. Tectonic setting and evolution of the Sivas Basin, Central Anatolia, Turkey. International Geology Review, 38, 838-853.
- Poisson, A., Wernli, R., Lozouet, P., Poignant, A., Temiz, H., 1997. Nouvelles données stratigraphiques concernant les formations oligo-miocènes marines du bassin de Sivas (Turquie). C.R.Acad.Sci. Paris, Sciences de la Terre et des Planètes, 325, 869-875.
- Singer, A., 1979. Palygorskite in sediments: detrital, diagenetic or neoformed. A critical review. Geol. Rund., 68, 996-1008.
- Singer, A., 1984. Pedogenic palygorskite in the arid environment. In: Palygorskite-Sepiolite. Occurrences, Genesis and Uses, A.Singer and E.Galan,eds., Dev.in Sediment., 37, Elsevier, pp. 169-176.
- Sümengen, M., Unay, E., D Bruijin, H., Terlemez, I., Gürbüz, M., 1990. New neogene rodent assemblages from Anatolia (Turkey). In: European Mammal Chronology, (Lindsay, E.H., Falbusch, V., Mein, P. Eds.), Plenum Press, New York, 61-72.
- Taylor, S.R., McLennan, S.M., 1985. The Continental Crust: Its Composition and Evolution. Blackwell, Oxford, 312 pp.
- Torres-Ruiz, J., López-Galindo, A., González-López, J.M., Delgado, A., 1994. Geochemistry of Spanish sepiolite-palygorskite deposits: Genetic considerations based on trace elements and isotopes. Chem.Geol., 112, 221-245.
- Türkmen, I., Bölücek, C., 1998. The origin of clay minerals in saline playa-mudflat facies, Yeniçubuk formation (Lower-Middle Miocene), Gemerek, Sivas, Türkiye. Tr.J. of Earth Sciences, 7, 1-10.
- Yalçın, H., 1991. Clay mineralogy and geochemistry of Sivas (Hafik district) evaporite basin, Eastern Interior Anatolia. 7th Euroclay Conference, Dresden, 26-30 August, Proceedings, v.3, 1185-1190.
- Yalçın, H., 1997. Eosen yaşılı denizaltı volkanizması ile ilişkili İç Kuzey Anadolu zeolit oluşumları. C.U. Mühendislik Fakültesi Dergisi Seri A-Yerbilimleri, 14, 43-56.
- Yalçın, H., Bozkaya, Ö., 1995a. Kangal-Çetinkaya alt basen (Sivas basen) gölsel paligorskitterinin mineralojisi ve jeokimyası. VII. Ulusal Kil Sempozyumu, MTA, Ankara, 27-30 Eylül, Bildiriler Kitabı (Eds. M.Şener, F.Öner, E.Koşun), 105-116.
- Yalçın, H., Bozkaya, Ö., 1995b. Sepiolite-palygorskite from the Hekimhan region (Turkey). Clays and Clay Minerals, 43, 6, 705-717.
- Yalçın, H., Gündoğdu, M.N., 1985. Emet göl朱el Neogen baseninin kil mineralojisi. II. Ulusal Kil Sempozyumu, H.Ü. Beytepe-Ankara, 24-27 Eylül, Bildiriler Kitabı (Eds.M.N.Gündoğdu ve H.Aksoy), 155-170.
- Yalçın, H., Gündoğdu, M.N., Liewig, N., 1989. Kırka göl朱el Neogen baseninin kil mineralojisi : Simektit ve karbonat mineralleri arasındaki ilişkiler. IV. Ulusal Kil Sempozyumu, C.U. Sivas, 20-23 Eylül, Bildiriler Kitabı (Eds. D.Boztuğ ve H.Yalçın), 41-60.
- Yalçın, H., İnan, N., 1992. Tecer formasyonunda (Sivas) Kretase-Tersiyer geçişine paleontolojik, mineralojik ve jeokimyasal yaklaşımlar. Türkiye Jeoloji Bülteni, 35, 95-102.
- Yalçın, H., Karslı, Ş., 1998. Dodurga (Çorum) kömür havzasında karbonat ve simektit minerallerinin kökeni ve diyajenetik evrimi. Türkiye Jeoloji Bülteni, 41, 95-108.
- Yalçın, H., Kavak, K.Ş., Bozkaya, Ö., Poisson, A., İnan, S., 1994. Ağcaklı alt baseninin (Sivas basen) litolojik ve mineralojik karakteristikleri. C.U. Mühendislik Fakültesi Dergisi Seri A-Yerbilimleri, 11, 87-95.
- Yılmaz, A., 1983. Tokat (Dumanlıdağı) ile Sivas (Çeltekdağı) dolaylarının temel jeoloji özellikleri ve ofiyolitli karışığın konumu. Maden Tetskik ve Arama Enstitüsü Dergisi, 99-100, 1-18.

## KÖRLÜ KÖYÜ (TARSUS-İÇEL) DEMİR CEVHERLERİNİN JEOLOJİK, MINERALOJİK VE JEOKİMYASAL ÖZELLİKLERİ

### GEOLOGICAL, MINERALOGICAL AND GEOCHEMICAL CHARACTERISTICS OF THE KÖRLÜ VILLAGE (TARSUS-İÇEL) IRON ORES

Şuayip KÜPELİ  
İsrafil KAYABALI

Selçuk Üniversitesi Jeoloji Mühendisliği Bölümü, KONYA  
Milli Savunma Bakanlığı, Fon Daire Başkanlığı, ANKARA

**ÖZ :** Körlü Köyü demir cevherleri, Paleozoyik yaşılı metapelitik kayaçlar içerisinde yer almaktadır. Bu birimler üzerine, açısal bir uyumsuzlukla Tersiyer yaşılı çökellerin geldiği görülür. Stratigrafik kontrollü cevherler, çoğunlukla orta-kalın tabakalı, bazı düzeylerde ise, bantlı ve laminalı yapılarda çökelmiştir.

Mineralojik verilere göre, ana cevher bileşenlerini manyetit, kuvars, muskovit, klorit, hematit, götit ve limonit; tali bileşenlerini de siderit, apatit, kalsit ve seyrek olarak rastlanılan biyotit, epidot ve turmalin oluşturmaktadır. En önemli birincil cevher minerali manyetittir. Çok az oranda da siderit belirlenmiştir. Çoğunlukla özçekilli, yarı özçekilli kristal toplulukları şeklinde görülen manyetitler kuvars-klorit şist, kuvars-muskovit şist, kuvars-mika şist, klorit-muskovit şist, muskovit şist, muskovit-kuvarsit, muskovit-kalk şist ve metakumtaşından oluşan çeşitli matriksler içerisinde yer alırlar. Martılaşım sonucunda manyetitlerden türemiş olan hematitler ince lameller şeklinde olup, manyetit kristalleri içerisinde tipik kafes dokusu gösterirler. SEM-EDS çalışmalarıyla tespit edilmiş olan apatitler ise, prizmatik ve tabuler kristal morfolojilerine sahiptirler.

XRF analizlerine göre, cevher örneklerinin ana bileşen içerikleri %63,7 Fe<sub>2</sub>O<sub>3</sub>, %20,7 SiO<sub>2</sub>, %6,9 Al<sub>2</sub>O<sub>3</sub>, %4,3 CaO, %2,9 P<sub>2</sub>O<sub>5</sub>, %1,3 K<sub>2</sub>O, %0,3 MgO, %0,2 TiO<sub>2</sub> ve %0,2 Na<sub>2</sub>O dir. Yan kayaç örneklerinin ana bileşen içerikleri ise, aynı sıraya göre %7,3; %68,5; %15,1; %0,4; %0,2; %3,0; %0,5; %1,1 ve %0,2 dir. Eser element analizlerinde, cevher örnekleri içerisinde 71,5 ppm Cr; 22,7 ppm Ni; 676,5 ppm V; 118,5 ppm Zn ve 10 ppm Cu ölçülüdür. Yan kayaç örneklerinde ise, aynı eser element içerikleri sırasıyla 68,3; 15,0; 90; 70 ve 7,7 ppm'dir. Jeokimyasal verilere göre, cevher örneklerinin yan kayaca göre Fe<sub>2</sub>O<sub>3</sub>, CaO, P<sub>2</sub>O<sub>5</sub>, Cr, Ni, V, Zn ve Cu içerikleri daha yüksek; SiO<sub>2</sub>, Al<sub>2</sub>O<sub>3</sub>, K<sub>2</sub>O ve TiO<sub>2</sub> içerikleri ise daha düşüktür.

İncelenen cevherlerin, bantlı demir formasyonlarına göre yüksek oranda Fe, Al, P ve düşük oranda Si içermeleri, cevherin yaşı, kalın tabakalı ve yankayaçlarla yanal geçişli yapısı, ayrıca çörtlü seviyeler içermemesi, Fanerozoyik dönemde çökelmiş olan denizel sedimanter demir cevherleriyle benzerlik gösterirken; manyetit ve hematit gibi ana cevher bileşenlerinin özellikleri ve cevher içerisinde oolitik dokulara rastlanılamaması, bu verilerle uyuşmamaktadır.

Jeolojik, mineralojik ve jeokimyasal bulgular, Körlü Köyü demir cevherlerinin Permiyen süresince hüküm süren nispeten derin, sakin, alkalen ve indirgen denizel ortam şartlarında, kimyasal sedimantasyon süreçleriyle çökelmiş olduğunu göstermektedir. Metamorfizma ile megaskopik birincil sedimanter cevher yapıları bozulmamışken; mikroskopik ölçekte manyetitlerde kısmi yönlenme, rekristalizasyon, kümelenmeler ve ornatım dokuları ile muskovit ve kloriterde belirgin yönlenmeler, kuvarsında ise yer, yer ikincil büyümeler gelişmiştir.

**Anahtar kelimeler :** Körlü demir cevheri, jeoloji, mineraloji, jeokimya

**ABSTRACT :** The Körlü village iron ores occur in Paleozoic aged metapelitic rocks. These units are overlain by Tertiary sediments with an angular unconformity. The stratigraphically controlled iron ore deposits are mostly medium to thick layered, are banded and laminated in some levels.

The main minerals within the ores are magnetite, quartz, muscovite, chlorite, hematite, goethite and limonite; accessory phases include siderite, apatite, calcite, and very rarely biotite, epidote and turmaline. The most important primary iron ore mineral is magnetite. Siderite is also seen

very rarely. Mostly euhedral or subhedral magnetite crystall aggregates are developed in matrixes of various mineral compositions; quartz-chlorite schist; quartz-muscovite schist; quartz-mica schist; chlorite-muscovite schist; muscovite schist; muscovite-quartzite; muscovite-chalc schist and metasandstones. The hematites occur as fine lamelle having typical network texture within the magnetite crystals, which were resulted from martitization of the magnetites. Apatite, determined in SEM observations, are seen as prismatic and tabular crystals.

In the XRF analyses, the major oxide contents of the iron ore samples are 63,7%  $\text{Fe}_2\text{O}_3$ , 0,7%  $\text{SiO}_2$ , 6,9%  $\text{Al}_2\text{O}_3$ , 4,3%  $\text{CaO}$ , 2,9%  $\text{P}_2\text{O}_5$ , 1,3%  $\text{K}_2\text{O}$ , 0,3%  $\text{MgO}$ , 0,2%  $\text{TiO}_2$  and 0,2%  $\text{Na}_2\text{O}$ . The major oxide contents of the wallrock samples are 7,3%; 68,5%; 15,1%; 0,4%; 0,2%; 3,0%; 0,5%; 1,1% and 0,2% respectively. In the trace element analyses of the iron ore samples were measured 71,5 ppm Cr; 22,7 ppm Ni; 676,5 ppm V; 118,5 ppm Zn and 10 ppm Cu. The contents of the same trace elements in the wallrock samples are 68,3; 15,0; 90; 70 and 7,7 ppm. The geochemical data show that the ore samples are rich in  $\text{Fe}_2\text{O}_3$ ,  $\text{CaO}$ ,  $\text{P}_2\text{O}_5$ , Cr, Ni, V, Zn and Cu; and poor in  $\text{SiO}_2$ ,  $\text{Al}_2\text{O}_3$ ,  $\text{K}_2\text{O}$  and  $\text{TiO}_2$  comparing with the wallrock.

High contents of Fe, Al, P and low content of Si of the ore samples relative to the banded iron formations, the age of ore deposit, thick layered feature and lateral gradation with wallrocks, as well as the absence of cherty levels in the ore all show that the investigated iron ores have the similarities with Phanerozoic marine sedimentary iron deposits. But the features such as magnetites and hematites being the main ore minerals and the absence of the oolitic textures in ore are not in accordance with this type of deposits.

Geological, mineralogical and geochemical observations point out a mode of chemical sedimentary formation of the Körlü iron ores occurred under a relatively deep, calm, alkaline and reducing marine conditions during the Permian. Megascopic primary sedimentary ore structures were not destroyed through metamorphic effects. Partly orientation, recrystallization, crystal aggregations, replacement textures in the magnetites and remarkably orientation in muscovites and chlorites, rarely secondary quartz overgrowth have been occurred in microscopic scale.

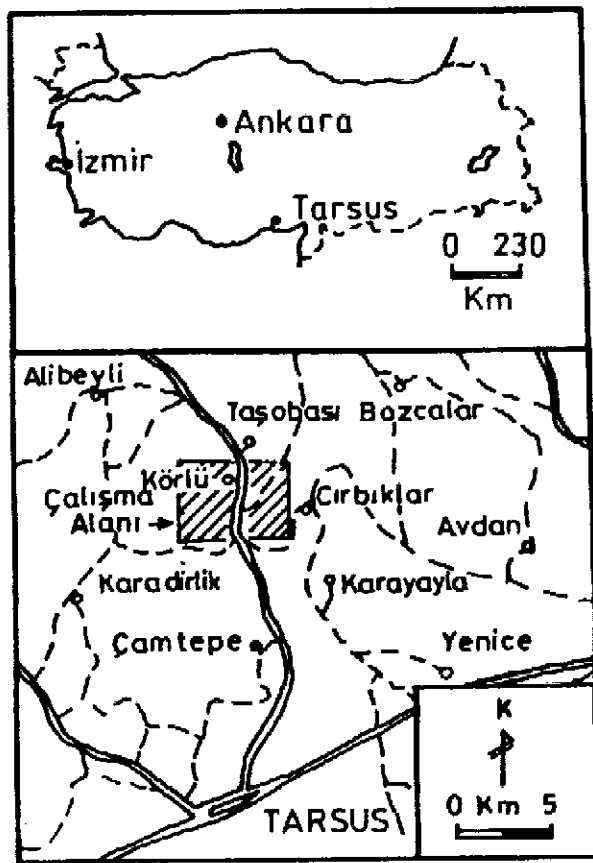
**Key words :** Körlü iron ore, geology, mineralogy, geochemistry

## GİRİŞ

Bu makalede incelenen demir cevherleri, İçel İl'ne bağlı Tarsus İlçesi'nin yaklaşık 18 km. kuzeyinde bulunan, Körlü(Gürlü) Köyü'nün 1,5 km. kuzey kesiminde, 1/25000 ölçekli KOZAN N33 c3 paftası içerisinde yer almaktadır (Şekil 1). Birçok araştırmacı tarafından jeolojik, paleontolojik, sedimentolojik ve petrol imkanları açısından incelenen bölgede, Körlü Köyü demir cevherlerine yönelik herhangi bir çalışma bulunamamıştır. İnceleme alanı ve çevresinde yapılan araştırmalar kapasamında Foley (1937), Adana yöreninin; Blumenthal (1938), Adana-Seyhan bölgesinin kronostratigrafisini; Ternek (1953), Mersin-Tarsus kuzey kesiminin; Chaput (1954), Adana havzası ve kenar bölgelerinin jeolojisini; Ternek (1957) ise, Adana havzasındaki Alt Miyosen formasyonlarını ve petrol imkanlarını araştırmışlardır. Daha sonra Schimidt (1961) tarafından, Adana Basen'i'ne ait Tersiyer yaşı çökelleri içeren ilk kapsamlı çalışmanın yapıldığı görülmektedir. Sözkonusu çalışmada birimler, litostratigrafi prensiplerine göre ayırtlanarak formasyon adlamaları yapılmış ve Tersiyer istifinin stratigrafisi büyük ölçüde ortaya konulmuştur. Özer ve diğ. (1974), Antalya-Mut-Adana

havzalarının jeolojisi, stratigrafisi ve yapısal özelliklerini karşılaştırmalı olarak sunmuşlardır. İlker (1975), Adana basen ve kuzeybatısının jeolojisi ve petrol imkanlarını; Görür (1979), Karaisalı kireçtaşının sedimentolojik özelliklerini; Yalçın ve Görür (1984), Adana baseninin sedimentolojik evrimini; Yetiş ve Demirkol (1984), Adana basen kuzeybatı kesiminin stratigrafisini; Tanar (1985), Karaisalı, Kuzgun ve Memişli formasyonlarının Körlü (Tarsus-İçel) yöresindeki molluska faunasını; Yetiş ve diğ. (1986), Adana havzasında Kuzgun formasyonunun fasiyes ve ortam özelliklerini; Yetiş ve Demirkol (1986), Adana basen batı kesiminin detay jeolojisini; Ünlügenç ve Demirkol (1988), Kızıldağ yayla (Adana) yörenin stratigrafisini; Ünlügenç ve diğ. (1990), Neojen Adana baseninin basen gelişim özelliklerini; Özalp (1993), Gülek-Çamalan (Tarsus-İçel) bölgesinin stratigrafisini belirlemeye çalışmışlardır. Gürbüz ve Ünlügenç (2000) ise, kumca zengin fırtna sedimanları ve türbiditler arasındaki farklılıklara, Adana basenindeki Kuzgun formasyonu içerisinde örnekler vermişlerdir.

Bu çalışmanın amacı ise, Paleozoyik yaşı birimler içerisinde yer alan sedimanter



**Şekil 1. İnceleme alanının coğrafik konumu.**  
Figure 1. Location map of the study area.

nitelikteki Körlü Köyü demir cevherlerinin jeolojik, mineralojik ve jeokimyasal yönden incelenmesidir. Bunun için, öncelikle yörenin 1/25000 ölçekli jeolojik haritası yapılarak söz konusu cevherlerin dağılım ve jeolojik konumları ortaya konulmuştur. Cevher zuhurlarında açılmış olan yarmalar yardımıyla stratigrafik kesitler hazırlanarak, cevher-yankayaç ilişkileri, cevher geometrisi, cevherin yapısal ve bazı dokusal özellikleri ile mineralojik bileşimleri belirlenmeye çalışılmıştır. Ayrıca, bu çalışmalar sırasında derlenen tipik cevher ve yankayaç örnekleri, çeşitli laboratuvar yöntemleri ile mineralojik ve jeokimyasal yönden incelenmiştir.

#### MATERIAL ve METOD

Mineralojik incelemeler, esas olarak ince kesit optik mikroskop, parlak kesit cevher mikroskopu ve Rigaku Geigerflex D/max(θ/θ)VC tipi bir XRD cihazı kullanılarak yapılmıştır. Otomatik agat havanda toz haline getirilen örnekler, sıç bir cam kap içerisine konularak 2θ açısı 2.5° ile 70° arasında değişcek şekilde CuKα

radyasyonu ile taranmıştır. Yarı mikroskopik boyuttaki minerallerin dokusal özellikleri ise, altınla kaplanan cevher örneklerinin EDS ilaveli bir taramalı elektron mikroskopta (Jeol 840A ve JSM 6400 SEM) incelenmesi ile belirlenmiştir.

Majör oksit ve eser element içerikleri, örnekler 105°C'de kurutulduğundan sonra, Rigaku RIX 3000 model bir XRF cihazında tayin edilmiştir. Analiz değerleri 0.75 gr toz örnek ile 4.5 gr litium tetraborat karıştırılarak hazırlanan cam preparatlar üzerinden okunmuştur. Ateş kaybı, 2 saat süreyle 1000°C'de ısıtılan 2 gr ağırlığındaki örneğin ağırlık kaybindan hesaplanmıştır. Spektrofotometrenin kalibrasyonunda uluslararası standartlar (USGS and GEOSTANDARTS) kullanılmıştır.

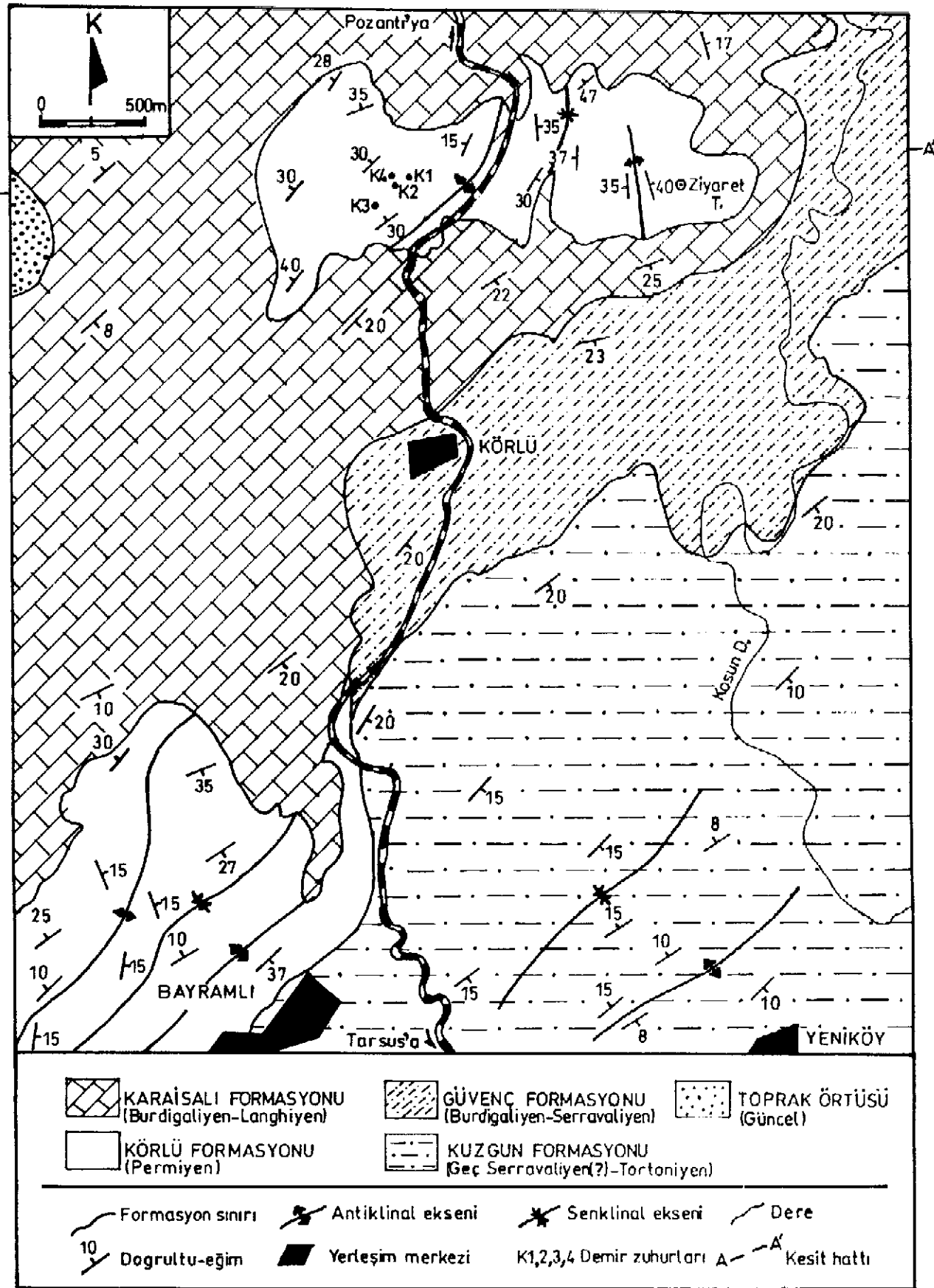
Mineralojik ve jeokimyasal analizlerin yapımında, Orta Doğu Teknik Üniversitesi ile Maden Tetkik ve Arama Genel Müdürlüğü laboratuvarlarından yararlanılmış olup, Jeokimyasal analiz değerleri %97 doğrulukla belirlenmiştir.

#### JEOLOJİK KONUM

Adana Baseninin kuzeybatı kesiminde yer alan inceleme alanında, Paleozoyik ve Tersiyer yaşı birimler yüzeylemektedir. Bu birimler, Körlü, Karaisalı, Güvenç ve Kuzgun olmak üzere dört formasyona ayrılarak incelenmiştir (Şekil 2).

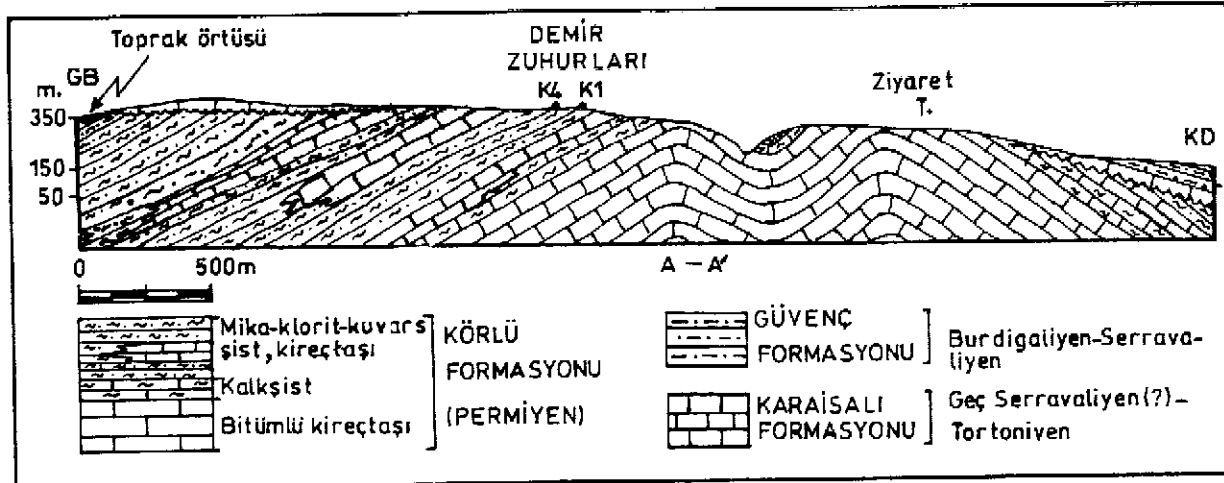
İnceleme alanında yaklaşık 1500 m kalınlığa sahip olan Körlü formasyonu, tabanındaki bitümlü metakarbonat seviyeleri içerisinde belirlenen Mizzla Sp. fosillerine göre Permiyen yaşıdır. Formasyon, Adana Basenindeki Tersiyer istifine alt Burdigaliyen-Langhiyen yaşı (Yetiş ve Demirkol, 1986), Karaisalı formasyonu (Schmidt, 1961) tarafından açısal bir uyumsuzlukla örtülmektedir (Şekil 3). Bej renkli, orta kalın tabaklı karbonatlardan oluşan bu birim üzerine, uyumlu olarak Burdigaliyen-Serravaliyen yaşı (Yetiş ve Demirkol, 1986) Güvenç formasyonuna (Schmidt, 1961) ait yeşilimsi-boz renkli şeyller, bunlar üzerine de Geç Serravaliyen (?)-Tortoniyen yaşı (Yetiş ve Demirkol, 1986), kırmızımsı-sarı renkli, gevşek tutturulmuş kumtaşı, mavimsi gri renkli şeyl ve boz renkli marn ve tüfitlerden yapılmış Kuzgun formasyonuna (Schmidt, 1961) ait birimler uyumlu olarak gelmektedir (Şekil 2).

Bu makalede incelenen demir cevherleri, Körlü formasyonunun üst kesiminde yer alır. Esas olarak metakarbonat ve metapelitik kayaçlardan oluşan formasyon, Bayramlı ve Körlü (Tarsus-İçel) köylerinin kuzey kesimlerinde yüzeylemektedir (Şekil 2). Önceki araştırma-



Şekil 2. İnceleme alanının jeolojik haritası.

Figure 2. Geological map of the study area.



Şekil 3. İnceleme alanının kuzey kesiminden geçen jeolojik kesit.

Figure 3. Geologic cross-section through northern part of the study area.

lar tarafından "metamorfik temel, Paleozoyik temel" şeklinde tanımlanan söz konusu birimler, bu çalışmada Körlü Köyü'ne izafeten Körlü formasyonu olarak adlandırılmıştır. Tabanda koyu gri-siyah renkli, orta-kalın tabakalı, bitümlü rekristalize kireçtaşları ile başlayan istif, açık gri-bej renkli kalkıştlere tedrici geçiş gösterir. Kalkıştlar, gri-boz renkli, orta-kalın tabakalı, karstik yüzey şekilleri sunan rekristalize kireçtaşları ile yanal ve düşey geçişlidir. İstifin en üst kesiminde ise, bu kireçtaşları ile yeşilimsi sarı-pembemsi mor-vişne renkli, sık yapraklanmalı metapelitik kayaçlar ardalanmaktadır. Demir cevherleri, söz konusu kireçtaşları ile ardalanılan ilk metapelitik kayaç seviyesi içerisinde yataklanmıştır (Şekil 3).

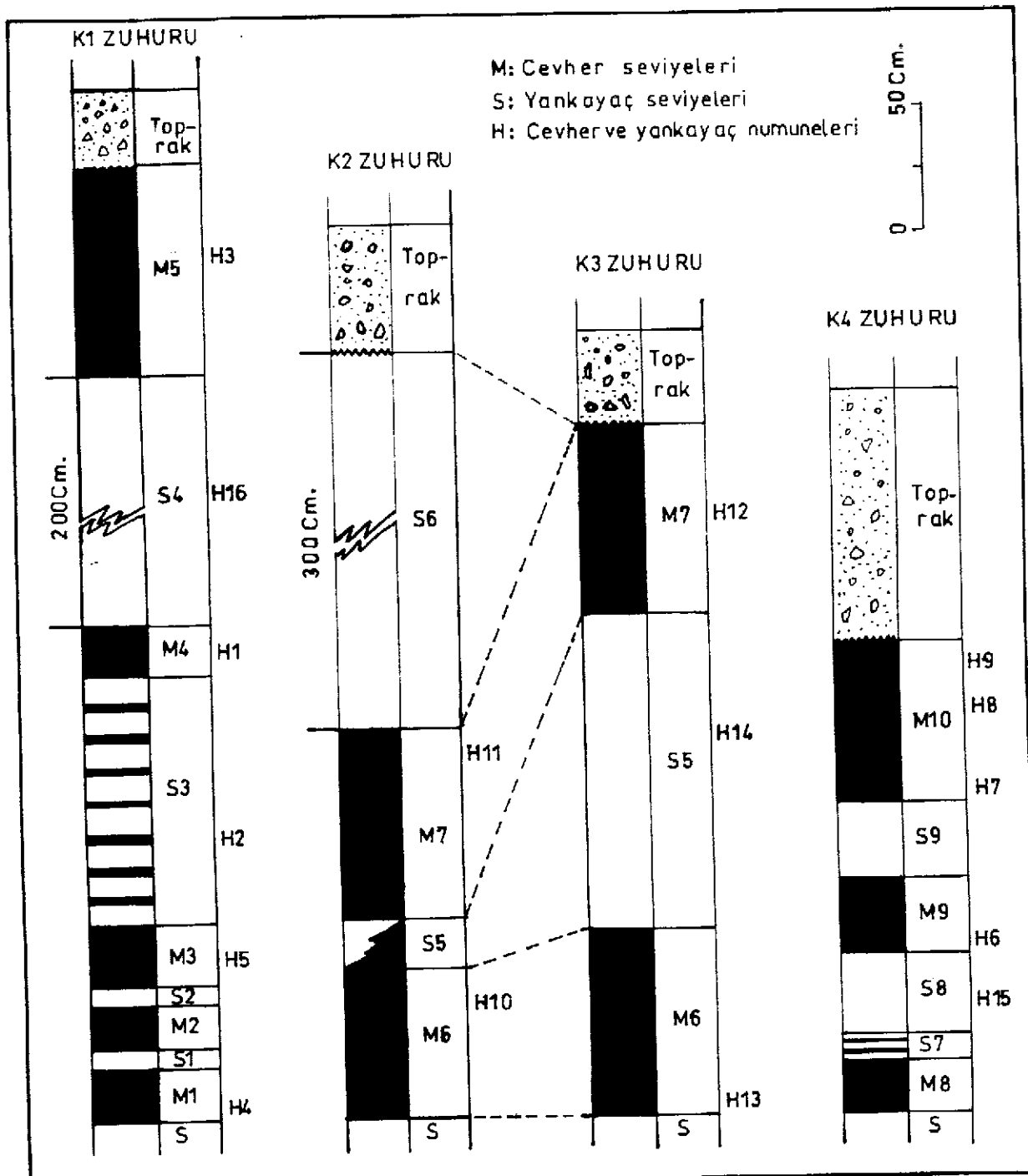
Muhtemelen Mesozoyik dönemde Alpin hareketlerle kısmen kıvrımlı, bol kırıklı ve parçalanmalı bir yapı kazanmış olan Körlü formasyonuna ait kayaçlar ve kapsadıkları cevher düzeyleri, yeşil şist fasiyesinde düşük dereceli bir metamorfizma geçirmiştir. Bununla birlikte, formasyon içerisinde laminalli, bantlı ve tabakalı sedimanter yapılar açıkça görülebilmektedir. Özellikle karbonat kayaçlarında gözlenen rekristalizasyon, pelitik kayaçlardaki yapraklanmalar, çatlak ve kırıklarla ilişkili kalsit ve süt kuvars damarlarının oluşumları, kısmen cevherli düzeyleri de parçalamış ve atıma uğratmış olan çatlaklı ve kırıklı yapılar, tektonik ve metamorfik süreçlerle ilişkilidir.

## MADEN JEOLOJİSİ

İncelenen demir cevherleri, Körlü Köyü'nün yaklaşık 1,5 km kuzeyinde, Ziyaret Tepe antiklinalinin batı kanadındadır (Şekil 2, 3). Burada birbirine yakın bir şekilde izlenen dört cev-

her zuhuru bulunmaktadır. Bunlar jeolojik harita üzerinde K1, K2, K3 ve K4 simgeleriyle gösterilmiştir (Şekil 2). Saha gözlemlerine göre bütün cevherler, Permian yaşılı Körlü formasyonuna ait pelitik kayaçlar içerisinde yer alır (Şekil 2). Cevherli seviye içerisinde zuhurlar, alttan üste doğru K1, K2-K3 ve K4 şeklinde sıralanmışlardır. Bunlardan K2 ve K3 zuhuru, aynı stratigrafik seviyede olup muhtemelen birbirlerinin uzantısıdır. Yörede etkili olan ayrışma süreçleriyle birlikte pelitik kayaçlar üzerinde kalınlığı 1m'ye yaklaşan kırmızımsı kahve renkli bir toprak örtüsü oluşmuştur (Şekil 4). Bu nedenle, cevherlerle ilgili gözlemlerin büyük bir bölüm açılan yarmalar vasıtasyyla yapılmıştır. Çizelge 1'de yarmalarla ilgili bilgiler görülmektedir. Zuhurlarda hazırlanan ölçülu kesitlerle, cevherlerin stratigrafik konumu, yan kayaçlarla ilişkisi, sedimanter ve makro petrografik özellikleri belirlenmeye çalışılmıştır. Buna göre, incelenen cevherlerin tamamı yan kayaçlarıyla uyumlu, onlarla ardalanmalıdır ve yer yer de yanal-düşey geçişlidirler (Şekil 4). Cevherli düzeyler, laminalli (1-2 mm), bantlı (2-5cm) ve tabakalı (10-80cm) yapılarda görülürler. Tabaka kalınlıkları, cevherli seviye içerisinde üste doğru artma eğilimindedir. Kalın tabakalı cevher düzeylerinde, genellikle tabaka alt ve üst yüzeylerine yakın kesimlerde tabaka içi paralel laminalli yapılar görülür. Cevherli zonun toplam kalınlığı K1 ve K2 zuhurlarında 5m, K3 zuhurunda 3m, K4 zuhurunda ise yaklaşık 3m kadardır.

Metamorfik ve tektonik süreçler, cevher düzeylerindeki megaskopik sedimanter yapıları bozmamıştır. Ancak yankayaçlarda belirgin şist yapısı, cevherli düzey ve tüm birimlerde de kıvrımlı, çatlaklı, kırıklı ve faylı yapıların ortayamasına neden olmuştur. Çatlak ve kırıkların



Şekil 4. Körlü demir zuhurlarına ait stratigrafik kesitler.  
Figure 4. Stratigraphic sections of the Körlü iron ores.

bir kısmı kalsit ve süt kuvarsları, bir kısmı da hematit, götit ve limonitlerle dolgulanmıştır. Cevher düzeylerinin faylanmalar sonucunda yer yer atıma uğrayarak, kısmen bresik bir yapı kazandığı görülür. El örneği düzeyinde ise, genellikle masif, bazen de saçılımlı bir yapı sunan cevherler siyah renkli, oldukça sert ve sağlam

yapılı, kuvvetli manyetizma gösteren manyetit kristallerinin yığışımından oluşurlar. Kristaller çoğu zaman gözle fark edilemeyecek kadar iridirler. Saçılımlı cevherler genellikle yeşilimsi sarı, bazen de pembe-mor renkli bir matriks içerisinde çökelmişlerdir. Cevherlerin fazla ayırmadığı, mevcut ayırmaların yüzeyden itibaren çat-

**Çizelge 1. Körlü demir zuhurlarında açılmış olan yarmalarla ilgili bilgiler.**

**Table 1. Data relationship to cuttings in the Körlü iron ore deposits.**

Zuhurlar	Yarmaların doğrultuları	Yarmaların ebatları (uz.xgen.x der. -metre)	Cevher düzeylerinin konumları
K1	K18D	10x2,5x4	K10D/20KB
K2	K20B	1x7x10	K60D/30KB
K3	K65B	5x3x3	K20D/38KB
K4	K-G D-B	6x1x4 4x1x4	K-G/35B

lak kırık ve fay düzlemleri boyunca yaklaşık 1m derinlige kadar etkili olduğu görülür. Yarmaların çıkarılarak depolanmış olan cevher bloklarının da fazla oksitlenmediği dikkati çekmektedir. Başlıca oksidasyon ürünlerini hematit, götit ve limonitler oluşturmaktadır. Buna karşın yan kayaçlarda yüzeysel ayırmaların daha etkin olduğu görüür. Yüzeyde oluşan kırmızımsı kahve renkli ayışma zonu içerisinde, yan kayaç bileşenlerinde killeşme, limonitleşme ve götit oluşumları ile birlikte, çatlak ve kırıklar boyunca izlenen ikincil demir oksi-hidroksit damarcıklarının oluşu görüür. Ayrıca cevher yakınında yüzeyleyen karbonat kayaçlar üzerinde de yamaç molozlarıyla birlikte depolanmış kırmızı renkli toprakları kapsayan karstik dolgular yer alır. Yüzeyde görülen mevcut toprak örtüsü nedeniyle, yarmalarda izlenen cevher düzeylerinin yanal yöndeki uzanımları belirlenmemektedir. Bunun için genel bir jeofizik prospeksiyondan sonra, daha sık yarma ve sondaj faaliyetleri ile birlikte rezerv tespit çalışmalarının yapılması gerekmektedir.

## MİNERALOJİK VERİLER

Mineralojik incelemeler, saha gözlemlerinin yanı sıra, cevher ve yankayaç örneklerinin laboratuarda ince kesit optik mikroskop, parlak kesit cevher mikroskopu, XRD ve SEM-EDS yöntemleriyle incelenmelerini kapsar. X-ışınları çözümlemeleri ile elde edilen cevher ve yankayaç örneklerine ait mineral parajenezleri, Çizelge 2 ve 3'te görülmektedir. Buna göre, yankayacın ana bileşenlerini kuvars, muskovit-serisit, manyetit ve kloritler oluşturur (Çizelge 3). Ince kesitlerde biyotit, epidot, turmalin, kalsit, feldispat ve sideritler ile parlak kesitlerde gözlenen martit-(hematit), götit ve limonitler bu bileşenlere ilave edilebilir. Bu mineral içeriklerine göre, yankayaç adlaması muskovit-kuvars şist ya da klorit-kuvars şist olarak yapılmıştır. Ancak, bazı ince kesitlerde metakumtaşı, metakuvarsit ve kalkşist gibi birimler de gözlenmiştir.

**Çizelge 2. Cevher örneklerinin mineralojik bileşimi.**

**Table 2. Mineralogical composition of the ore samples.**

Örnek-ler	Mineralojik Bileşim
H1	Manyetit, kuvars, muskovit-serisit, martit-(hematit), klorit
H2	Manyetit, kuvars, muskovit-serisit, martit-(hematit), klorit
H3	Manyetit, kuvars, muskovit-serisit, martit-(hematit), klorit
H4	Martit-(hematit), klorit, manyetit, kuvars, muskovit-serisit
H10	Martit-(hematit), manyetit, muskovit-serisit, kuvars, klorit
H11	Manyetit, martit-(hematit), kuvars, muskovit-serisit, klorit
Y9	Manyetit, kuvars, muskovit-serisit, martit-(hematit), klorit
H13	Manyetit, kuvars, muskovit-serisit, biyotit

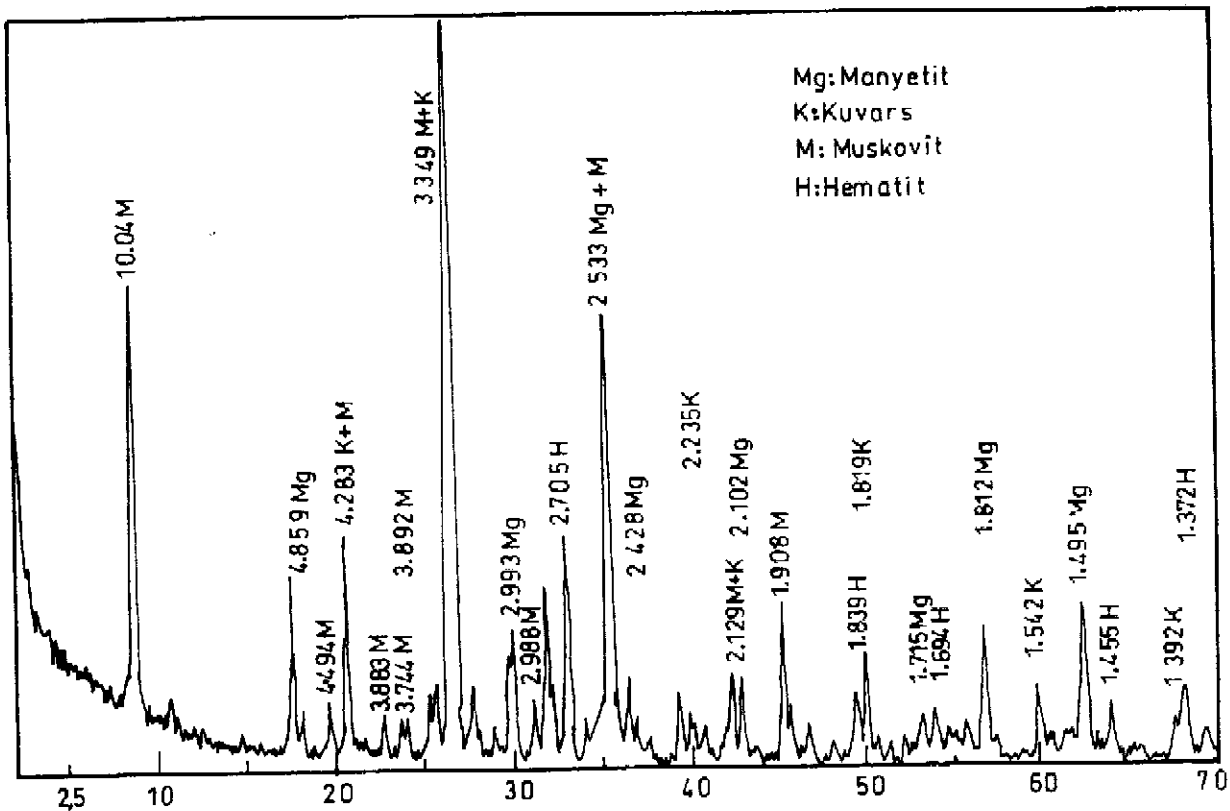
**Çizelge 3. Yan kayaç örneklerinin mineralojik bileşimi.**

**Table 3. Mineralogical composition of the wallrock samples.**

Örnek-ler	Mineralojik bileşim
H6	Kuvars, muskovit-serisit, manyetit
H22	Kuvars, muskovit-serisit, manyetit
H7	Kuvars, klorit, manyetit, martit-(hematit), muskovit-serisit

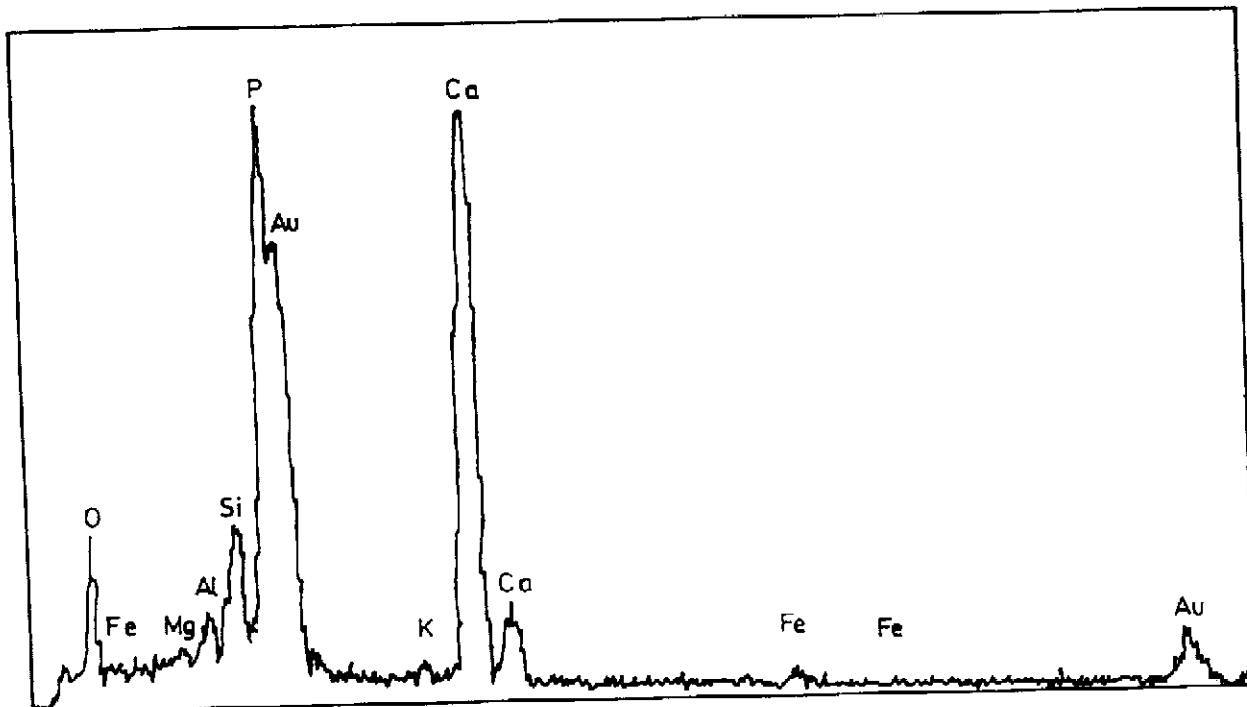
Cevher örneklerinin ana bileşenlerini manyetit, muskovit-serisit ve kuvars; tali bileşenlerini ise, martit-(hematit), klorit ve biyotitler oluşturur (Çizelge 2, Şekil 5). Ayırmış iki örnekte (H4, H10) ise, martit-(hematit)lerin ana bileşen durumuna geçtiği görüür. Parlak kesit çalışmalarında, martit-(hematit) mineralinin yanı sıra, bütün örneklerde az miktarda götit ve limonit belirlenmiştir. Ayrıca ince kesitlerde de çok az oranda siderit, turmalin, biyotit, feldispat ve epidot; SEM-EDS çalışmalarında ise manyetit, hematit, götit, kuvars, mika ve apatit tespit edilmiştir. Şekil 6'da, diğer minerallere göre baskın olan apatit mineraline ait EDS spektromunu görülmektedir. En önemli birincil cevher mineralini manyetit oluşturmaktadır. Bunun yanı sıra çok az oranda da siderit görüür. Manyetitler genellikle iri (0.1-0.4 mm), öz şekilli, yarı öz şekilli kristaller, bazen düzensiz sınırlı adacıklar, bazen de amorf-criptokristalın yığışmalar şeklinde dir. Kristal habitleri yer yer kubik, yer yer de oktaedral formdadır.

Manyetit kristalleri içerisinde, oktaedral düzlemler boyunca gelişmiş olan, in-



Şekil 5. Bir cevher örneğinin (H1) x-ışını difraktoğramı.

Figure 5. XRD-pattern of a sample (H 1) from the ore.



Şekil 6. Apatite ait EDS spektrumu.

Figure 6. EDS spectra for apatite.

ce lameller şeklindeki martit-(hematit)'ler, özellikle kristal kenarlarından itibaren içe doğru, tipik kafes dokusu oluşturmuşlardır (Şekil 7A). Benzer cevher dokuları, Morris (1980) tarafından Avustralyadaki bantlı demir formasyonlarında gözlenmiştir. Martit-(hematit)'ler ve manyetitler arasındaki ilişki, Şekil 7B'de sunulan SEM mikrofotoğrafında da görülmektedir. Parlak kesitlerde, manyetit psödomorfları ve düzensiz sınırlı adacıklar şeklinde belirlenen götit ve limonit oluşumları hem birbirleriyle, hem de türemiş oldukları manyetit ve hematitler ile süperjen ornatma dokularına sahiptirler (Şekil 7A, C). Götit ve limonitlerin oluşumunda hidrasyon olayları etkili olmuştur (Mason ve Moore, 1982). İlerleyen ayrışma süreçleriyle birlikte limonitlerin yıkanarak ortamdan taşınması sonucunda da, götitlerde gözenekli bir doku ortaya çıkmıştır. Ayrıca götitler için tipik olan kabuğumsu, böbreğimsi ve çubuksu mikrodoku örnekleri SEM çalışmalarında çok belirgin olarak ayırt edilebilmektedir (Şekil 7D). Cevher içerisinde; detritik kuvars ve mikalarla birlikte çökelmiş olan otijenik apatitlerin, prizmatik (heksagonal) ve tabuler şekillerde kristallendiği görülmektedir (Şekil 7E). Manyetitler, esas olarak kuvars-muskovit şist, kuvars-klorit şist, kuvars-mika şist, klorit-muskovit şist, muskovit-şist; ender olarak da muskovit-kuvarsit, muskovit-kalkşist, siderit ve metakumtaşı bileşimindeki matriks fazı içerisinde çökelmişlerdir (Şekil 7F, G, H). Yan kayaç bileşimi dikkate alındığında, matriks içerisinde detritik kuvars miktarının önemli ölçüde azaldığı görülür.

Saha ve laboratuvardan yapılan çalışmalarla belirlenen yönlenmiş mineral yapı ve dokularının yanı sıra, cevher ve yan kayaç mineral parajenezlerinde bulunan kuvars, muskovit, klorit, biyotit ve epidot gibi mineraler, bölgesel termo-dinamo metamorfizmanın yeşil şist fasyesine işaret etmektedirler. Söz konusu metamorfizma sonucunda, mikroskopik olcekte kuvars, muskovit ve kloritlerde belirgin yönlemeler, kuvarslarda yer yer ikincil büyümeler, manyetitlerde ise kısmi yönleme, rekristalizasyon ve kümelenmeler ile ornatım dokuları ortaya çıkmıştır (Şekil 7F, G, H). Yapılan incelemelere göre, metamorfizma derecesi ve kirintili tane boyu artısına paralel olarak, manyetit kristallerinde bir irileşme ve özşekillilik gözle çarpmaktadır. Epidot ve biyotit içeren bu tip örneklerde, rekristalizasyon ve kümelenmelerle birlikte ortaya çıkan oldukça iri (0.3-0.5mm) manyetit porfiroblastlarının bazen mika, klorit ve kuvars tarafından sarıldığı, bazen de manyetitlerin şist dokusunu kesecek şekilde matriks bileşenlerini ornatarak büyündüğü görü-

lür (Şekil 7F). Bu verilere göre, manyetit kristallerinin oluşumu, pre ve post metamorfik evreleri kapsar.

Pelitik malzeme ile amorf-kripto kristal manyetitlerden oluşan bazı örneklerde, iki evreli metamorfizmaya işaret eden asimetrik kink bant oluşumları tespit edilmiştir. Metamorfizmanın birinci evresinde manyetitlerin muskovitlere paralel mikro bantlar oluşturduğu, ikinci evrede ise, muskovitlere birlikte kıvrımlanan manyetit mikro bantlarının, kıvrım ekseni boyunca rekristalizasyona uğrayarak, nispeten iri kristaller oluşturacak şekilde kümelentiği görülür.

### JEOKİMYASAL İNCELEMELER

İncelenen demir cevherlerinin jeokimyasal özelliklerini belirleyebilmek amacıyla, cevher ve yan kayaç bölgelerini temsil edecek şekilde 13 cevher, 3 yan kayaç örneği alınarak, major oksit ve eser element içerikleri XRF yöntemiyle belirlenmiştir. Örneklerin bulunduğu yerler Şekil 4'de sunulan stratigrafik kesitler üzerinde, analiz sonuçları ise Çizelge 4, 5, 6 ve 7'de görülmektedir.

Cevher örneklerinin ana bileşenlerini  $\text{Fe}_2\text{O}_3$ ,  $\text{SiO}_2$ ,  $\text{Al}_2\text{O}_3$ ,  $\text{CaO}$ ,  $\text{P}_2\text{O}_5$ ,  $\text{MgO}$ ,  $\text{TiO}_2$ ,  $\text{Na}_2\text{O}$  ve  $\text{MnO}$ ; yan kayaç örneklerinin ana bileşenlerini ise  $\text{SiO}_2$ ,  $\text{Al}_2\text{O}_3$ ,  $\text{Fe}_2\text{O}_3$ ,  $\text{TiO}_2$ ,  $\text{MgO}$ ,  $\text{CaO}$ ,  $\text{K}_2\text{O}$ ,  $\text{P}_2\text{O}_5$  ve  $\text{Na}_2\text{O}$  oluşturmaktadır (Çizelge 4, 5). Cevher ve yan kayaç örneklerinin ana bileşenleri birbirleriyle karşılaştırıldığında, cevher örnekleri içerisinde  $\text{Fe}_2\text{O}_3$  içeriklerinin yanı sıra,  $\text{CaO}$  ve  $\text{P}_2\text{O}_5$  içeriklerinin de yükseldiği; buna karşın  $\text{SiO}_2$ ,  $\text{Al}_2\text{O}_3$ ,  $\text{K}_2\text{O}$  ve  $\text{TiO}_2$  içeriklerinin düşüğü görülür. Mineralojik verilere göre birinci grup bileşenler, cevher içerisinde artış gösteren manyetit, siderit, kalsit ve apatit gibi otijenik mineraler; ikinci grup bileşenler ise, cevher içerisinde azalan kuvars, muskovit, klorit, biyotit, epidot, feldispat ve turmalin gibi detritik ya da kökeni detritik elemanlarla ilişkili olan metamorfik mineralere bağlı olmalıdır. Bu jeokimyasal yönelime göre, kirintili eleman yerine bol miktarda demir gelimiyle birlikte, çökelme ortamında detritik sedimentasyon süreçlerinin etkinliğini önemli ölçüde kaybederek, kimyasal sedimentasyon süreçlerinin hakim olduğu anlaşılmaktadır.

Dağılımları grafiklerle değerlendirilen cevher ana bileşenlerinden  $\text{SiO}_2$  ile  $\text{Fe}_2\text{O}_3$  ve  $\text{Al}_2\text{O}_3$  arasında kuvvetli negatif;  $\text{Al}_2\text{O}_3$ ,  $\text{CaO}$  ve  $\text{P}_2\text{O}_5$  bileşenleri arasında ise, kuvvetli pozitif ilişkiler tespit edilmiştir (Şekil 8). Bu verilere göre, cevher içerisinde kuvars oranının artması, kimyasal sedimentasyonu simgeleyen  $\text{Fe}_2\text{O}_3$ ,  $\text{CaO}$  ve  $\text{P}_2\text{O}_5$  bileşen oranlarını ve köken olarak

**Şekil 7.** A) Mika şist (siyah) matriks içerisinde, oksidasyon sonucu martit-(hematit)'e (H)dönüştürulen manyetit (M) ve bunu takip eden hidrasyon ile oluşan götit (G), parlak kesit, X300, havada; B) SEM'de martit-(hematit)'ler (H) ile kısmen boşluklu doku gösteren manyetitlerin (M) ilişkisi; C) Özçekilli manyetitlerden (M) oksidasyon sonucu kafes dokusuna sahip ince lameller şeklindeki martit-(Hematit) (H); hidrasyon sonucu götit (G) ve götitlerden de limonit (L) oluşumu, parlak kesit, X300, havada; D) Götitlerde kabuğumsu,böbreğimsi ve çubuksu mikrodoku örnekleri, SEM' de; E) Cevher içerisinde, detritik kuvars ve mika taneleriyle birlikte çökelymiş, prizmatik ve tabuler habituslu otijenik apatit kristalleri, SEM' de; F) Kuvars-muskovit şist matriks içerisinde, kısmen yönlenmiş yarı özçekilli ve özçekilsiz manyetit kristalleri (siyah), //N, X320; G) Siderit matriks içerisinde, özçekilli ve genişlemiş oktaedral şekilli manyetit (siyah), siderit manyetit tarafından ornatılmıştır, //N, X320; H) Metakumtaşı içerisinde, özçekilli manyetit (siyah) kristallerinde kısmi kümelenme ve yankayaç bileşenlerinin ornatılması, //N, X320.

**Figure 7.** A) Magnetite (M) oxidized to martite-(hematite) (H), followed by hydration of part of the hematite to goethite (G) in mica schist matrix (black), polished section, X300, in air; B) The relationship of martite-(hematites) (H) and partly porous magnetites (M), in SEM; C) Euhedral magnetite (M) oxidized to thin martite-(hematite) (H) lamelle having network texture, followed by hydration of part of the hematite to goethite (G) and limonite (L). Polished section, X300, in air; D) Crustal, botryoidal and twiggy texture patterns of goethite, in SEM; E) Otogeneous apatite crystals having prismatic and tabuler habits precipitated together detritial quartz and mica grains within ore deposit, in SEM; F) Partly oriented subhedral and unhedral magnetite crystals (black) in a quartz- muscovite schist matrix, //N, X320; G) Euhedral and extended octahedral of magnetite (black) in asiderite matrix, siderite is replaced by magnetite, //N, X320; H) Euhedral magnetite crystal aggregation showing partly replacement texture in meta sandstone, //N, X320.

**Çizelge 4.** Cevher örneklerinin majör oksit içerikleri (%). Fe<sub>2</sub>O<sub>3</sub>: Toplam demir AK: 1000 C'de ateş kaybı  
**Table 4.** Major oxide contents of ore samples (wt %). Fe<sub>2</sub>O<sub>3</sub>: Total Fer AK: LOI at 1000 C

Örnekler	Fe <sub>2</sub> O <sub>3</sub>	SiO <sub>2</sub>	Al <sub>2</sub> O <sub>3</sub>	CaO	P <sub>2</sub> O <sub>5</sub>	K <sub>2</sub> O	TiO <sub>2</sub>	Na <sub>2</sub> O	MgO	MnO	AK
H1	61,5	24,0	7,0	5,5	3,7	1,5	0,2	0,1	0,2	<0,1	<0,05
H2	54,3	31,8	7,4	4,9	2,9	1,5	0,2	0,1	0,3	<0,1	<0,05
H3	69,4	17,6	6,0	3,5	2,6	1,5	0,2	0,2	0,2	0,10	<0,05
H4	56,5	36,0	4,7	2,0	1,2	0,9	0,2	0,1	0,1	<0,1	<0,05
H5	61	24,5	7,0	5,4	3,5	1,4	0,2	0,2	0,3	<0,1	<0,05
H6	63,3	14,3	9,2	5,9	4,0	1,5	0,2	0,2	0,5	0,40	1,70
H7	68,5	16,6	6,7	3,6	2,4	1,4	0,2	0,2	0,2	0,10	0,25
H8	70,4	15,4	7,1	2,9	1,9	1,5	0,2	0,2	0,4	0,10	1,05
H9	60	12,7	9,1	10,0	6,7	1,7	0,3	0,2	0,4	<0,1	0,05
H10	65	17,2	3,7	2,9	2,3	0,5	0,2	0,1	0,3	0,50	5,55
H11	77,3	8,2	7,0	1,9	1,6	1,5	0,2	0,1	0,2	0,10	<0,05
H12	63,5	18,2	8,3	5,4	3,8	1,2	0,2	0,6	0,2	<0,1	<0,05
H13	57	33,0	6,2	1,6	1,0	1,0	0,2	0,2	0,3	0,10	<0,05
Ortalama	63,7	20,7	8,9	4,3	2,9	1,3	0,2	0,2	0,3	-	-

**Çizelge 5.** Yan kayaç örneklerinin majör oksit içerikleri (%).

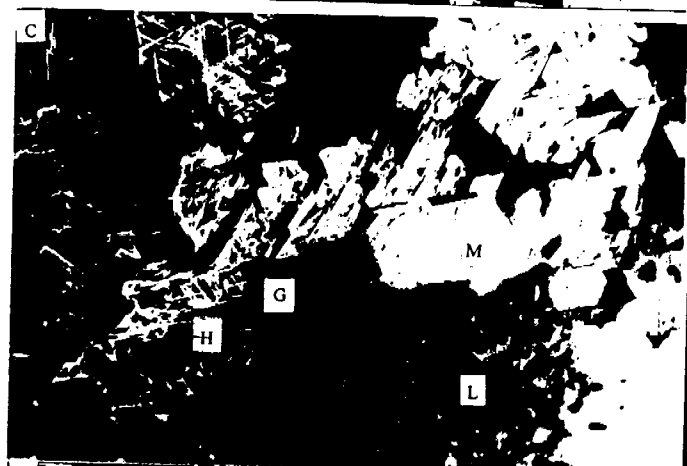
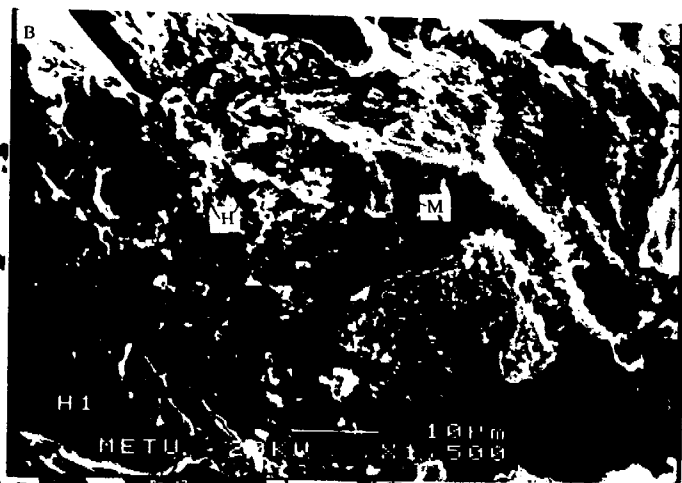
**Table 5.** Major oxide contents of wallrock samples (wt %).

Örnekler	Fe <sub>2</sub> O <sub>3</sub>	SiO <sub>2</sub>	Al <sub>2</sub> O <sub>3</sub>	CaO	P <sub>2</sub> O <sub>5</sub>	K <sub>2</sub> O	TiO <sub>2</sub>	Na <sub>2</sub> O	MgO	MnO	AK
H14	8,5	80,00	6,00	0,70	0,40	0,90	0,70	0,10	0,50	0,10	1,55
H15	6,5	5,50	25,20	0,40	0,20	5,20	1,50	0,20	0,50	<0,1	4,99
H16	6,8	70,50	14,20	0,20	0,10	3,00	1,00	0,20	0,60	<0,1	2,75
Ortalama	7,3	52,0	15,1	0,4	0,2	3,0	1,1	0,2	0,5	-	3,1

**Çizelge 6.** Cevher örneklerinin eser element içerikleri ( ppm).

**Table 6.** Trace element contents of ore samples (ppm).

Örnekler	Cr	Ni	V	Zn	Pb	Cu	Mo	Sb	Se
H1	70	18	705	95	<100	8	<20	<50	<10
H2	65	20	515	115	<100	9	<20	<50	<10
H3	85	20	770	125	<100	9	<20	<50	<10
H4	60	23	530	120	<100	11	<20	<50	<10
H5	80	19	635	130	<100	8	<20	<50	<10
H6	90	40	755	140	<100	12	<20	<50	<10
H7	70	20	705	120	<100	8	<20	<50	<10
H8	70	30	770	115	<100	8	<20	<50	<10
H9	90	21	790	115	<100	12	<20	<50	<10
H10	42	21	590	135	<100	17	<20	<50	<10
H11	90	18	850	115	<100	8	<20	<50	<10
H12	67	25	690	110	<100	9	<20	<50	<10
H13	50	20	490	105	<100	11	<20	<50	<10
Ortalama	71,5	22,7	676,5	118,5	-	10,0	-	-	-



**Çizelge 7. Yan kayaç örneklerinin eser element içerikleri (ppm).**

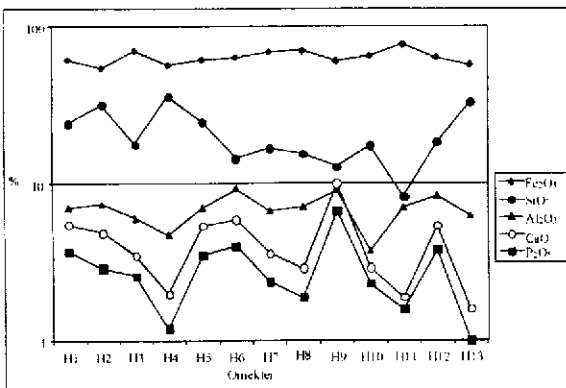
**Table 7. Trace element contents of wallrock samples (ppm).**

Örnek	Cr	Ni	V	Zn	Pb	Cu	Mo	Sb	Se
H14	30	20	45	100	<100	9	<20	<50	<10
H15	110	10	140	70	<100	6	<20	<50	<10
H16	65	15	85	40	<100	8	<20	<50	<10
Ort.	68,3	15,0	90,0	70,0	-	7,7	-	-	-

**Çizelge 8. Körlü demir cevherleri ile bantlı demir formasyonlarına ait majör oksit içeriklerinin karşılaştırılması. 1.Körlü (Türkiye) demir cevherleri 2.Biwabik demir formasyonu (U.S.) 3.Ince tabaklı demir formasyonu, Cyuna Yöresi (U.S.) 4.Demir formasyonu, Güneybatı Montana (U.S.) (Bayley and James, 1973).**

**Table 8. Correlation of the major oxide contents of the Körlü iron ores and various banded iron formations 1.Körlü (Türkiye) iron ores 2.Biwabik iron-formation (U.S.) 3.Thin bedded iron-formation from Cyuna district (U.S.) 4.Iron formation Southwest Montana (U.S.) (Bayley and James, 1973).**

Maj. Ok.	1	2	3	4
Fe <sub>2</sub> O <sub>3</sub>	63,70	38,41	34,43	49,53
SiO <sub>2</sub>	20,70	46,40	32,33	44,02
Al <sub>2</sub> O <sub>3</sub>	6,90	0,90	2,26	0,66
CaO	4,30	1,60	1,85	1,37
P <sub>2</sub> O <sub>5</sub>	2,90	0,08	0,13	0,55
K <sub>2</sub> O	1,30	0,13	0,46	0,02
TiO <sub>2</sub>	0,20	0,04	0,16	0,01
Na <sub>2</sub> O	0,20	0,04	0,06	0,06
MgO	0,30	2,98	2,75	3,21
MnO	<0,1-0,1	0,63	7,14	0,04



**Şekil 8. Cevher örneklerinde SiO<sub>2</sub>, Fe<sub>2</sub>O<sub>3</sub>, Al<sub>2</sub>O<sub>3</sub>, CaO ve P<sub>2</sub>O<sub>5</sub> bileşenleri arasındaki ilişki.**

**Figure 8. Correlation among SiO<sub>2</sub>, Fe<sub>2</sub>O<sub>3</sub>, Al<sub>2</sub>O<sub>3</sub>, CaO and P<sub>2</sub>O<sub>5</sub> components in ore samples.**

cevher içerisindeki pelitik malzeme ile ilişkili olan Al<sub>2</sub>O<sub>3</sub> içeriğini olumsuz yönde etkileyerek azalmasına neden olmaktadır.

Çizelge 4'de görüldüğü gibi cevher örneklerinin Fe<sub>2</sub>O<sub>3</sub> içerikleri %54,3 ile %77,3 arasında değişmektedir. Şekil 4'de sunulan stratigrafik kesitler dikkate alındığında, üst kesimdeki cevher seviyelerinin, alt kesimdeki lere göre daha yüksek oranda Fe içeriği; aynı stratigrafik seviyede yer aldığı tahmin edilen K<sub>2</sub> zuhurundan, K<sub>3</sub> zuhuruna doğru cevher tenörünün düşüğü; K<sub>4</sub> zuhuruna ait M10 cevher düzeyi içerisinde de, alt ve üst kesimlere göre, orta kesimde tenörün daha yüksek olduğu görülür.

Ana bileşen içerikleri, bantlı demir formasyonlarıyla karşılaştırılan Körlü demir cevherlerinde Fe<sub>2</sub>O<sub>3</sub>, Al<sub>2</sub>O<sub>3</sub>, CaO, P<sub>2</sub>O<sub>5</sub>, K<sub>2</sub>O ve TiO<sub>2</sub> içerikleri yüksek; SiO<sub>2</sub>, MgO ve MnO içerikleri ise düşüktür (Çizelge 8). Mevcut çalışmalarla da Fanerozoyik dönemde çökelmiş olan demir cevherlerinin, bantlı demir formasyonlarına göre daha yüksek oranda Fe, Al ve P içeriği, buna karşın Si oranlarının düşük olduğu belirtilmektedir (Evans, 1987; Guilbert ve Park, 1986).

Çizelge 9'da görüldüğü gibi, yan kayaç örneklerinin, ortalama şeyl bileşimine göre SiO<sub>2</sub>, Fe<sub>2</sub>O<sub>3</sub> ve TiO<sub>2</sub> içerikleri yüksek; MgO, CaO ve Na<sub>2</sub>O içerikleri düşük; Al<sub>2</sub>O<sub>3</sub>, K<sub>2</sub>O ve P<sub>2</sub>O<sub>5</sub> içerikleri ise birbirlerine yakındır. Yüksek Si, Fe ve Ti içerikleri, kaynak alanında bu bileşenlerce zengin kayaçların yüzeylediği işaret etmektedir. Esas olarak karbonat ve evaporit gibi otokton sedimentlerde konsantr olabilen Mg, Ca ve Na gibi element içeriklerinin düşük olması ise, örneklenen yan kayaç bölgelerinin detritik sedimentasyon süreçleriyle çökelmiş olan allokton sedimentleri temsil ettiğini göstermektedir.

Cevher örneklerinin Cr, Ni, V, Zn ve Cu gibi eser element içerikleri, yan kayaç örneklerine göre daha yüksektir (Çizelge 6, 7). Özellikle V ve Zn, cevher içerisinde önemli ölçüde konsantr olmuşdur. Tropikal iklim şartlarında yüzeyel ayrışma süreçleriyle birlikte yer kabuğundan serbestleşen Fe ve Mn gibi majör elementler, çökelme havzalarına taşınarak kimyasal sedimentasyon süreçleriyle otokton Fe ve Mn oksit yataklarını oluşturabilmektedirler. Bu sırada genellikle pozitif olarak şarj olan sözkonusu oksitler, anyonları kendilerine doğru adsorbe ederek onlarla birlikte depolanırlar. Bu nedenle de bileşimlerinde birçok eser elementin konsantr olduğu görülür (Mason ve Moore, 1982; Evans, 1987). Fe ile Cr, Ni, V ve Zn ara-

**Çizelge 9.** Yan kayacın majör oksit ve eser element içerikleri ile şeyl ortalama kimyasal bileşiminin karşılaştırılması. 1.Yan kayaç, 2. Şeyl (Mason ve Moore, 1982).

**Table 9.** Correlation of the major oxide and trace element contents of the wallrock and average shale chemical composition. 1.Wallrock, 2.Shale (Mason and Moore, 1982).

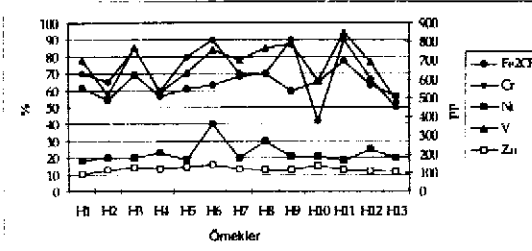
Majör ok.	Fe <sub>2</sub> O <sub>3</sub>	SiO <sub>2</sub>	Al <sub>2</sub> O <sub>3</sub>	CaO	P <sub>2</sub> O <sub>5</sub>	K <sub>2</sub> O	TiO <sub>2</sub>	Na <sub>2</sub> O	MgO
1	7,30	68,50	15,10	0,40	0,20	3,00	1,10	0,20	0,50
2	6,47	58,10	15,40	3,11	0,17	3,24	0,65	1,30	2,44
Eser el.	Cr	Ni	V	Zn	Pb	Cu	Mo	Sb	Se
1	68,3	15,0	90,0	70,0	<100	7,7	<20	<50	<10
2	90	68	130	95	20	45	2,6	1,5	0,6

sında belirlenen pozitif ilişki de bu görüşü doğrulamaktadır (Şekil, 9 ).

Yan kayaç örneklerinin eser element içerikleri, şeyllerin ortalama eser element içerikleri ile karşılaştırıldığında Cr, Ni, V, Zn ve Cu içeriklerinin daha düşük olduğu tespit edilmiştir (Çizelge 9). Yapılan araştırmalara göre, sedimanter prosesler eser elementlerin taşınması ve depolanması sırasında etkili olan iyon potansiyeli, pH, ortamın oksidasyon potansiyeli, koloidal özellikler ve adsorpsiyon kuvveti gibi birçok faktör nedeniyle, magmatik proseslere göre daha karmaşıktır. Bu nedenle, sedimentasyon sırasında eser elementlerin davranışlarını tam olarak belirleyemek mümkün olmamaktadır (Mason ve Moore, 1982).

### SONUÇLAR

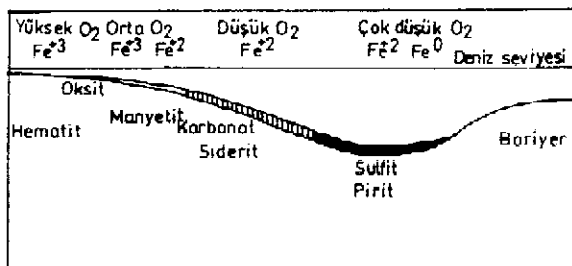
Denizel kökenli Permiyen yaşlı metapelitik kayaçlar içerisinde, laminatlı, bantlı ve tabakalı yapınlarda çökelen Körlü demir cevherleri, yan kayaçları ile uyumlu, ardalanmalı, yer yer de yanal ve düşey geçişlidirler (Şekil 3, 4). Birçok araştırmacı tarafından %15' den fazla Fe içeren sedimanter kayaçlar içerisinde, iki ana cevher tipi ayırtlanmıştır. Bunlar Prekambriyen yaşlı bantlı demir formasyonları ve Fanerozoyik dönemde çökelmiş olan demir taşlarıdır (Blatt ve diğ., 1980). Permiyen yaşlı Körlü demir cevherleri, hem yaş konağı, hem de yüksek Fe, Al, P ve düşük Si içeriği ile jeokimyasal yönden, ikinci grup demir yataklarını karakterize etmektedirler (Çizelge 8). Bu grubun en tipik örnekleri Silüriyen yaşlı Clinton ve Jura yaşlı Minette demir yataklarıdır. Bu yataklardan birincisinde hematit, ikincisinde ise götit ve limonit hakim cevher minerallerini oluşturur. Ayrıca, söz-konusu yataklarda oolitik cevher yapı ve dokuları egemendir. Körlü demir cevherlerinde ise, hakim cevher minerali manyetit ve martitleşme sonucunda bunlardan türemiş olan hematitlerdir. Oolitik cevher yapı ve dokularına ise hiç rastlanılmamaktadır. Bunlar, Körlü demir cevherlerinin Fanerozoyik dönem demir taşları ile uyuşmayan kendine has karakterlerini oluşturur.



**Şekil 9.** Cevher örneklerinde Fe, Cr, Ni, Zn ve V arasındaki ilişki.

**Figure 9.** Correlation among Fe, Cr, Ni, Zn and V in ore samples.

Jeolojik, mineralojik ve jeokimyasal özellikleri cevherlerin, kimyasal sedimentasyon süreçleriyle çökelmiş olduklarına işaret etmektedir. Demirin jenetik olarak, tropikal iklim şartlarında, muhtemelen sedimentasyon havzasına bitişik peneplenmiş bir kaynak alanından yüzeysel ayrışma süreçleriyle birlikte serbestleşmiş olduğu düşünülebilir. Söz konusu demirlerin,  $\text{Fe}(\text{OH})_3 \cdot \text{nH}_2\text{O}$  bileşimli ferrik hidroksit koloidal çözeltileri veya kil-silt boyutundaki kırıntılı elemanlar üzerine yapmış oksit filmleri ya da  $\text{FeCl}_2 \cdot \text{nH}_2\text{O}$  bileşiminde kompleks iyonlar oluşturarak çökelme ortamına kadar taşınmış oldukları tahmin edilmektedir (Dimrot, 1976; Guilbert ve Park, 1986). Deneysel olarak, Castano ve Garrels (1950) tarafından pH'ı 7'den küçük olan oksijenli sularda bile önemli miktarda 2 değerlilikli demirin taşınabileceğinin ortaya konulmuştur. Muhtemelen bu proseslerle çökelme ortamına kadar gelen demir iyonları, Şekil 10'da da görüldüğü gibi litoral zona göre daha düşük enerjili, sakin, indirgen ortamlarda manyetit ve kısmen de siderit şeklinde çökelmişlerdir (Guilbert ve Park, 1986). Manyetitin sedimanter süreçlerle çökelmesi, nötral veya alkalik ortamlarda, düşük ya da çok düşük Eh şartlarında gerçekleşmektedir. Ayrıca, incelenen cevherler içerisinde sideritin yok denecek kadar az olması, çökelme anında  $\text{CO}_2$  kısmının basıncının da düşük olduğuna işaret etmektedir (Goodvin, 1973). Benzer ortam şartlarında, manyetit ve sideritlerle birlikteapatit de çökelebilir.



**Şekil 10.** Bir sedimentasyon havzasında, demir minerallerinin çökelme ortamları (Guilbert ve Park, 1986).

**Figure 10.** Depositional environments of iron minerals in a sedimentary basin (Guilbert and Park, 1986).

(Guilbert ve park, 1986). Başlangıçta muhtemelen hidro manyetit şeklinde çökelen Körlü demir cevherleri, daha sonra diyajenez ve metamorfizma süreçleri ile birlikte dehidratasyona uğrayarak manyetit dönümüşlerdir. Bu süreç içerisinde, bir taraftan da yeniden kristalleşen manyetitler, özşekillilik, kümelenme ve ornatım dokuları kazanmışlardır. Cevherin atmosferik şartlara açılmasıyla birlikte gerçekleşen yüzeysel ayrışma süreçleriyle, manyetitlerden oksidasyon sonucunda martit-(hematit) ler (Ramdohr, 1980); hidratasyon sonucunda da götit ve limonitler türemiştir (Mason ve Moore, 1982).

## KAYNAKLAR

- Blumenthal, M., 1938, Adana-Seyhan birinci Toros raporu: MTA Rap. No. 677, Ankara, (Yayınlanmamış).
- Bayley, R.W., James, H. L., 1973, Precambrian iron-formations of the United States: Econ. Geol., 68, 934-959.
- Blatt, H., Middleton, G., Murray, R., 1980, Origin of sedimentary rocks: Prentice-hall. Englewood Cliffs, New Jersey, 782 s.
- Castano, J. R., Garrels, R. M., 1950, Experiments on the deposition of iron with special reference to the Clinton iron ore deposits: Econ. Geol., 45, 755-770.
- Chaput, M., 1954, Adana ovası ve bu ovanın kenar bölgelerinde icra edilmiş araştırmalar hakkında rapor: MTA Rap. No. 2520, Ankara, (Yayınlanmamış).
- Dimroth, E., 1976, Aspects of the sedimentary petrology of cherty iron formation, in KH Wolf, Ed., Handbook of stratabound and stratiform ore deposits, 7, New York, Elsevier, 203-254.
- Evans, A.M., 1987, An introduction to ore geology: Blackwell, 358s.
- Foley, E.J., 1937, Seyhan havalisinin stratigrafisi hakkında rapor: MTA Rap. No. 677, Ankara, (Yayınlanmamış).
- Goodwin, A.M., 1973, Archean iron-formations and tectonic basins of the Canadian Shield, Econ. Geol., 68, 915-933.
- Görür, N., 1979, Karaisalı kireçtaşının (Miocene) sedimentolojisi: Türkiye Jeol. Kur. Bult., 22, 2, 227-235.
- Guilbert, J.M., Charles, F.P., 1986, The geology of ore deposits: W.H. Freeman and company, New York, 984s.
- Gürbüz, K., Ünlügenç, U.C., 2000, Kumca zengin firtına sedimanları ile türbiditler arasındaki farklılıklarla Adana baseninden bir örnek: Geosond, 36, 15-29.
- İker, S., 1975, Adana basenin kuzeybatısının jeolojisi ve petrol olanakları: TPAO arama arşiv No. 973, Ankara, (Yayınlanmamış).
- Mason, B., Moore, C.B., 1982, Principles of geochemistry: John Wiley and Sons, Hong Kong, 344 s.
- Morris, R.C., 1980, A textural and mineralogical study of the relationship of iron ore to banded iron-formation in the Hamersley iron province of Western Australia: Econ. Geol., 75, 184-209.
- Özalp, S., 1993, Gülek-Çamalan (Tarsus) alanının stratigrafisi: Geosound, 22, 73-85.
- Özer, B., Duval, B., Courier, P., Letouzey, J., 1974, Antalya-Mut-Adana Neojen havzaları jeolojisi: Türkiye II. Petrol kongresi, Ankara, Tebliğler, 57-84.
- Ramdohr, P., 1980, The ore minerals and their intergrowths: Pergamon, Oxford, 1200s.
- Schmidt, G.C., 1961, Stratigraphic nomenclature for the Adana region petroleum district: VII. Petroleum Administ. Bull., 6, 47-63.
- Tanar, Ü., 1985, Körlü (Tarsus-Mersin) bölgesi "Karaisalı, Kuzgun, Memişli formasyonları"nın molluska faunası: Jeo. Müh., 17-25.
- Ternek, Z., 1953, Mersin-Tarsus kuzey bölgesinin jeolojisi: MTA Rap. No. 49, Ankara, (Yayınlanmamış).
- Ternek, Z., 1957, Adana havzasının Alt Miocene (Burdigaliyen) formasyonları, bunların diğer formasyonlarla olan münasebetleri ve petrol imkanları: MTA Rap. No. 49, Ankara, (Yayınlanmamış).
- Yalçın, M.N., Görür, N., 1984, Sedimentological evolution of the Adana basin: International Symposium on the Geology of the Taurus Belt, Ankara, 165-172.
- Ünlügenç, U.C., Demirkol, C., 1988, Kızıldağ Yayla (Adana) dolayının stratigrafisi: Jeoloji Müh. Derg., 32-33, 17-25.
- Ünlügenç, U.C., Kelling, G., Demirkol, C., 1990, Aspects of basin evolution in the Neogene Adana Basin, SE Turkey: International Earth Sciences Congresses on Aegean Region, İzmir, Türkiye, 353-369.
- Yetiş, C., Demirkol, C., 1984, Adana Basenin kuzeybatı kesiminin temel stratigrafisine ilişkin bazı gözlemler: Türkiye Jeoloji Kurumu 38. Bilimsel ve Teknik Kurultayı, Bildiri Özleri, 59-61.
- Yetiş, C., Demirkol, C., 1986, Adana Basenin batı kesiminin detay jeoloji etüdü I: MTA Rap. No. 8037, 187s., (Yayınlanmamış).
- Yetiş, C., Demirkol, C., Kerey, E., 1986, Adana havzası Kuzgun formasyonunun (Üst Miocene) fasiyesi ve ortamsal nitelikleri: Türkiye Jeol. Kur. Bult., 29, 81-96.